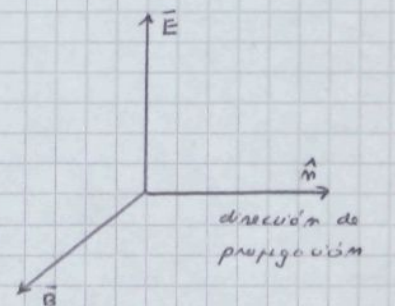


ONDAS

Movimiento ondulatorio: Se puede considerar como un transporte de energía y momento desde un punto del espacio a otro sin transporte de materia. En las ondas mecánicas, tales como las ondas en el agua, las ondas de una cuerda o las ondas sonoras, la energía y el momento se transportan por una perturbación del medio que se propaga gracias a sus propiedades elásticas. Por otra parte, en las ondas electromagnéticas, la energía y el momento son transportados por los campos \vec{E} y \vec{B} que se pueden propagar incluso en el vacío.

Tipos de ondas: Se distinguen dos tipos principales de ondas

i) Ondas longitudinales: En ellas la perturbación tiene lugar en la misma dirección de la propagación. Un ejemplo de este tipo de ondas son las ondas acústicas en cualquier fluido elástico.



ii) Ondas transversales: La perturbación tiene lugar en un plano perpendicular al de propagación. Ejemplos pueden ser: ondas de superficie en líquidos; en los medios elásticos dotados de rigidez en los que intervienen efectos de arrastre que permiten la propagación de ondas transversales. En ausencia de tales efectos solo las longitudinales son posibles. Otro ejemplo de ondas transversales son las electromagnéticas en las que \vec{E} , \vec{B} y la dirección de propagación están relacionadas de la forma indicada en la figura.

Descripción matemática: En un punto del espacio (x, y, z) y en un instante de tiempo t la perturbación viene dada por $\vec{S} = \vec{S}(x, y, z; t)$, donde \vec{S} puede ser la perturbación longitudinal o representar cada uno de los componentes de la transversal. En un instante t_0 el conjunto de puntos (x, y, z) que forman una superficie continua y que vienen determinados por $S(x, y, z; t_0)$ se denominan fuentes de onda.

Ondas planas: De momento nos limitaremos a considerar una onda que se propaga en la dirección Ox . Las ondas planas vienen dadas por

$$\vec{S} = S_0 \cos(kx + \omega t + \phi) \quad (1)$$

k = número de onda, ω = pulsación, ϕ = fase, S_0 = amplitud.

i) Longitud de onda: Es la distancia mínima entre dos puntos consecutivos de iguales características vibratorias.

$$\bar{f}_0 \cos [k(x + \lambda) - \omega t + \phi] = \bar{f}_0 \cos [kx - \omega t + \phi] \Rightarrow$$

$$\lambda = \frac{2\pi}{k} \quad (\text{longitud de onda}) \quad (2)$$

2) Período T : Intervalo mínimo de tiempo para que el estado vibracional de un punto se repita

$$\bar{f}_0 \cos [kx - \omega(t + T) + \phi] = \bar{f}_0 \cos [kx - \omega t + \phi] \Rightarrow$$

$$T = \frac{2\pi}{\omega} \quad (\text{periodo}) \quad (3)$$

3) La frecuencia ν define como

$$\nu = \frac{1}{T} \quad (\text{frecuencia}) \Rightarrow \nu = \frac{\omega}{2\pi} \quad (4)$$

4) Velocidad de propagación: Considerérese que durante un tiempo Δt una fuente emite ondas de frecuencia ν . En este tiempo el número de ondas generadas es $N = \nu \Delta t$. La primera onda generada recorre una distancia $n\lambda$, donde n es la velocidad de propagación. El cuento de $n\lambda$ y $\nu \Delta t$ es la longitud de onda

$$\lambda = \frac{n}{\nu}, \quad \lambda = n\tau, \quad n = \frac{\omega}{k} \quad (5)$$

Notar que una forma alternativa de escribir la onda es

$$\bar{f} = \bar{f}_0 \cos [k(x - n\tau) + \phi] \quad (6)$$

5) Ecación de ondas: Notar que

$$\frac{\partial^2 \bar{f}}{\partial x^2} = -k^2 \bar{f}, \quad \frac{\partial^2 \bar{f}}{\partial t^2} = -n^2 \bar{f} \Rightarrow$$

$$\frac{1}{n^2} \frac{\partial^2 \bar{f}}{\partial t^2} - \frac{\partial^2 \bar{f}}{\partial x^2} = 0 \quad (7)$$

que es, como ya se comentó, la ecación de ondas en 1+1 dimensión.

Ondas planas. En general

$$\bar{f} = \bar{f}_0 \cos [\vec{k} \cdot \vec{x} - \omega t + \phi] \quad (8)$$

Superficies de onda: $\vec{k} \cdot \vec{x} - \omega t + \phi = ct \Rightarrow$ planas

\vec{k} es el vector número de onda y es perpendicular a la superficie de onda y indica la dirección de propagación.

Principio de superposición: Es un hecho experimental que para muchas ondas de ondas (ondas electromagnéticas en el vacío, ondas visuales de pequeño amplitud,...) cuando en un punto del espacio coinciden varias perturbaciones ondulatorias de la misma clase, entonces la perturbación resultante no es más que la suma algebraica de las distintas perturbaciones.

Interferencia: Un típico efecto debido al principio de superposición es el fenómeno de interferencia de ondas. Consideremos dos ondas

$$\bar{S}_1 = S_0 \cos [kx - \omega t + \phi_1], \quad \bar{S}_2 = S_0 \cos [kx - \omega t + \phi_2] \quad (1)$$

entonces en un punto del espacio se produce una perturbación

$$\bar{S} = \bar{S}_1 + \bar{S}_2 = S_0 \left\{ \cos [kx - \omega t + \phi_1] + \cos [kx - \omega t + \phi_2] \right\}$$

Teniendo en cuenta que $\cos \alpha + \cos \beta = 2 \cos \left(\frac{\alpha - \beta}{2} \right) \cos \left(\frac{\alpha + \beta}{2} \right)$ se obtiene

$$\bar{S} = 2 S_0 \cos \frac{\delta}{2} \cos [kx - \omega t + \phi_1 + \frac{1}{2} \delta] \quad \delta \equiv \phi_2 - \phi_1 \quad (2)$$

que es una onda plana de la misma frecuencia y longitud de onda, con desfase $\phi_1 + \frac{1}{2} \delta$ y amplitud $(2 S_0 \cos(\delta/2))$. Notar que

i) $\delta = 0$ - Interferencia constructiva: las ondas están en fase y la onda resultante tiene amplitud doble

ii) $\delta = \pi$ - Interferencia destructiva. Las ondas están en oposición de fase y $\bar{S} = 0$

Nota: Demos cuenta de que es más cómodo que trabajen con senos y cosenos teniendo en exponentiales

$$\bar{S}_1 = S_0 e^{i(kx - \omega t + \phi_1)}, \quad \bar{S}_2 = S_0 e^{i(kx - \omega t + \phi_2)} \quad (3)$$

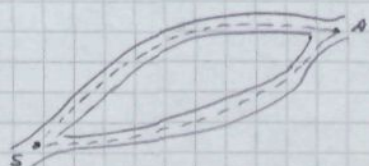
donde se subentiende que para reproducir (1) debemos tomar factores reales. Entonces

$$\bar{S} = \bar{S}_1 + \bar{S}_2 = S_0 [e^{i(kx - \omega t + \phi_1)} + e^{i(kx - \omega t + \phi_1 + \delta)}] =$$

$$= S_0 e^{i(kx - \omega t + \phi_1 + \delta/2)} [e^{-i\delta/2} + e^{i\delta/2}] = 2 S_0 \cos \frac{\delta}{2} e^{i(kx - \omega t + \phi_1 + \delta/2)}$$

que es el resultado hallado arriba.

Nota: Una causa común para la existencia de desfases entre dos ondas es una diferencia en la longitud del trayecto que han de recorrer dos ondas desde la fuente S hasta alcanzar el punto A. Si es Δx la diferencia de la longitud de los



dos trayectorias entomas la diferencia de fase en A es

$$\Delta\phi = kAx = 2\pi \frac{Ax}{\lambda} \quad (4)$$

Interferencia: consideremos ahora la superposición de dos ondas de lo mismo clase y de la misma amplitud pero con valores de k y ω distintos

$$\tilde{S}_i = S_0 \cos(k_i x - \omega_i t) \quad i=1, 2 \quad (5)$$

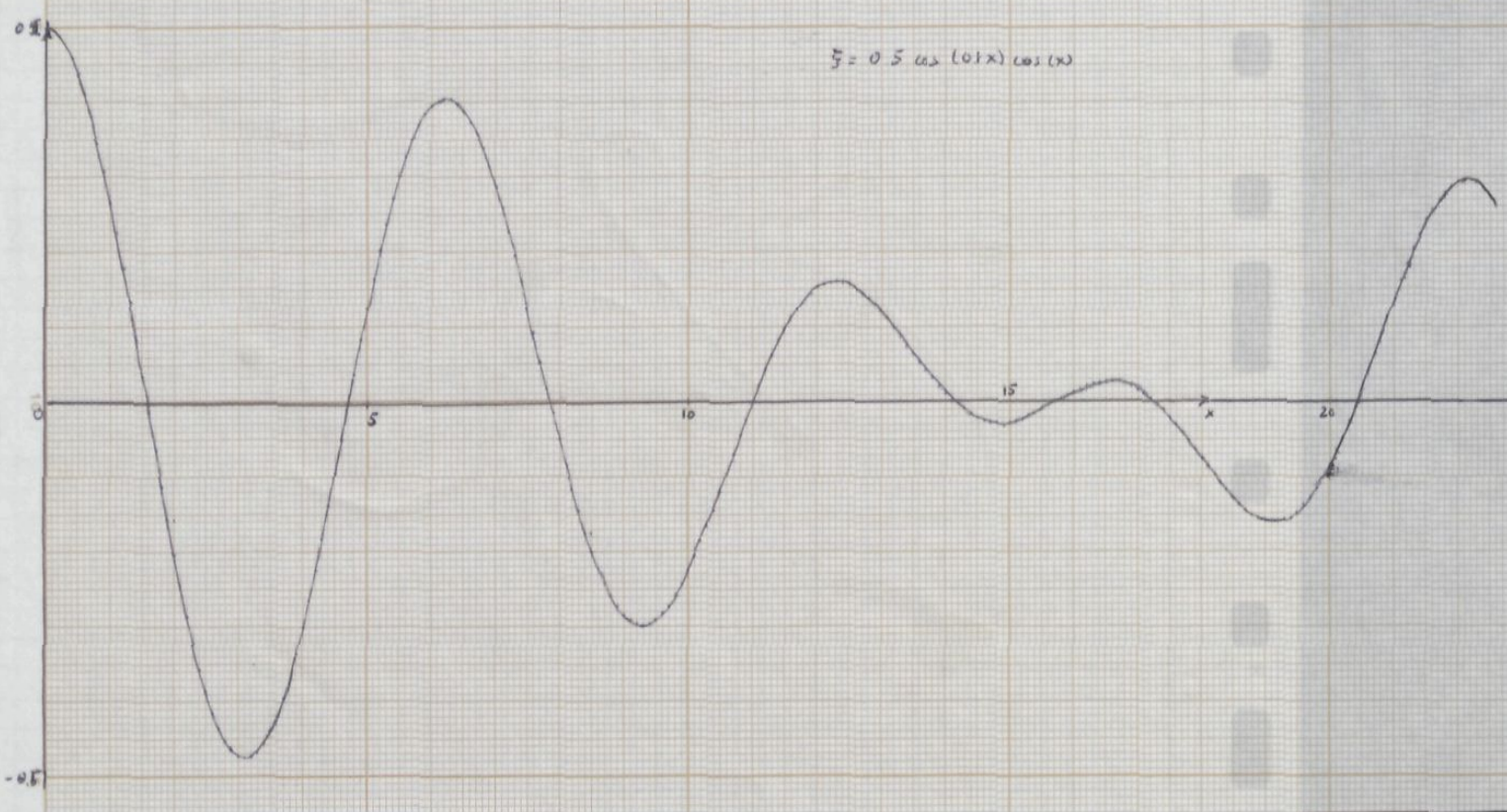
Entonces

$$\tilde{S} = \tilde{S}_1 + \tilde{S}_2 = 2S_0 \cos\left(\frac{1}{2}\Delta k \cdot x - \frac{1}{2}\Delta\omega t\right) \cos(\tilde{k}x - \tilde{\omega}t)$$

$$\tilde{k} = \frac{1}{2}(k_1 + k_2), \quad \tilde{\omega} = \frac{1}{2}(\omega_1 + \omega_2), \quad (6)$$

$$\Delta k = k_2 - k_1, \quad \Delta\omega = \omega_2 - \omega_1,$$

Si suponemos que $\Delta k \ll \tilde{k}$ y $\Delta\omega \ll \tilde{\omega}$ entomas la onda en $(\tilde{k}x - \tilde{\omega}t)$ tiene longitud de onda y periodo muy parecidos a la onda original, pero se halla modulada por $\cos[(\Delta k x - \Delta\omega t)/2]$ que es de longitud de onda y periodo mucho mayor.



Velocidad de fase: Es la velocidad de la onda resultante

$$n_f \equiv \frac{\tilde{\omega}}{\tilde{k}}$$

y es casi lo mismo que la de las ondas individuales.

Velocidad de grupo: Es la velocidad de la onda libre

$$v_g = \frac{\Delta \omega}{\Delta k} \quad (1)$$

Análisis armónico: Hasta aquí hemos considerado ondas planas o superposición de un par de ondas. Hay ocasiones en que interesa tratar con ondas periódicas de forma no sinusoidal. Entonces se puede usar el siguiente teorema: Sea $f(x)$ una función suficientemente bien comportada y periódica

$$f(x+\lambda) = f(x) \quad (2)$$

entonces, así por decir,

$$f(x) = a_0 + \sum_{m=1}^{\infty} a_m \cos \frac{2\pi mx}{\lambda} + \sum_{m=1}^{\infty} b_m \sin \frac{2\pi mx}{\lambda} \quad (3)$$

$$a_0 = \frac{1}{\lambda} \int_0^\lambda dx f(x), \quad a_m = \frac{2}{\lambda} \int_0^\lambda dx f(x) \cos \frac{2\pi mx}{\lambda}, \quad b_m = \frac{2}{\lambda} \int_0^\lambda dx f(x) \sin \frac{2\pi mx}{\lambda}$$

Esta serie se llama de Fourier.

Ejemplo : $f(x) = 1 \quad 0 \leq x \leq 1$

$$\left. \begin{array}{l} \\ f(x) = -1 \quad 1 \leq x \leq 2 \end{array} \right\} \text{con } \lambda = 2$$

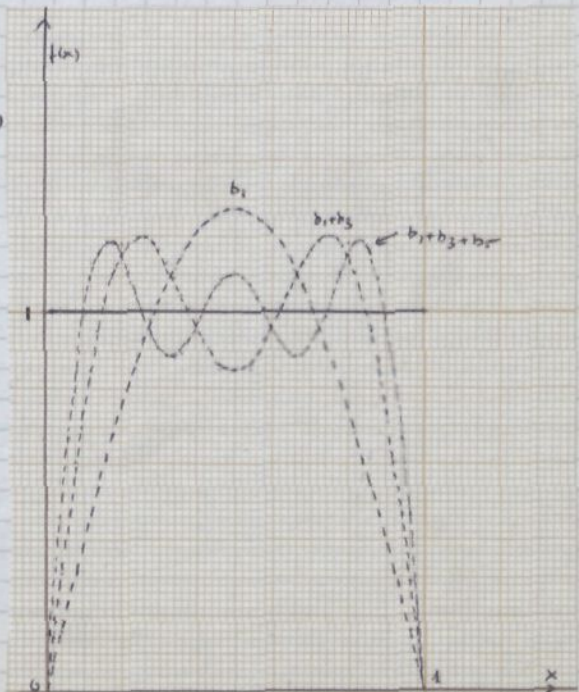
$$a_0 = 0$$

$$a_m = \frac{2}{\lambda} \left\{ \int_0^1 dx \cos mx - \int_1^2 dx \cos mx \right\} = 0$$

$$b_m = \frac{2}{\lambda} \left\{ \int_0^1 dx \sin mx - \int_1^2 dx \sin mx \right\} = \frac{2}{m\pi} [1 - (-1)^m] \quad (4)$$

$$f(x) = \sum_{m=0}^{\infty} \frac{4}{\pi} \frac{(-1)^m}{2m+1} \sin ((2m+1)\pi x)$$

En la figura adjunta se representan los tres primeros términos de la serie



36/001

Transformada de Fourier Si $f(x)$ es suficientemente regular admite una descomposición como superposición infinita de ondas planas

$$f(x) = \frac{1}{\sqrt{2\pi}} \int_{-\infty}^{+\infty} dk \hat{f}(k) e^{ikx} \Leftrightarrow \hat{f}(k) = \frac{1}{\sqrt{2\pi}} \int_{-\infty}^{+\infty} dx f(x) e^{-ikx} \quad (6)$$

Si queremos que $f(x) = f''(x)$ basta exigir que $\hat{f}''(-k) = \hat{f}(k)$.

Paqüetes de ondas: Se llama así a una onda de la forma

$$\tilde{f}(x; t) = \frac{1}{\sqrt{2\pi}} \int_{-\infty}^{+\infty} dk f(k) e^{ikx + i[kx - \omega(k)t]} \quad (7)$$

es decir una superposición infinita de ondas planas con número de ondas k y pulsación $\omega = \omega(k)$; ésta función $\omega = \omega(k)$ se llama relación de dispersión.

Propiedades: Veamos algunas propiedades de los paquetes de ondas

1) Supongamos que

$$\tilde{f}(x, 0) = \frac{1}{\sqrt{2\pi}} \int_{-\infty}^{+\infty} dk f(k) e^{ikx}, \quad f(k) = \begin{cases} 1 & |k| \leq \Delta k/2 \\ 0 & |k| > \Delta k/2 \end{cases}$$

entonces

$$\tilde{f}(x, 0) = \sqrt{\frac{2}{\pi}} \frac{1}{x} \sin \frac{\Delta k x}{2} \quad (8)$$

Entonces $\tilde{f}(x, 0)$ es importante sólo si $\Delta k x \leq 1$. Esta relación es totalmente general: Si queremos producir un pulso muy localizado en el espacio el mecanismo de superposición de un gran número de ondas con números de ondas distintos: $\Delta k \propto 1/\Delta x$, donde Δx es el tamaño del paquete. Notan además que si Δk es pequeño entonces $\Delta w \approx v \Delta k$ donde v es la velocidad de propagación; entonces

$$\Delta w \Delta t \approx v \Delta k \Delta t \approx \Delta x \Delta k \approx 1 \quad (9)$$

Las relaciones

$$\Delta x \Delta k \approx 1, \quad \Delta t \Delta w \approx 1 \quad (10)$$

son válidas para todo pulso de ondas

Estas relaciones son de particular importancia en la teoría de comunicaciones y en mecánica cuántica. Como la información no puede transmitirse mediante una onda plana que no tiene su principio ni fin, la transmisión de pulsos breves implica la posibilidad de poder producir amplios espectros de frecuencias.

En Mecánica Cuántica, el estado de un partícula se describe mediante un paquete

de ondas cuya anchura refleja la incertidumbre en la posición de la partícula. Los momentos posibles de la partícula son $p = \hbar k$, donde k son los números de onda que forman el paquete. Entonces

$$\Delta x \cdot \Delta p \approx \hbar \quad (\text{Relación de indeterminación de Heisenberg}) \quad (1)$$

2) Velocidad de fase y de grupo: En un medio cualquiera existe una ley de dispersión $\omega = \omega(k)$. La llamada velocidad de grupo de un paquete es la velocidad con la que se mueve el paquete como un todo y se puede ver que vale

$$v_g = \frac{d\omega(k)}{dk} \quad (2)$$

Por otra parte cada onda que compone el paquete tiene una k y una $\omega = \omega(k)$ y se mueve con la llamada velocidad de fase

$$v_f = \frac{\omega(k)}{k} \quad (3)$$

Notan que

$$v_g = \frac{d}{dk} [v_f k] = v_f + k \frac{dv_f}{dk} \quad (4)$$

Si: i) $v_f = \text{cte}$ $\Rightarrow v_g = v_f$: medio no dispersive

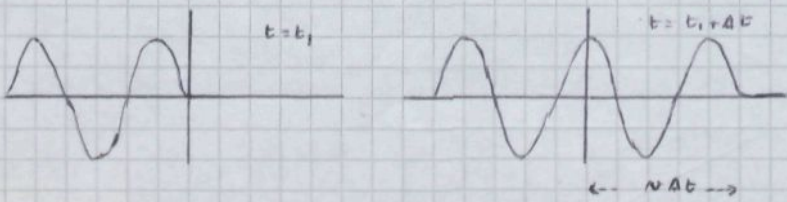
ii) $v_f \neq \text{cte}$ $\Rightarrow v_g \neq v_f$: medio dispersive

El nombre de medio no dispersive se debido a que

$$\mathcal{F}(x, t) = \frac{1}{\sqrt{2\pi}} \int_{-\infty}^{+\infty} dk f(k) e^{i(kx - \omega t)} = \frac{1}{\sqrt{2\pi}} \int_{-\infty}^{+\infty} dk f(k) e^{i k(x - v_f t)} = \mathcal{F}(x - v_f t, 0) \quad (5)$$

es decir el paquete de ondas se propaga sin deformarse.

Intensidad: El transporte de energía por una onda se escribe ordinariamente en función de la intensidad de onda, definida como la potencia media a la cual transmite la onda energía por unidad de área normal a la dirección de propagación. Es decir, la intensidad en un punto cualquiera de una onda es la energía incidente media por unidad de tiempo y su unidad de área. Para ondas planas la intensidad de onda es siempre proporcional a $I \propto I^2$. Veamos el caso de una onda que viaja en una cuerda



Sea w su pulsación. La energía de un segmento de cuerda de masa m tiene la misma forma que la energía de un oscilador armónico

y por tanto

$$\Delta E = \frac{1}{2} \rho m \omega^2 \xi_0^2 \quad (8)$$

Si ρ es la densidad visual de la cuerda, la densidad visual de energía es $E = \frac{1}{2} \rho \omega^2 \xi_0^2$ y la intensidad es por tanto

$$I = \frac{1}{2} \rho \omega^2 \xi_0^2 \quad (9)$$

Polarización: Este es un fenómeno típico de las ondas transversales. Consideremos una onda que se propague según Ox , entonces la amplitud más general es

$$\xi_y(x, t) = \xi_{0y} \cos [kx - \omega t + \phi_y], \quad \xi_z(x, t) = \xi_{0z} \cos [kx - \omega t + \phi_z] \quad (10)$$

Consideremos ahora el lugar geométrico de $\vec{\xi} = (\xi_y, \xi_z)$

$$\xi_y = \xi_{0y} \cos [kx - \omega t + \phi_y], \quad \xi_z = \xi_{0z} \cos [kx - \omega t + \phi_z + \delta] \quad \delta \equiv \phi_z - \phi_y \quad (11)$$

$$= \frac{\xi_y}{\xi_{0y}} = \cos [kx - \omega t + \phi_y], \quad \frac{\xi_z}{\xi_{0z}} = \cos [kx - \omega t + \phi_y] \cos \delta - \sin [\phi_z - \phi_y] \sin \delta \Rightarrow$$

$$\frac{\xi_y}{\xi_{0y}} = \cos [kx - \omega t + \phi_y], \quad \frac{\xi_z}{\xi_{0z}} = \frac{\xi_y}{\xi_{0y}} \cos \delta - \sin \delta \sin [kx - \omega t + \phi_y] \Rightarrow$$

$$\frac{\xi_y}{\xi_{0y}} \cos \delta - \frac{\xi_z}{\xi_{0z}} = \sin [kx - \omega t + \phi_y] \sin \delta, \quad \frac{\xi_y}{\xi_{0y}} \sin \delta = \cos [kx - \omega t + \phi_y] \sin \delta$$

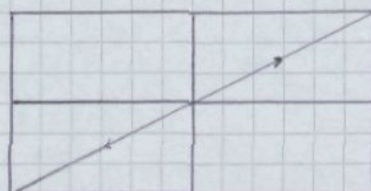
Elevando estas dos últimas expresiones al cuadrado y sumándolas se obtiene

$$\frac{\xi_y^2}{\xi_{0y}^2} + \frac{\xi_z^2}{\xi_{0z}^2} - 2 \frac{\xi_y}{\xi_{0y}} \frac{\xi_z}{\xi_{0z}} \cos \delta = \sin^2 \delta \quad (12)$$

El lugar geométrico de (ξ_y, ξ_z) es pues, en general, una elipse que se denomina elipse de polarización.

$$\frac{\xi_y^2}{\xi_{0y}^2} + \frac{\xi_z^2}{\xi_{0z}^2} - 2 \frac{\xi_y}{\xi_{0y}} \frac{\xi_z}{\xi_{0z}} \cos \delta = \sin^2 \delta \quad \delta \equiv \phi_z - \phi_y \quad (13)$$

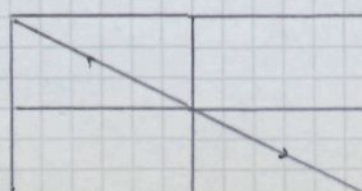
$$\xi_i(x, t) = \xi_{0i} \cos [kx - \omega t + \phi_i] \quad i = y, z$$



Casos particulares

$$1) \quad \delta = 0 \quad \left(\frac{\xi_y}{\xi_{0y}} + \frac{\xi_z}{\xi_{0z}} \right)^2 = 0$$

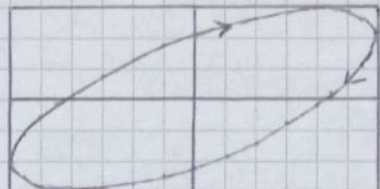
Luz polarizada rectilíneamente



Luz polarizada rectilíneamente

$$3) 0 < \delta < M'$$

Luz elípticamente polarizada dextrógiaca



$$4) M < \delta < 2n$$

Luz elípticamente polarizada levógiaca

$$5) Si: E_{ox} = E_{oy} \quad y \quad \delta = (2m+1) \frac{\pi}{2} \Rightarrow E_y^2 + E_z^2 = E_0^2$$

es decir, luz circularmente polarizada.

Las ondas que son producidas por una fuente única acostumbran a estar polarizadas, pero no sucede así si, como es habitual, muchas fuentes puntuales forman la fuente considerada. Por ejemplo si consideramos la luz, una onda lumínosa está normalmente originada por millones de átomos que de desuelan de forma independiente. El campo eléctrico correspondiente a este onda que se propaga según Ox se puede descomponer en cada instante en E_y, E_z , pero la diferencia de fase δ será una función muy variable con t y no habrá efecto neto de polarización. Esto es debido a que no existe, en general, ninguna correlación entre los E producidos por los distintos átomos. Si se desea tener luz polarizada se deberá de alguna forma prever, como veremos más adelante, a polarizarla.

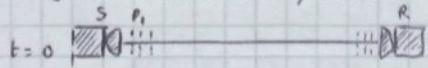
Ondas esféricas. Sea una fuente puntual y admitamos que la energía se dispersa por un igual en todas las direcciones. A una distancia r , la energía se halla uniformemente distribuida sobre una superficie esférica de radio r y área $4\pi r^2$ y tanto su intensidad disminuye como $1/r^2$. Podremos pues escribir

$$\mathbf{E}(\vec{r}, t) = \frac{E_0}{r} \cos [\vec{k} \cdot \vec{r} - \omega t + \phi] \quad (1)$$

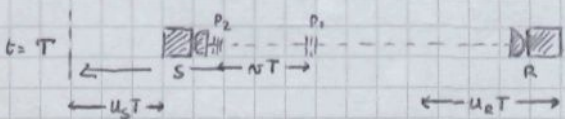
Para estas ondas esféricas los frentes de onda son las esferas $k\vec{r} - \omega t + \phi = \text{cte}$. Dos esferas correspondientes a dos máximos sucesivos tienen radios que difieren en $2\pi/k = \lambda$.

Efecto Doppler.

1) Consideremos en primer lugar el efecto Doppler que se produce en ondas sonoras. Consideremos un problema unidimensional. Sean u_S



y u_R las velocidades de la fuente S y el receptor



R con velocidad al aire, que es el medio conductor de las ondas sonoras. Sea v la frecuencia y

$T = 1/v$ el periodo de la onda emitida. Para facilitar la discusión supongamos que se emiten breves pulsos separados por el tiempo T . Sea n la velocidad de propagación de la onda en el aire. Supongamos que en el instante $t=0$ se emite un pulso P_1 , y en el instante $t=T$

36/001

un segundo pulso P_2 . Durante el tiempo T el pulso P_1 recorre una distancia vT , y la fuente una distancia $u_1 T$. Por tanto la distancia $P_1 P_2$ que es la longitud de onda efectiva λ' es

$$\lambda' = (v - u_1) T = \frac{v - u_1}{v} \quad (2)$$

La velocidad de los dos pulsos relativa al receptor es $v - u_R$ y por tanto el intervalo de tiempo entre la llegada de P_1 y P_2 a R es

$$T' = \frac{\lambda'}{v - u_R} = \frac{1}{v} \frac{v - u_1}{v - u_R} \Rightarrow v' = v \frac{1 - u_R/v}{1 - u_1/v} \quad (3)$$

Se ha supuesto implícitamente que $u_R, u_1 < v$, si lo contrario aparecen fenómenos tales como ondas de choque, que no discutiremos aquí.

- 1) Fuente en reposo y receptor en movimiento ($u_1 = 0, u_R = u$)

$$v' = v \left(1 - \frac{u}{v}\right) \quad u > 0 \text{ alejándose} \Rightarrow v' < v \Leftrightarrow \lambda' > \lambda$$

$$u < 0 \text{ acercándose} \Rightarrow v' > v \Leftrightarrow \lambda' < \lambda$$
(4)

- 2) Fuente en movimiento y receptor en reposo ($u_1 = u, u_R = 0$)

$$v' = \frac{v}{1 + \frac{u}{v}} \quad u > 0 \text{ alejándose} \Rightarrow v' < v \Leftrightarrow \lambda' > \lambda$$

$$u < 0 \text{ acercándose} \Rightarrow v' > v \Leftrightarrow \lambda' < \lambda$$
(5)

Notar que en el caso considerado no sólo importa la velocidad relativa entre S y R sino también la velocidad absoluta con respecto al aire, que es el medio de propagación.

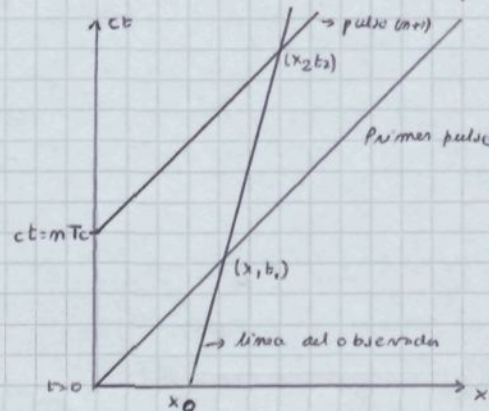
- 2) La luz se propaga en el vacío y no puede existir tal simetría como la de (4) y (5). Consideraremos la fuente en el origen de coordenadas y al observador alejándose a una velocidad u .

Observadore en reposo con la fuente.

$$x_1 = ct_1 = x_0 + u t_1, \quad x_2 = ct_2 = x_0 + u t_2$$

$$\Rightarrow t_2 - t_1 = \frac{mCT}{c-u}, \quad x_2 - x_1 = \frac{mCTu}{c-u}$$

¿Qué ve el observador si solidario con el receptor?



$$t_2' - t_1' = \frac{1}{1 - u^2/c^2} \quad \{ (t_2 - t_1) + \frac{u}{c^2} (x_2 - x_1) \} = \frac{1}{1 - u^2/c^2} \quad \left\{ \frac{mCT}{c-u} + \frac{u^2}{c^2} \frac{mCT}{c-u} \right\}$$

y en este periodo si vebe m señales con lo cual el periodo que el observador verá

$$T' = \frac{t_2' - t_1'}{m} = \frac{1}{m} \frac{1}{1 - u^2/c^2} \frac{mCT}{c-u} \left(1 - \frac{u^2}{c^2}\right) \Rightarrow T' = T \frac{1}{1 - u^2/c^2}$$

Aquí pues

$$T' = T \sqrt{\frac{1+u/c}{1-u/c}} \quad v' = v \sqrt{\frac{1-u/c}{1+u/c}} \quad (4)$$

$$\lambda' = c T' = \lambda \sqrt{\frac{1+u/c}{1-u/c}}$$

y en particular

$$\frac{\Delta\lambda}{\lambda} \approx \frac{\lambda' - \lambda}{\lambda} = \left(\frac{1+u/c}{1-u/c} \right)^{1/2} - 1 \quad (2)$$

$u > 0$ alejándose $\Delta\lambda/\lambda > 0 \Rightarrow \lambda' > \lambda$ movimiento hacia el rojo

$u < 0$ acercándose $\Delta\lambda/\lambda < 0 \Rightarrow \lambda' < \lambda$ movimiento hacia el azul

Notar

$$\frac{\Delta\lambda}{\lambda} \underset{u/c \rightarrow 0}{\approx} \frac{u}{c} + \frac{1}{2} \frac{u^2}{c^2} + \frac{1}{2} \frac{u^3}{c^3} + \dots \quad (4)$$

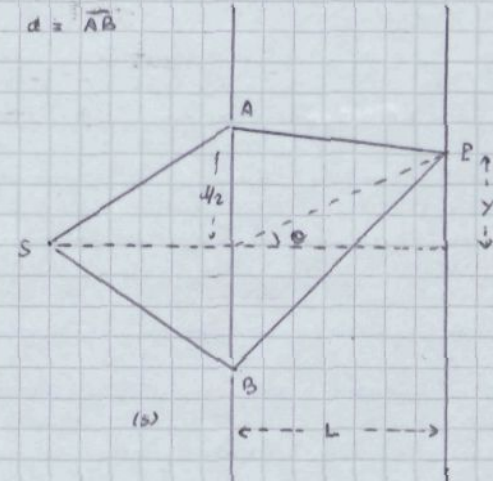
Experiencia de Young: Es una de las experiencias más típicas para detectar el fenómeno de las interferencias. Consideremos

$$d = \overline{AB}$$

la fuente lumínosa S . Admitiremos que las ondas pasan por los ojuelos A y B y se superponen en P con la misma intensidad. En esta aproximación las ondas que llegan a P son

$$\overline{S}_A = S_0 \sin(\omega t + \phi), \quad \overline{S}_B = S_0 \sin(\omega t + \phi + \delta)$$

Procederemos a calcular d :



$$\overline{AP} = \sqrt{L^2 + \left(\frac{d}{2} - y\right)^2} \quad \overline{BP} = \sqrt{L^2 + \left(\frac{d}{2} + y\right)^2}$$

$$\overline{BP} - \overline{AP} = \sqrt{L^2 + y^2 + dy + d^2/4} - \sqrt{L^2 + y^2 - dy + d^2/4} =$$

$$= \sqrt{L^2 + y^2} \left\{ \left[1 + \frac{dy}{L^2 + y^2} + \frac{d^2}{4(L^2 + y^2)} \right]^{1/2} - \left[1 - \frac{dy}{L^2 + y^2} + \frac{d^2}{4(L^2 + y^2)} \right]^{1/2} \right\} \xrightarrow{L \gg d} =$$

$$= \sqrt{L^2 + y^2} \left\{ 1 + \frac{dy}{2(L^2 + y^2)} + \frac{d^2}{8(L^2 + y^2)} - 1 + \frac{dy}{2(L^2 + y^2)} - \frac{d^2}{8(L^2 + y^2)} + \dots \right\} = \frac{dy}{L^2 + y^2}$$

$$= d \sin \theta \Rightarrow \delta = \frac{2\pi d \sin \theta}{\lambda} \quad (6)$$

La onda en P es pura

$$\bar{E} = \bar{E}_A + \bar{E}_B = 2 \bar{E}_0 \cos \frac{\delta}{2} \sin (\omega t + \phi + \frac{1}{2} \delta)$$

La intensidad que se registra en P es

$$\begin{aligned} I &= \frac{1}{T} \int_0^T dt |\bar{E}(t)|^2 = 4 \bar{E}_0^2 \cos^2 \frac{\delta}{2} \frac{1}{T} \int_0^T dt \sin^2 (\omega t + \phi + \frac{1}{2} \delta) = \\ &= 4 \bar{E}_0^2 \cos^2 \frac{\delta}{2} \frac{1}{T \omega} \int_0^{wT} dx \sin^2 x = 4 \bar{E}_0^2 \cos^2 \frac{\delta}{2} \frac{1}{2\pi} \int_0^{2\pi} dx \sin^2 x = 4 \bar{E}_0^2 \cos^2 \frac{\delta}{2} \frac{1}{2\pi} \pi \end{aligned}$$

$$I = 2 \bar{E}_0^2 \cos^2 \left\{ \frac{\pi}{\lambda} d \sin \theta \right\} \quad (2)$$

Máximos de intensidad $\frac{\pi}{\lambda} d \sin \theta = m\pi \Rightarrow d \sin \theta = m\lambda \quad m=0, 1, 2, \dots$

La diferencia en longitud de los caminos es un múltiplo entero de λ .

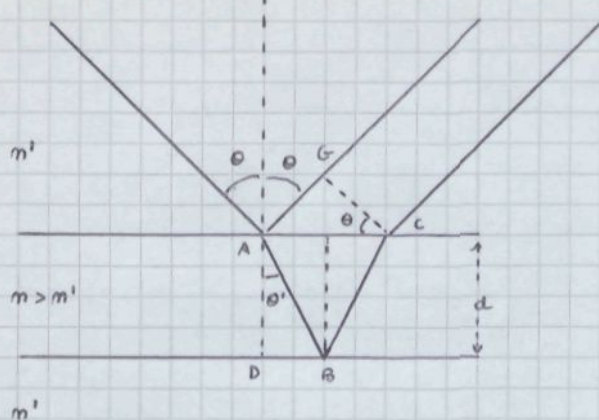
Mínimos de intensidad $\frac{\pi}{\lambda} d \sin \theta = (2m+1) \frac{\pi}{2} \Rightarrow d \sin \theta = (m + \frac{1}{2}) \lambda \quad m=0, 1, 2, \dots$

La diferencia en longitud de los caminos es un múltiplo semientero de λ .

En la aproximación usada para deducir (8) los máximos son todos de $I=2\bar{E}_0^2$ y los mínimos de $I=0$. En realidad esto no es así pues la onda que viene mayor comienzo tiene una amplitud menor y al superponerse los máximos son cada vez más débiles a medida que n crece y los mínimos cada vez más oscuros a medida que n crece, de forma que, en el mejor de los casos, se ven solo unas pocas franjas de interferencia.

Cohärenza. ¿Cuando se produce el diagrama de interferencia anterior? Para que el razoamiento anterior sea cierto es necesario que la diferencia de fase sea constante en el tiempo. Si la fuente única es substituida por dos fuentes muy próximas no se producirán, en general, fenómenos de interferencia. Solo aparecerán estos si ambas fuentes están en fase o bien una diferencia de fase constante en el tiempo y en este caso se dice que las fuentes son coherentes. Pongamos por ejemplo una red en A y otra en B, cada red, que podemos considerar puntual a escala macroscópica, está formada por millones de átomos. Como es imposible predecir el tiempo exacto en que un átomo particular se desexcita la fase fluctúa aleatoriamente. Se producen muchas fluctuaciones en el valor de $\delta(t)$ que cambia en intervalos del orden de 10^{-8} s. y lo único que se mide es el promedio temporal de $\delta(t)$ y las figuras de interferencia desaparecen.

Interferencias en láminas delgadas. Otro fenómeno fácilmente observable son las interferencias cuando la luz pasa sobre una lámina delgada. Consideremos la situación representada en la figura



La diferencia de caminos ópticos es

$$\Delta = m(\bar{AB} + \bar{BC}) - m'(\bar{AC}) \quad (1)$$

Recordad que la velocidad de propagación de la luz en un medio material de índice de refracción m es $v = \frac{c}{m}$ y que la longitud de onda en el medio λ' comparece con la del

rayo λ es $\lambda' = v\tau = \frac{1}{m}\lambda$ y $k' = m k$ y su valor hemos multiplicado sus caminos geométricos por su índice de refracción. Recordademos además que

$$\frac{\sin \theta}{m} = \frac{\sin \theta'}{m'} \quad (\text{Ley de Snell}) \quad (2)$$

De aquí:

$$\bar{AB} = \bar{BC} = \frac{d}{\cos \theta'}, \quad \bar{AG} = \bar{AC} \sin \theta = 2\bar{AB} \sin \theta' \sin \theta = 2d \frac{\sin \theta'}{\cos \theta'} \sin \theta.$$

$$\Delta = m \frac{2d}{\cos \theta'} - m' 2d \frac{\sin \theta'}{\cos \theta'} \sin \theta = \frac{2dm}{\cos \theta'} \left(1 - \frac{m'}{m} \sin \theta \sin \theta' \right) = \frac{2dm}{\cos \theta'} (1 - \sin^2 \theta')$$

$$\Delta = 2dm \cos \theta' \quad (3)$$

Sería de esperar que si $2dm \cos \theta' = N\lambda$, $N = 0, 1, 2, \dots$ apareciese interferencia constructiva. En realidad esto no es así pues, se puede probar, que cuando la luz se refleja en el punto A hay un cambio de fase de π por ser $m > m'$, mientras que no hay tal cambio de fase en B pues la reflexión es de un medio de m a m' con $m > m'$. La condición de interferencia constructiva pues

$$2dm \cos \theta' = (2N+1) \frac{\lambda}{2}, \quad N = 0, 1, 2, \dots \quad (4)$$

Si una película delgada se ilumina con luz blanca al mirarla se ven interacciones debidas a que para algunos colores, según el espesor y el ángulo de observación, tienen interferencia destructiva y otros constructiva.

Propagación de ondas: La descripción de la propagación de una onda es muy simple si es monomótona y no encuentra obstrucciones en su camino. El análisis de Fourier hace que también existan problemas para ondas no monomótonas. En particular una onda esférica para describirse, como ya se ha comentado antes, mediante

$$\mathbf{E}(\mathbf{r}, t) = \frac{E_0}{r} \cos(kr - wt + \phi) \quad (5)$$

para todo valor de φ_0 y t , con tal de que se mueva a traves de un espacio homogéneo y sin obstáculos. En este caso los frentes de onda son

$$r = \frac{w}{R} t + \varphi_0$$

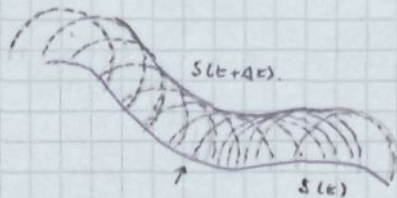
y se mueven hacia adelante normalmente. En el caso de ondas planas que se mueven en la dirección \hat{x} u \hat{y}

$$\xi(\hat{x}; t) = \xi_0 \cos(k\hat{x} - wt + \phi)$$

y los frentes de onda son planos perpendiculares a \hat{x} .

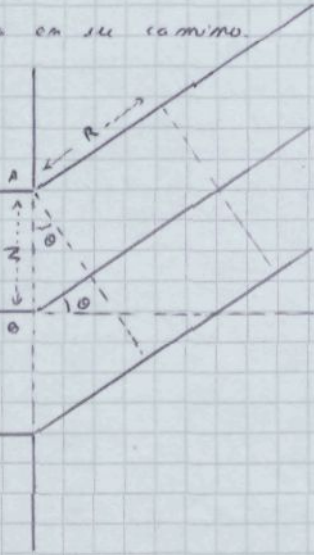
La situación es mucho más complicada en el momento en que la onda encuentra obstáculos en su camino. Se puede obtener la solución deseada resumiendo la ecuación de propagación de la onda con las condiciones de contorno adecuadas, pero esto es demasiado complicado para hacerlo aquí.

Principio de Huygens (Christiaan Huygens 1629-1695). Supongamos que en el instante t el frente de ondas sea $S(t)$. Se supone que cada punto de $S(t)$ emite ondas esféricas en la dirección de propagación de la onda uniforme. Al cabo de un tiempo $d\tau$, la superficie del centro de ondas $S(t+d\tau)$ es la envolvente de las ondas esféricas emitidas.



Difracción: Este fenómeno es característico de todo tipo de ondas. Se produce cuando una parte de un frente de ondas se ve limitada por un obstáculo o obertura de tipo cualquiera en su camino.

Consideremos una rendija indefinida de anchura a perpendicular al plano del papel. Sea la onda incidente



$$\xi = \xi_0 \cos(kx - wt) \quad (6)$$

La onda elemental emitida por un intervalo de anchura dz alrededor del punto B de coordenada z tiene la forma

$$d\xi = \frac{\xi_0 dz}{a} \frac{1}{r} \cos(kr - wt) \quad (7)$$

$$r \equiv R + z \sin \theta$$

Entonces la amplitud total es

$$\begin{aligned}
 \bar{E} &= \frac{\bar{E}_0}{d} \int_0^d dz \frac{1}{r} \cos(kz - \omega t) = \frac{\bar{E}_0}{d} \int_0^d \frac{dz}{R + \bar{E} \sin \theta} \cos[k(R + \bar{E} \sin \theta) - \omega t] \approx (R \gg d) \\
 &\approx \frac{\bar{E}_0}{d R} \int_0^d dz \cos[\Delta + k(z - d/2) \sin \theta] \quad \Delta \equiv k(R + \frac{d}{2} \sin \theta) - \omega t \\
 &= \frac{\bar{E}_0}{d R} \int_{-d/2}^{+d/2} dz \cos[\Delta + kz \sin \theta] = \\
 &\cdot \frac{\bar{E}_0}{d R} \left\{ \cos \Delta \int_{-d/2}^{+d/2} dz \cos[kz \sin \theta] - \sin \Delta \int_{-d/2}^{+d/2} dz \sin[kz \sin \theta] \right\} \\
 &\approx \frac{\bar{E}_0}{d R} \cos \Delta \frac{1}{k \sin \theta} \sin[kz \sin \theta] \Big|_{-d/2}^{+d/2} \Rightarrow \\
 \bar{E} &= \frac{\bar{E}_0}{R} \sin \frac{k d \sin \theta}{2} \sin \left[k \left(R + \frac{d}{2} \sin \theta \right) - \omega t \right] \quad (1)
 \end{aligned}$$

Luego la intensidad sera el valor medio del cuadrado de (1) en un periodo y miremos

$$I = \frac{\bar{E}_0^2}{2R^2} \frac{\sin^2 \left[\frac{\pi d \sin \theta}{\lambda} \right]}{\left[\frac{\pi d \sin \theta}{\lambda} \right]^2}$$

Para $\theta = 0$ hay un máximo (máximo parcial)

$$\begin{aligned}
 I &= I_{\max} \frac{\sin^2 \left[\frac{\pi d \sin \theta}{\lambda} \right]}{\left[\frac{\pi d \sin \theta}{\lambda} \right]^2} \quad (2) \\
 I_{\max} &\equiv \frac{\bar{E}_0^2}{2R^2}
 \end{aligned}$$

Mínimos : Aparecen mínimos de intensidad cuando $\frac{\pi d \sin \theta}{\lambda} = m\pi$, $m = \pm 1, \pm 2, \dots$

$$\sin \theta = m \frac{\lambda}{d}, \quad m = \pm 1, \pm 2, \dots \quad (3)$$

Máximos : $\frac{dI}{d\theta} = 0 \quad \theta = \frac{\pi d \sin \theta}{\lambda} \Rightarrow \tan \theta = \frac{\lambda}{d} \quad \text{con } \theta \neq 0$

$$y(\theta) = \theta - \tan \theta = 0.$$

Las soluciones son $\theta_i = 4.493409$

$$\theta_2 = 7.725252$$

$$\theta_3 = 10.904122$$

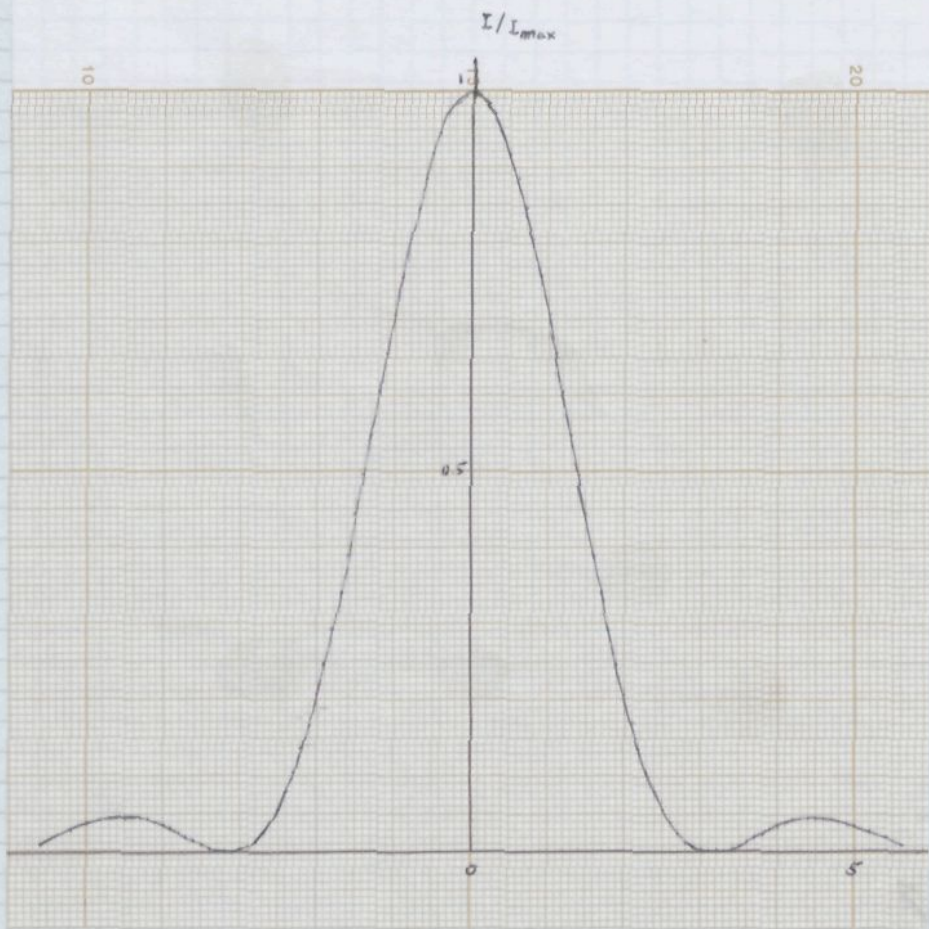
$$\theta_m = \frac{\pi}{2} (2m+1) \left\{ 1 - \left(\frac{2}{\pi(2m+1)} \right)^2 + \dots \right\} \quad (4)$$

36/001

$$\frac{I_1}{I_{\max}} = 0.047190, \quad \frac{I_2}{I_{\max}} = 0.016480, \quad \frac{I_3}{I_{\max}} = 0.009340$$

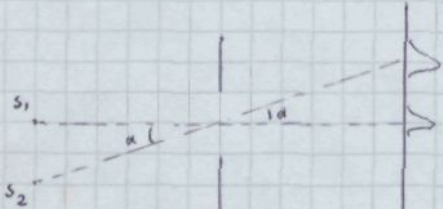
(5)

$$\frac{I_m}{I_{\max}} = \frac{4}{m^2 (2m+1)^2} \left\{ 1 - \frac{8}{m^2 (2m+1)^2} + \dots \right\}$$



Poder de resolución: En el caso anterior el efecto de que existe la difracción hace que un punto sea en una pantalla una simetría de un tamaño

$$\text{sim} \theta \approx \frac{\lambda}{d}$$



Entonces dos fuentes puntuales se podrán separar si

$$\text{sim} \alpha \approx \frac{\lambda}{d}$$

(7)

Si la abertura fuera circular entonces

$$\text{sim} \alpha \approx 1.22 \frac{\lambda}{d}$$

(8)

esta para fuentes únicas en el poder de resolución de los ojos.

Rayos: Se puede indicar la dirección de propagación de una onda, que no encuentra obstáculos, dibujando rayos que son perpendiculares a los frentes de onda.

En una onda plana la energía se mueve en la vecindad de un punto de un frente de onda se mueve en línea recta perpendicularmente a dicho frente, de un modo análogo a como lo hace un chorro de partículas a lo largo de la dirección en que se mueven los rayos. Si la onda, de longitud de onda λ , choca con una bariera con una abertura mucho mayor que λ , la onda, en buena aproximación, se propaga aún a lo largo de líneas rectas a través de la abertura, como un chorro de partículas de éstas, excepto que se presentará cierta difracción en las bandas de la abertura. Esta desviación de una onda plana mediante rayos perpendiculares a sus frentes de onda se denominó aproximación de rayos. En el caso de las ondas de luz esto aproximación constituye la llamada óptica geométrica. Esta aproximación es válida en tanto que la parte del frente de ondas considerado sea grande en comparación con λ , en cuyo caso pueden ignorarse los fenómenos de difracción. Si por otra parte la abertura no es mucho mayor que λ o si estamos interesados en la región del espacio correspondiente a unas pocas longitudes de onda de un obstáculo, la difracción es muy importante y la aproximación de rayos deja de ser útil. Si tenemos una onda de longitud de onda λ y una serie de obstáculos y aberturas de tamaño característico de entonces la aproximación de rayos es buena si

$$\lambda \ll d$$

(1)

1) Luz visible $\lambda \approx 5 \times 10^{-5}$ cm, como la mayor parte de objetos, que nos rodean, tienen $d \gg \lambda$, la aproximación de rayos es sumamente útil y mejorará al disminuir λ .

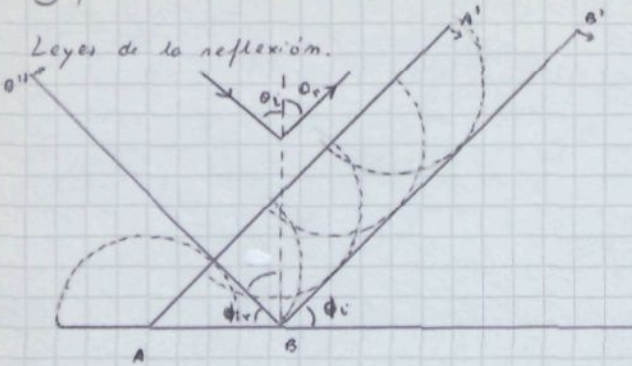
2) Las ondas sonoras audibles tienen frecuencias entre 20 y 20.000 Hz y como la velocidad de propagación del sonido en el aire es ≈ 330 m/s las longitudes de onda varían entre 16.5 m y 1.65 cm y en la vida usual la aproximación de rayos es mala. La flexión de las ondas sonoras generadas de las orguilosas es una experiencia común.

3) Materia: Una partícula lleva una onda asociada de longitud de onda

$$\lambda = \frac{h}{p}$$

(2)

Como h es muy pequeña, incluso para partículas A resulta ser pequeña y es difícil observar los efectos ondulatorios, pues la aproximación de rayos es extraordinariamente buena. Guntun J. Davisson y Lester H. Germer fueron los primeros en observar interferencias con electrones, en 1922.



$$\theta_i = \theta_r$$

θ_i = ángulo de incidencia

θ_r = ángulo de reflexión.

La igualdad de estos ángulos es consecuencia de la igualdad de los triángulos APB y B'P'A'.

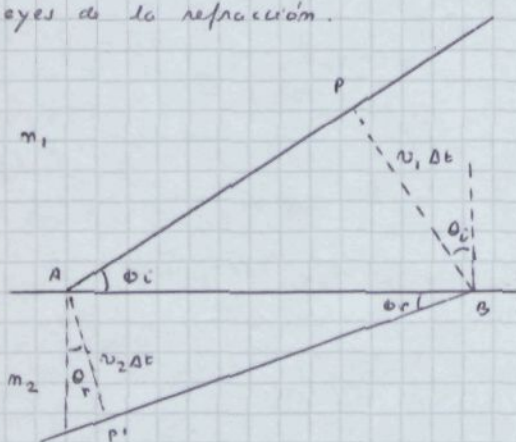
Deducida la ley es más fácil trabajar con rayos.

La ley fundamental es pues

$$\theta_i = \theta_r$$

(13)

Leyes de la refracción.



$$\phi_i = \theta_i, \quad \phi_r = \theta_r \quad n_i = \frac{c}{m_i} \quad i=1, 2$$

$$\sin \phi_i = \frac{n_1 \Delta t}{AB} \quad \sin \phi_r = \frac{n_2 \Delta t}{AB}$$

$$\frac{\sin \phi_i}{\sin \phi_r} = \frac{n_1}{n_2} = \frac{c}{m_1} \cdot \frac{m_2}{c}$$

$$n_1 \sin \theta_i = n_2 \sin \theta_r \quad (\text{Ley de Snell})$$

(14)

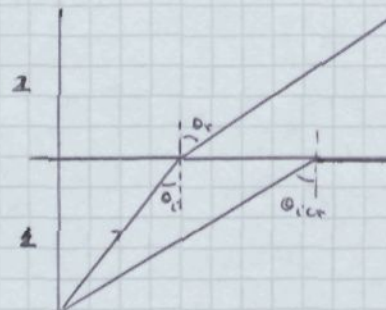
Reflexión total

Sea $n_1 > n_2 \Leftrightarrow n_1 < n_2$ El ángulo de incidencia

cuál es θ_{icr} se determina imponiendo que $\theta_r = \pi/2$

$$n_1 \sin \theta_{icr} = n_2 \Rightarrow \sin \theta_{icr} = \frac{n_2}{n_1} < 1$$

Los rayos con $\theta_i < \theta_{icr}$ son parcialmente reflejados y parcialmente transmitidos y aquellos con $\theta_i > \theta_{icr}$ son totalmente reflejados.



(15)

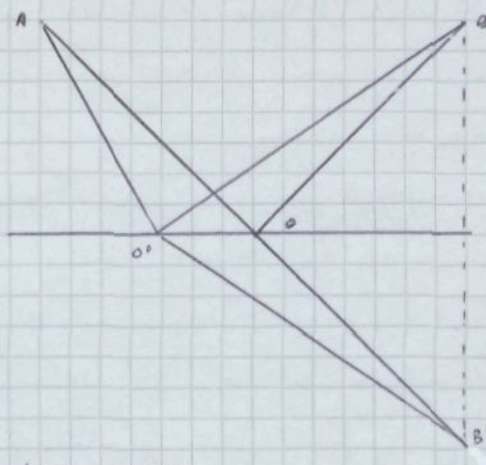
Principio de Fermat. En el S.XVII Fermat enunció un principio para determinar el camino seguido por la luz entre dos puntos: El trayecto que recorre la luz al revés de un punto al otro punto es tal que el tiempo empleado en dicho recorrido es estacionario, cuando se compara con trayectos próximos a él. de hecho se comprobó que las caminos ópticos siguen este criterio pues $n = c/m$.

Leyes de la reflexión.

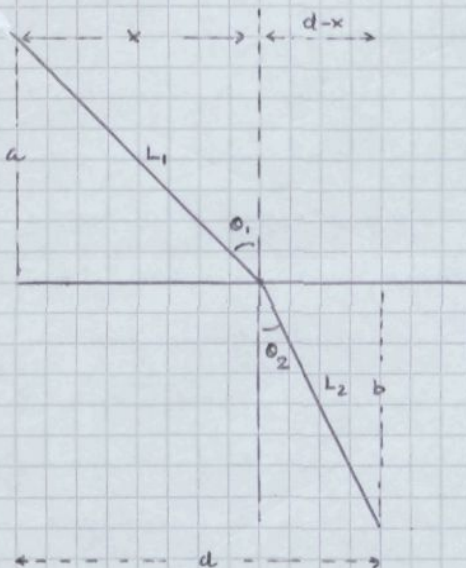
$$\angle OAB = \angle O'B'$$

$$\angle O'B' > \angle O'B > \angle OAB$$

El comienzo es pues $\angle OAB = \theta_i = \theta_r$



Leyes de la refracción



$$t = \frac{L_1}{v_1} + \frac{L_2}{v_2} = \frac{1}{c} (m_1 L_1 + m_2 L_2)$$

$$L_1 = \sqrt{a^2 + x^2} \quad L_2 = \sqrt{b^2 + (d-x)^2}$$

$$\frac{dt}{dx} = 0 \Rightarrow m_1 \frac{dL_1}{dx} + m_2 \frac{dL_2}{dx} = 0$$

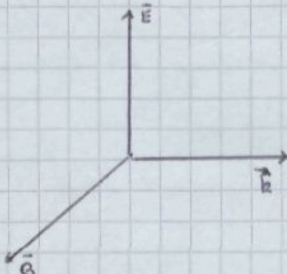
$$\frac{dL_1}{dx} = \frac{x}{\sqrt{a^2+x^2}} = \sin \theta_1, \quad \frac{dL_2}{dx} = -\frac{d-x}{\sqrt{b^2+(d-x)^2}} = -\sin \theta_2$$

$$m_1 \sin \theta_1 = m_2 \sin \theta_2$$

(1)

Luz polarizada. Para los ondes electromagnéticos ya hemos dicho que se pierde freedom que \vec{E} y \vec{B} vibran en planos perpendiculares al de propagación.

Si $|\vec{E}| = |\vec{B}|$ y $\vec{k} = \lambda (\vec{E} \times \vec{B})$, $\lambda > 0$, la dirección del plano determinado por \vec{E} y \vec{B} se llama plano de polarización. Si $\vec{E} \parallel \vec{Ox}$, entonces en un instante cualquier



$$E_y(x, t) = E_{0y} \cos(kax - \omega t)$$

(2)

$$E_z(x, t) = E_{0z} \cos(kax - \omega t + \delta)$$

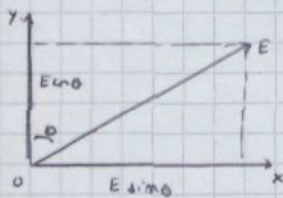
Si la dirección de \vec{E} es siempre paralela a una linea fija en el espacio o dice que la luz está polarizada linealmente y esto exige que $d = 0, \pi$. Si d es un constante entonces se habla de luz polarizada diópticamente, en general. Si d es una función del tiempo la luz no está polarizada.

La radiación procedente de un atomo está siempre polarizada, pero en general las fuentes luminosas se componen de un número muy grande de átomos que actúan independientemente y la luz resultante no está polarizada.

Hay cuatro métodos usados de producir luz polarizada.

a) Absorción: Un método usual de obtener luz polarizada es el de absorción en una lámina de un material conocido como cristal polarizado, inventado por E.H. Land en 1928.

Este material contiene moléculas de un hidrocarburo de cadena larga que se alinean cuando la lámina se deforma en una dirección durante el proceso de fabricación. A frecuencias ópticas estas cadenas se hacen conductoras, cuando la lámina se introduce en una disolución que contiene yodo cuando la luz incide con su vector \vec{E} paralelo a las cadenas, se establecen corrientes eléctricas a lo largo de las mismas y se absorbe la energía lumínosa. Si el campo eléctrico es perpendicular a las cadenas se transmite la luz. La dirección perpendicular a las cadenas se denomina eje de transmisión. Consideremos un haz lumínoso en la dirección Ox incidente sobre un políndice que tiene Oy como eje de transmisión. En valor medio, la mitad de la luz incidente tiene su vector \vec{E} en la dirección Oy y la mitad en la dirección Ox , si el haz incidente no está polarizado. Así pues se transmite la mitad de la intensidad y la luz transmitida está polarizada normalmente con su vector \vec{E} en la dirección Oy . Supóngase que tenemos un segundo trazo de políndice cuyo eje de transmisión forma un ángulo θ con el primero. Entonces solo se transmite E_{no} y la mitad la intensidad transmitida es

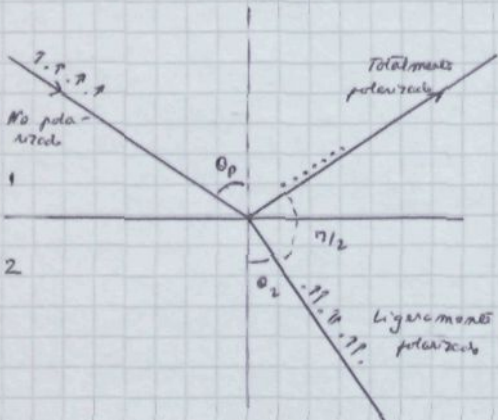


radio cuyo eje de transmisión forma un ángulo θ con el primero. Entonces solo se transmite E_{no} y la mitad la intensidad transmitida es

$$I = I_0 \cos^2 \theta \quad (3)$$

siendo I_0 la intensidad entre los dos políndices. Esta es la llamada ley de Malus (E.L. Malus 1775-1812). Se aplica a dos elementos polarizantes cualesquiera cuyas direcciones de transmisión formen, entre sí, un ángulo θ .

2) Reflexión. Cuando la luz no polarizada se refleja en una superficie plana,



por ejemplo allí que separa el aire y el vidrio, la luz reflejada está parcialmente polarizada. El grado de polarización depende del ángulo de incidencia y de los índices de refracción de ambas medias. Cuando el ángulo de incidencia es tal que los rayos reflejado y refractado son perpendiculares entre sí, la luz reflejada está completamente polarizada. Este resultado fue descubierto experimentalmente por Sir David Brewster en 1812.

$$m_1 \sin \theta_p = m_2 \sin \theta_2 \quad \theta_2 = n - \theta_p - \frac{\pi}{2} = \frac{n}{n_1} - \theta_p \Rightarrow \tan \theta_2 = \cot \theta_p$$

$$m_1 \sin \theta_p = m_2 \cos \theta_p \quad \Rightarrow \quad \tan \theta_p = \frac{m_2}{m_1} \quad (\text{ley de Brewster}) \quad (4)$$

cristales de gafas polarizadas pueden ser muy eficaces para minimizar el deslumbramiento.

3) Dispersion

4) Birefringencia.

1. La función de onda correspondiente a una onda estacionaria en una cuerda fija en ambos extremos es $\tilde{S}(x, t) = 0.5 \sin 0.025x \cos 500t$, estando F y x dados en centímetros y t en segundos. Hallar la velocidad y la amplitud de las ondas móviles cuya combinación da como resultado la onda estacionaria. ¿Cuál es la distancia entre nodos sucesivos en la cuerda? ¿Cuál es la longitud más corta posible de la cuerda?

$$\tilde{S}_1 = \tilde{S}_0 \sin(kx - \omega t), \quad \tilde{S}_2 = \tilde{S}_0 \sin(kx + \omega t)$$

$$\tilde{S} = \tilde{S}_0 \{ \sin(kx - \omega t) + \sin(kx + \omega t) \} = 2 \tilde{S}_0 \sin kx \cos \omega t$$

$$\tilde{S}_0 = 0.25 \text{ cm}, \quad k = 0.025 \text{ cm}^{-1}, \quad \omega = 500 \text{ s}^{-1}, \quad v = \frac{\omega}{k} = 2 \times 10^4 \text{ cm s}^{-1}$$

$$\text{Distancia entre nodos mínima } d = \frac{\pi}{k} \Rightarrow d = 1.2566 \times 10^2 \text{ cm.}$$

Longitud mínima de la cuerda d .

2. Una cuerda fija en un extremo solamente,esta vibrando en su modo fundamental. La función de onda es $\tilde{S} = 0.02 \text{ cm} \sin(2.36 \text{ cm}^{-1} x) \cos(377 \text{ s}^{-1} t)$. 1) ¿Cuál es la longitud de onda? 2) ¿Cuál es la velocidad de las ondas transversales de la cuerda?

$$\lambda = \frac{2\pi}{k} = \frac{2\pi}{2.36} \text{ cm} = 2.6624 \text{ cm}$$

$$v = \frac{377}{2.36} = 1.5975 \times 10^2 \text{ cm s}^{-1}$$

3. Dos ondas sonoras de frecuencias $v_1 = 500 \text{ Hz}$ y $v_2 = 505 \text{ Hz}$ se mueven a $v = 340 \text{ m s}^{-1}$, a lo largo del eje x , en el aire. La amplitud de desplazamiento de cada onda es \tilde{S}_0 . Escribir las funciones de onda $\tilde{S}_1(x, t)$ y $\tilde{S}_2(x, t)$ para cada onda, admitiendo que están en fase cuando $x=0$ $t=0$ y escribir $\tilde{S}(x, t)$ para la onda resultante. Calcular las velocidades de fase y de grupo de esta onda.

$$w_i = 2\pi v_i, \quad \lambda_i = v \frac{1}{v_i}$$

$$\tilde{S}_i = \tilde{S}_0 \cos(k_i x - \omega_i t)$$

$$k_i = \frac{2\pi}{\lambda_i} = \frac{2\pi}{v} v_i = \frac{w_i}{v}$$

$$\tilde{S} = \tilde{S}_1 + \tilde{S}_2 = \{ \tilde{S}_0 \cos(k_1 x - \omega_1 t) + \tilde{S}_0 \cos(k_2 x - \omega_2 t) \} =$$

$$= 2 \tilde{S}_0 \cos \left(\frac{k_1 - k_2}{2} x - \frac{\omega_1 - \omega_2}{2} t \right) \cos \left(\frac{k_1 + k_2}{2} x - \frac{\omega_1 + \omega_2}{2} t \right)$$

$$\tilde{S} = 2 \tilde{S}_0 \cos [4.6200 \times 10^{-4} \text{ cm}^{-1} x - 15.708 \text{ s}^{-1} t] \cos [9.3324 \times 10^{-2} \text{ cm}^{-1} x - 3.1573 \times 10^4 \text{ s}^{-1} t]$$

$$v_f = \frac{w_i}{k_i} = 340 \text{ m s}^{-1}$$

$$v_g = \frac{\omega_1 - \omega_2}{k_1 - k_2} = 340 \text{ m s}^{-1}$$

36/001

4. Dos fuentes sonoras oscilan en fase con una frecuencia de 100 Hz. En un punto a 5.00 m de una de ellas y a 5.85 m de la otra, la amplitud del sonido producido en cada punto separadamente es A. 1) ¿Cuál es la diferencia de fase de la onda sonora procedente de ambas fuentes en dicho punto? 2) ¿Cuál es la amplitud de la onda resultante en dicho punto?

$$v = 100 \text{ Hz} \quad , \quad v = 3.40 \times 10^4 \text{ cm s}^{-1} \quad , \quad \lambda = \frac{\nu}{v} = 340 \text{ cm}$$

$$d = \frac{d_2 - d_1}{\lambda} 2\pi = 1.5708 \text{ rad.} = \frac{\pi}{2} \quad , \quad I_0 = 2A \sin \frac{\pi}{2} = 2A \frac{1}{2} = \sqrt{2}A$$

5. Una fuente sonora, de frecuencia 1080 vibración/seg, se mueve hacia la derecha con una velocidad de 32.9 m s^{-1} con relación al suelo. A su derecha se encuentra una superficie reflectora que se mueve hacia lo izquierdo con una velocidad de 65.8 m s^{-1} con relación al suelo. Tomando como velocidad del sonido en el aire por la fuente 2) El número de ondas que por segundo llegan a la superficie reflectora. 3) la velocidad de las ondas reflejadas 4) la longitud de onda de las ondas reflejadas.

$$\nu = 1080 \text{ s}^{-1} \quad , \quad v = 32.9 \text{ m s}^{-1} \quad u_s = 32.9 \text{ m s}^{-1} \quad u_R = -65.8 \text{ m s}^{-1}$$

$$1) \lambda' = (v - u_s) T = \frac{329 - 32.9}{1080} \text{ m} = 0.2742 \text{ m.}$$

$$2) v' = v \frac{1 - u_R/v}{1 - u_s/v} = 1080 \frac{329 + 65.8}{329 - 32.9} \text{ s}^{-1} = 1440 \text{ s}^{-1}$$

3) Esto es una propiedad del medio y por tanto $v = 329 \text{ m s}^{-1}$

$$4) \lambda' = v' T' = 329 / 1440 \text{ m} = 0.2285 \text{ m}$$

6. Muestre cómo se hace en un estadio de expansión. Una nubecula que está a una distancia de se ojea a nosotros a una velocidad v tal que

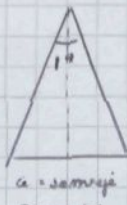
$$d = \frac{c}{H} \frac{\Delta \lambda}{\lambda}$$

$$H = 75 \text{ Km s}^{-1} \text{ Megaparsec}^{-1} \quad , \quad \frac{\Delta \lambda}{\lambda} = \sqrt{\frac{1+v/c}{1-v/c}} - 1$$

si $\Delta \lambda / \lambda = 2$, hallar v y d .

$$\sqrt{\frac{1+v/c}{1-v/c}} - 1 = 2 \quad , \quad \frac{1+v/c}{1-v/c} = 9 \quad \Rightarrow \quad \frac{v}{c} = \frac{4}{5}$$

$$d = \frac{c}{4} \cdot 2 = \frac{2 \cdot c}{75} \text{ Km}^{-1}s \text{ Megaparsec} = 7.985 \cdot 10^3 \text{ Megaparsec}$$



$$d = \frac{a}{2 \sin(1/2)} = 3.086 \cdot 10^{18} \text{ m} = 3.26 \text{ años luz}$$

$$d = 2.6062 \cdot 10^4 \text{ años luz}$$

a = semiperímetro
Tiendo - M.

7. En un experimento de la doble rendija de Young se utilizaron dos amarillo de sodio. La distancia entre las ranuras y la pantalla es $L = 100 \text{ cm}$, y la distancia entre las ranuras $d = 0.023 \text{ cm}$. Sabiendo que la separación entre la primera y tercera franja propias de interferencia es 0.5 cm , calcular la longitud de onda de los empleados.

Sabemos que los máximos se producen $d \sin \theta = m\lambda$. En nuestro caso

$$m = 2, \quad d \sin \theta = \frac{0.5 \text{ cm}}{L} = 5 \cdot 10^{-3}$$

$$\lambda = \frac{0.023 \times 5 \cdot 10^{-3}}{2} \Rightarrow \lambda = 5750 \text{ Å}.$$

8. En una difracción de doble rendija de Young las ranuras se encuentran separadas $d = 0.4 \text{ mm}$ y las franjas se observan a distancias de 50 cm . Cuando el sistema se sumerge en un líquido se encuentra que la distancia entre franjas se reduce en un factor 0.7. Hallar el índice de refracción del líquido.

En el aire la distancia entre el primer máximo y el pico central es $d \sin \theta = \lambda$ y en el líquido $d \sin \theta' = \lambda'$ \Rightarrow

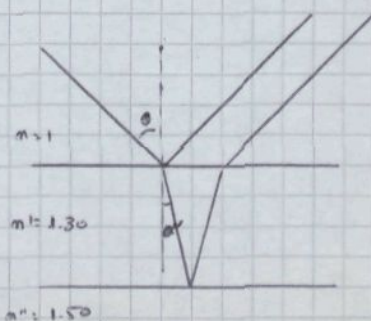
$$\frac{\lambda'}{\sin \theta'} = \frac{\lambda}{\sin \theta} \Rightarrow \lambda' = \lambda \frac{\sin \theta'}{\sin \theta} = 0.7\lambda$$

$$\lambda = n \tau = \frac{c}{m} \tau = \frac{1}{m} = 0.7 \quad m = \frac{1}{0.7} = m = 1.4286$$

9. Se utiliza una capa muy fina de un material transparente con un índice de refracción de 1.30 como revestimiento antireflectante en la superficie de índice de índice de refracción 1.50. ¿Cuál deberá ser el espesor para que la película no refleje la luz de 6000 Å , si la incidencia es normal?

Notar que la diferencia de camino óptico es $D = 2dn' \cos \theta'$ y

hay un cambio de fase de π en cada punto de reflexión por lo cual la condición de interferencia es

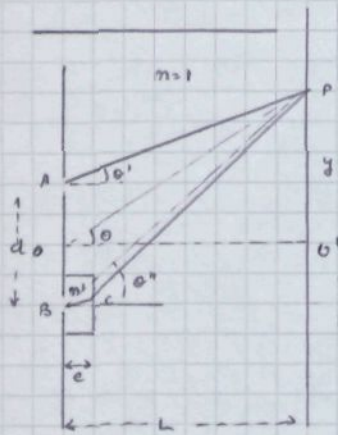


$$\frac{2n}{\lambda} 2dm' \text{ uno}^{\circ} = 2n (N + 1/2)$$

$$d = \frac{\lambda (N + 1/2)}{2 n' \text{ uno}^{\circ}}$$

$$n' = 0 \quad N = 0 \quad d = \frac{\lambda}{4 n'} = \frac{6000 \text{ \AA}^{\circ}}{4 \times 1.30} \Rightarrow d = 1154 \text{ \AA}^{\circ}$$

10. En la experiencia de Young se observan franjas en una pantalla utilizando luz de $\lambda = 6500 \text{ \AA}$. Si en una de las ondas se interfiere una lámina transparente y muy delgada de índice de refracción $n = 1.45$, se observa que el máximo central se desplaza hasta la posición en que antes se encontraba el cuarto máximo. ¿Qué espesor tiene la lámina?



la posición central del cuarto máximo corresponde a una diferencia de caminos ópticos de 4λ , $d \sin \theta = 4\lambda \Rightarrow \sin \theta = \frac{4\lambda}{d}$
 $y = L \tan \theta$

la nueva diferencia de caminos dará origen a un cambio de fase

$$\delta = BC \frac{2n}{\lambda} + CP \frac{2n}{\lambda} - BP \frac{2n}{\lambda}$$

$$d = \frac{2n}{\lambda} (m' BC + m CP - m BP)$$

$$BC \cos \theta_0 = e \quad CP \cos \theta_0 = L - e, \quad BP \cos \theta_0'' = L$$

$$d = \frac{2n}{\lambda} \left(\frac{m'e}{\cos \theta_0} + \frac{L-e}{\cos \theta_0} m - m \frac{L}{\cos \theta_0''} \right)$$

$$\text{Como los ángulos son muy pequeños} \quad d = \frac{2n}{\lambda} (m'e + m(L-e) - mL) \Rightarrow d = \frac{2n}{\lambda} (m'-m)e$$

y finalmente

$$e(m'-m) = 4\lambda \Rightarrow e = \frac{4\lambda}{m'-m} \Rightarrow e = 5.778 \times 10^{-4} \text{ cm.}$$

11. Un haz de luz blanca incide normalmente sobre una lámina de espesor $d = 0.4 \mu\text{m.}$, de índice de refracción $n = 1.5$. ¿Qué longitud de onda, de las contenidas en el espectro visible, se refuerza en el haz reflejado?

La interferencia constructiva se da si tales que $2dn = (2N+1) \frac{\lambda}{2} \Rightarrow \lambda = \frac{4dn}{2N+1}$

$$\lambda = \frac{12000}{N+1/2} \text{ \AA}^{\circ} \quad \text{luego } N=2 \text{ es la única en el intervalo y } \lambda = 4800 \text{ \AA}^{\circ}$$

12. Una onda plana de luz blanca en el aire llega a una película delgada de aceite que cubre una placa de cristal, incidendo bajo un ángulo de 30° . Se observa una interferencia constructiva para la longitud de onda del rojizo en el haz reflejado y para la longitud de onda correspondiente al moranjo, no observándose ningún otro máximo para ninguna longitud de onda intermedia. Si el índice de refracción del aceite es 1.30 y el del vidrio 1.48 determinar el espesor de la lámina. ($\lambda_{rojizo} = 5000\text{ \AA}$, $\lambda_{moranjo} = 6000\text{ \AA}$).

Como hay cambio de fase de π en cada reflexión la condición de interferencia constructiva es $2d n_{\text{aceite}} \sin \theta_{\text{refr}} = N\lambda$

$$\text{Máx. } \sin \theta_{\text{refr}} = \text{Mín. } \sin \theta_{\text{refr}} \Rightarrow \sin \theta_{\text{refr}} = \frac{1}{1.30} \sin 30^\circ \Rightarrow \sin \theta_{\text{refr}} = \frac{1}{2.6}$$

$$\cos \theta_{\text{refr}} = \sqrt{1 - \frac{1}{2.6^2}} = \frac{\sqrt{5.76}}{2.6} = 0.923077$$

$$\left. \begin{array}{l} 2d \cdot 1.3 \sin \theta_r = N \lambda \\ 2d \cdot 1.3 \sin \theta_r = (N-1) \lambda_m \end{array} \right\} \quad N \lambda_m = (N-1) \lambda_m \Rightarrow 4N = 6(N-1) \quad N=3$$

$$d = \frac{3 \times 5000\text{ \AA}^\circ}{2 \times 1.3 \times 0.923077} \Rightarrow d = 5000\text{ \AA}^\circ$$

13. ¿Cuál es la distancia mínima de separación a que se pueden encontrar dos objetos en la superficie de la Luna para que se vean todavía a simple vista? Supóngase que la pupila del ojo tiene un diámetro de 4 mm, que la longitud de onda efectiva es de 5500 \AA° y que la distancia Tierra-Luna es de 3.8×10^5 Km.

$$\text{limo} = 1.22 \frac{\lambda}{d} \quad \lambda = 5500\text{ \AA}^\circ, \quad d = 0.4 \text{ cm.}$$

La distancia y buscada, se expresa en kilómetros a la distancia D de la Tierra a la Luna como

$$y = D \text{ limo} = 1.22 \frac{D \lambda}{d} \Rightarrow y = 63.755 \text{ Km.}$$

14. Dos láminas polacristales tienen sus direcciones polaronizantes dispuestas de tal forma que la intensidad de luz transmitida es máxima. ¿Cuál ángulo se debe girar una de las láminas para que la intensidad se reduzca a la mitad?

$$I = I_0 \cos^2 \theta \Rightarrow \cos^2 \theta = \frac{1}{2} \quad \theta = \pm 45^\circ, \pm 135^\circ$$

15. Un rayo de luz incide sobre la superficie de un líquido de $n=1.50$. Si el rayo reflejado está totalmente polarizado, ¿Cuál es el ángulo de refracción?

36/001

$$\text{Ley de Brewster} \quad \tan \theta_p = 1.5 = m \Rightarrow \sin \theta_p = \frac{m}{\sqrt{1+m^2}} \quad \therefore \quad \sin \theta_p = \frac{1.5}{\sqrt{3.25}}$$

$$\sin \theta_r = 1 - \cos \theta_p \quad \sin \theta_r = \frac{1}{\sqrt{1+m^2}}$$

$$\theta_r + \frac{\pi}{2} + \theta_p = \pi \quad \theta_r = -\theta_p + \frac{\pi}{2} \quad \theta_r = \frac{\pi}{2} - \theta_p = 0.598003 \text{ rad}$$

$$\theta_r = 33^\circ 41' 24.24''$$

16. Hallar el desarrollo en serie de Fourier de la función periódica

$$f(x) = \begin{cases} 1 - 4x & 0 \leq x < \frac{1}{2} \\ -3 + 4x & \frac{1}{2} \leq x \leq 1 \end{cases} \quad f(x+1) = f(x)$$

Representar la contribución de los primeros términos de la serie

$$f(x) = a_0 + \sum_{n=1}^{\infty} a_n \cos(2\pi n x) + \sum_{n=1}^{\infty} b_n \sin(2\pi n x)$$

$$a_0 = \int_0^1 dx f(x) \quad , \quad a_n = 2 \int_0^1 dx f(x) \cos(2\pi n x) \quad , \quad b_n = 2 \int_0^1 dx f(x) \sin(2\pi n x)$$

$$a_0 = \int_0^{1/2} dx (1-4x) + \int_{1/2}^1 dx (-3+4x) = [x - 2x^2]_0^{1/2} + [-3x + 2x^2]_{1/2}^1 = 0$$

$$a_n = 2 \int_0^{1/2} dx (1-4x) \cos(2\pi n x) + 2 \int_{1/2}^1 dx (-3+4x) \cos(2\pi n x) =$$

$$\cdot \frac{1}{\pi n} \left\{ \int_0^{2\pi n} dy (1 - \frac{2}{\pi n} y) \cos y - \int_{\pi n}^{3\pi n} dy (3 - \frac{2}{\pi n} y) \cos y \right\} =$$

$$= \frac{1}{\pi n} \left\{ 2\pi n y \Big|_0^{2\pi n} - 3\pi n y \Big|_{\pi n}^{2\pi n} - \frac{2}{\pi n} (\cos y + y \sin y) \Big|_0^{\pi n} + \frac{2}{\pi n} (\cos y + y \sin y) \Big|_{\pi n}^{2\pi n} \right\} =$$

$$= \frac{1}{\pi n} \left\{ -\frac{2}{\pi n} (4\pi n n - 1) + \frac{2}{\pi n} (\cos 2\pi n - \cos \pi n) \right\} = \frac{4}{\pi^2 n^2} [1 - (-1)^n]$$

$$b_n = \frac{1}{\pi n} \left\{ -\cos y \Big|_0^{\pi n} + 3\cos y \Big|_{\pi n}^{2\pi n} - \frac{2}{\pi n} (\sin y - y \cos y) \Big|_0^{\pi n} + \frac{2}{\pi n} (\sin y - y \cos y) \Big|_{\pi n}^{2\pi n} \right\} = 0$$

$$f(x) = \frac{8}{\pi^2} \left\{ \cos 2\pi x + \frac{1}{3^2} \cos 6\pi x + \frac{1}{25} \cos 10\pi x + \dots \right\}$$

$$f(x) = \frac{8}{\pi^2} \sum_{m=1}^{\infty} \frac{1}{(2m+1)^2} \cos [(2m+1) 2\pi x]$$

Diferencias

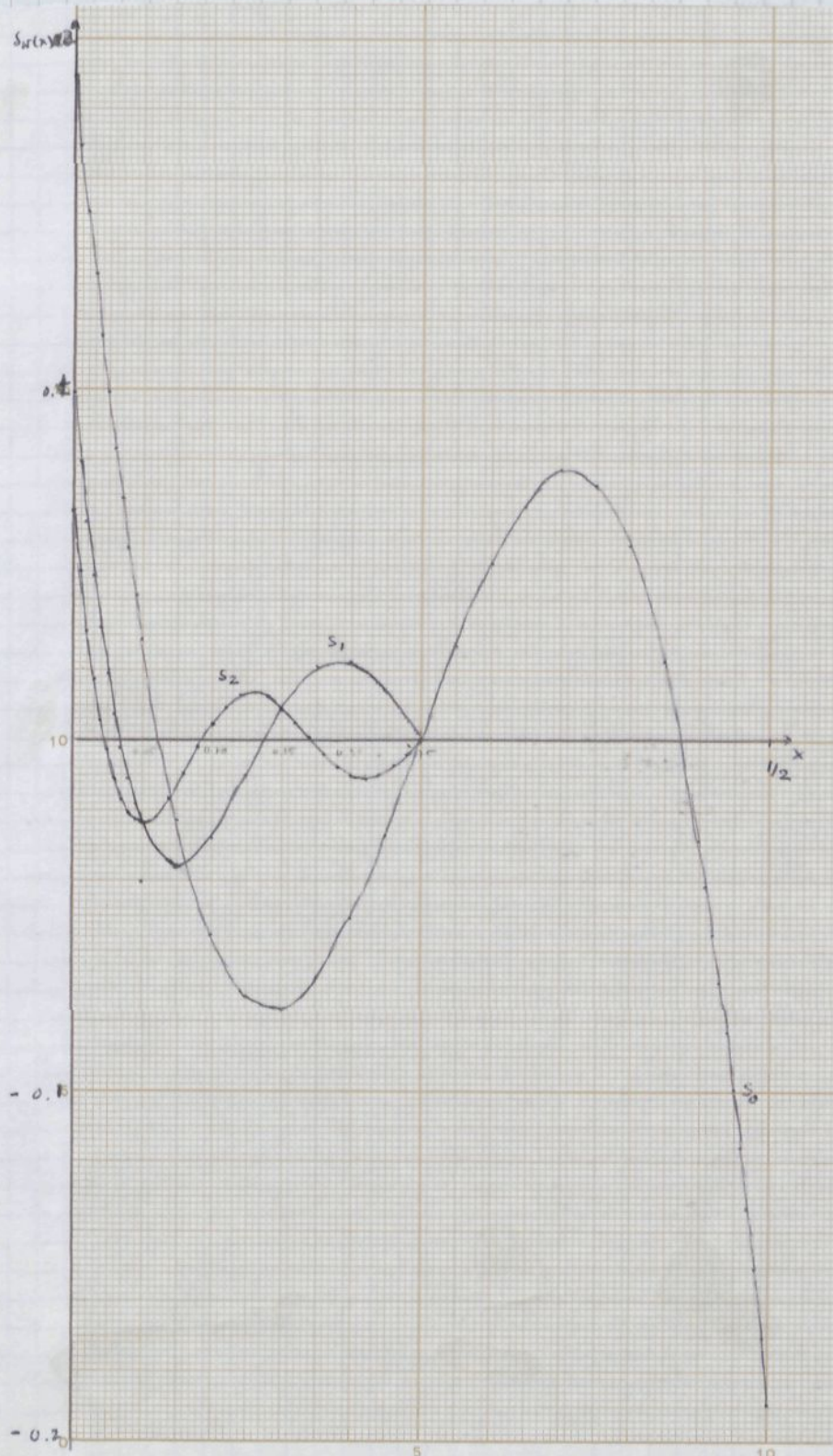
$$S_N(x) = f(x) - \frac{8}{\pi^2} \sum_{n=0}^N \frac{1}{(2n+1)^2} \cos [(2n+1) 2\pi x]$$

En particular

$$S_N(0) = 1 - \frac{8}{\pi^2} \sum_{n=0}^{\infty} \frac{1}{(2n+1)^2}$$

$$S_0(\omega) = 0.189531, \quad S_1(\omega) = 0.099367, \quad S_2(\omega) = 0.066846$$

$$S_3(\omega) = 0.050402, \quad S_4(\omega) = 0.040395, \quad \dots$$



17. Un método antiguo para determinar la velocidad del sonido es el siguiente: se coloca horizontalmente un tubo de vidrio cilíndrico y en su interior se esparsa polvo muy fino. Un extremo del tubo se cierra con un pistón que puede ajustarse a un acuñador de frecuencia corriente. El otro extremo se cierra con un pistón cuya posición puede cambiarse. Mientras se hace oscilar el pistón fijo con frecuencia f , se ajusta la posición

del pistón móvil hasta obtener resonancia. En estas condiciones, el polvo se agrupa en momentos separados entre sí por una misma distancia. 1) Explique llanamente los motivos de este fenómeno y deducir la relación que une la frecuencia v , la distancia d entre dos máximas sucesivas y la velocidad v del sonido. 2) ¿Qué valor se obtiene para v ?
 $v = 5250 \text{ s}^{-1}$ y $d = 4 \text{ cm}$?

Se establece una onda estacionaria, cuya longitud de onda es $\lambda = 2d$. Como
 $\lambda = vT = v/v$

$$v = 2dv$$

$$v = 2 \times 4 \text{ cm} \times 5250 \text{ s}^{-1} \Rightarrow v = 360 \text{ m s}^{-1}$$

18. Una estrella doble gira alrededor de su centro de masas de modo que uno de sus componentes se mueve, en un instante, hacia la Tierra y la otra se aleja de ella. El centro de masas está fijo con respecto a la Tierra. La long. del hidrógeno de longitud de onda $\lambda = 6563 \text{ Å}$ en el laboratorio tiene una long. de onda $\lambda_1 = 6600 \text{ Å}$ cuando proviene de una de las estrellas y $\lambda_2 = 6589 \text{ Å}$ cuando proviene de la otra. ¿Cuál es el cociente entre las masas de las estrellas?

La coordenada centro de masas es $\bar{R} = \frac{M_1 \vec{r}_1 + M_2 \vec{r}_2}{M_1 + M_2}$ y como $\bar{R} = 0$ entonces $M_1 = \frac{M_2}{v_1} v_2$

Como $\lambda_1 > \lambda$ está en la estrella que se aleja

$$\frac{\lambda_1 - \lambda}{\lambda} = \left(\frac{1 + v_1/c}{1 + v_2/c} \right)^{1/2} - 1 \quad , \quad \frac{\lambda_2 - \lambda}{\lambda} = \left(\frac{1 - v_2/c}{1 + v_2/c} \right)^{1/2} - 1$$

$$v_1/c = \frac{x_1 - 1}{x_1 + 1} \quad x_1 = \left(\frac{\lambda_1}{\lambda} \right)^2 \quad v_2/c = \frac{x_2 - 1}{x_2 + 1} \quad x_2 = \left(\frac{\lambda_2}{\lambda} \right)^2$$

$$v_1/c = 0.001061168 \quad v_2/c = 0.009645339$$

y por tanto

$$\frac{M_1}{M_2} = \frac{v_2}{v_1}$$

$$\frac{M_1}{M_2} = 9.089.$$

19. Un observador móvil O ve un fenómeno oscilatorio descrito por la ecuación

$$\frac{1}{v^2} \frac{\partial^2 \tilde{F}(x, t)}{\partial t^2} - \frac{\partial^2 \tilde{F}(x, t)}{\partial x^2} = 0$$

¿Cuál es la ecuación de ondas para un observador O' cuyas coordenadas están relacionadas

con las coordenadas fu

$$x' = x - vt \quad , \quad t' = t.$$

$$\text{Sea } \tilde{\mathcal{E}}(x; t) \equiv \mathcal{E}(x' + vt'; t') \equiv \tilde{\mathcal{E}}'(x'; t')$$

$$\frac{\partial \tilde{\mathcal{E}}(x; t)}{\partial x} = \frac{\partial \tilde{\mathcal{E}}'(x'; t')}{\partial x'} \frac{\partial x'}{\partial x} + \frac{\partial \tilde{\mathcal{E}}'(x'; t')}{\partial t'} \frac{\partial t'}{\partial x} = \frac{\partial \tilde{\mathcal{E}}'(x'; t')}{\partial x'}$$

$$\frac{\partial^2 \tilde{\mathcal{E}}(x; t)}{\partial x^2} = \frac{\partial^2 \tilde{\mathcal{E}}'(x'; t')}{\partial x'^2}$$

$$\frac{\partial \tilde{\mathcal{E}}(x; t)}{\partial t} = \frac{\partial \tilde{\mathcal{E}}'(x'; t')}{\partial x'} (-v) + \frac{\partial \tilde{\mathcal{E}}'(x'; t')}{\partial t'}$$

$$\frac{\partial^2 \tilde{\mathcal{E}}(x; t)}{\partial t^2} = \frac{\partial}{\partial t} \left\{ -v \frac{\partial \tilde{\mathcal{E}}'(x'; t')}{\partial x'} + \frac{\partial \tilde{\mathcal{E}}'(x'; t')}{\partial t'} \right\} = (-v) \left\{ -v \frac{\partial^2 \tilde{\mathcal{E}}'(x'; t')}{\partial x'^2} + \frac{\partial \tilde{\mathcal{E}}'(x'; t')}{\partial x' \partial t'} \right\}$$

$$+ \left\{ -v \frac{\partial^2 \tilde{\mathcal{E}}'(x'; t')}{\partial x' \partial t'} + \frac{\partial^2 \tilde{\mathcal{E}}'(x'; t')}{\partial t'^2} \right\} = v^2 \frac{\partial^2 \tilde{\mathcal{E}}'(x'; t')}{\partial x'^2} - 2v \frac{\partial \tilde{\mathcal{E}}'(x'; t')}{\partial x' \partial t'} + \frac{\partial^2 \tilde{\mathcal{E}}'(x'; t')}{\partial t'^2}$$

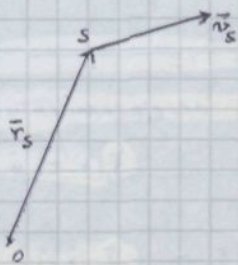
$$\frac{1}{v^2} \frac{\partial^2 \tilde{\mathcal{E}}'(x'; t')}{\partial t'^2} - \frac{2v}{v^2} \frac{\partial^2 \tilde{\mathcal{E}}'(x'; t')}{\partial x' \partial t'} - \left(1 - \frac{v^2}{v^2}\right) \frac{\partial^2 \tilde{\mathcal{E}}'(x'; t')}{\partial x'^2} = 0$$

20. Una fuente de ondas de frecuencia v y un observador se hallan a una distancia fija. Tanto la fuente como el observador están en reposo. Sin embargo el medio en el que se propaga la onda se mueve con una velocidad uniforme \tilde{v}_m en una dirección arbitraria. Encontrar la frecuencia v' recibida por el observador

$$v' = v$$

El hecho fundamental del efecto Doppler (en mecánica Newtoniana) es que la frecuencia recibida difiere de la emitida si y solo si el tiempo necesario para viajar de la fuente al observador es diferente para dos frentes de onda distintos. Como el movimiento del medio es independiente del tiempo, el tiempo de tránsito será el mismo para dos frentes cualesquiera con cuocida $\tilde{v}_m(\vec{r})$, mientras $d\tilde{v}_m/dt = 0$.

21. La figura muestra un observador O en reposo y una fuente S que se mueve con velocidad constante \tilde{v}_S y que emite con frecuencia v . El medio de propagación está en reposo con velocidad v . La velocidad de propagación de la onda es v . Hallar la frecuencia recibida en O



36/001

La cresta de la onda emitida en el instante indicado en la figura sera reseñada después de un tiempo $\tau_1 = |\vec{r}_s|/v$. cuando ha pasado un tiempo T se emite otra cresta y la fuente está alejada del observador $|\vec{r}_s + \vec{v}_s T|$ y por tanto sera reseñada al cabo de un tiempo $\tau_2 = |\vec{r}_s + \vec{v}_s T|/v$. Por tanto la llegada de las dos crestas sucesivas al observador se produce con un intervalo de tiempo

$$\tau' = T + (\tau_2 - \tau_1) = T + \frac{1}{v} (|\vec{r}_s + \vec{v}_s T| - |\vec{r}_s|)$$

y por tanto

$$v' = \frac{1}{\frac{1}{v} + \frac{1}{v} (|\vec{r}_s + \vec{v}_s \frac{1}{v}| - |\vec{r}_s|)}$$

$$|\vec{r}_s| = r_s$$

$$|\vec{r}_s + \vec{v}_s \frac{1}{v}| = \sqrt{r_s^2 + 2 \frac{1}{v} \vec{r}_s \cdot \vec{v}_s + \frac{1}{v^2} v_s^2}$$

$$v' = v \left\{ 1 + v \frac{r_s}{v} \left(\sqrt{1 + \frac{2}{v} \frac{\vec{r}_s \cdot \vec{v}_s}{r_s^2} + \frac{1}{v^2} \left(\frac{v_s}{r_s} \right)^2} - 1 \right) \right\}^{-1}$$

si $r_s \gg T v_s$ entonces

$$v' = v \frac{v}{v + \vec{v}_s \cdot \hat{r}_s} \quad r_s \gg T v_s$$

Si $\vec{v}_s \cdot \hat{r}_s = \lambda r_s v_s$ con $\lambda = +1$ alejándose o $\lambda = -1$ acercándose

$$v' = \frac{v}{1 + \lambda \frac{v_s}{v}} \quad \lambda = +1 \text{ alejándose}, \quad \lambda = -1 \text{ acercándose}$$

22. Un hilo indefinido está situado a lo largo del eje Ox . Para $x < 0$ tiene una densidad lineal μ_1 y para $x > 0$ una densidad lineal μ_2 . El hilo está sujeto a la misma tensión en todos sus puntos. Supongamos que en la región $x < 0$ hay una onda incidente $\vec{S}_i = A_i \cos(k_1 x - \omega_i t)$ que viaja en el sentido de los x positivos. Al llegar a $x=0$ se produce una onda reflejada $\vec{S}_r = A_r \cos(k_1 x + \omega_i t)$ y una onda transmitida $\vec{S}_t = A_t \cos(k_2 x + \omega_2 t)$. Recordar que si $\mu_1 < \mu_2$ ($\mu_2 > \mu_1$) entonces $k_1 < k_2$ ($k_2 > k_1$). Estudiar el fenómeno y determinar las amplitudes.

$$S_i(x; t) = A_i \cos(k_1 x - \omega_i t) + A_{ir} \cos(k_1 x + \omega_i t) \quad x < 0$$

$$S_2(x; t) = A_t \cos(k_2 x - \omega_2 t) \quad x > 0.$$

1) Se debe cumplir

$$\bar{E}_1(0; t) = \bar{E}_2(0; t), \forall t \Rightarrow A_1 \cos \omega_1 t + A_r \sin \omega_1 t = A_t \cos \omega_2 t \Rightarrow$$

$$\omega_1 = \omega_2$$

$$A_1 + A_r = A_t$$

(1)

2) Además

$$\left. \frac{\partial \bar{E}_1(x; t)}{\partial x} \right|_{x=0} = \left. \frac{\partial \bar{E}_2(x; t)}{\partial x} \right|_{x=0} \quad \forall t \Rightarrow k_1 A_1 \sin \omega_1 t - A_r k_1 \sin \omega_1 t = A_t k_2 \sin \omega_2 t \Rightarrow$$

$$k_1 (A_1 - A_r) = k_2 A_t$$

(2)

Usando (1) para eliminar A_t en (2) $k_2(A_1 + A_r) = k_1 (A_1 - A_r)$

$$A_r = A_1 \frac{k_1 - k_2}{k_1 + k_2}$$

g

$$A_t = A_1 \frac{2k_1}{k_1 + k_2}$$

Como A_r y A_t deben ser positivas y si $\omega = \omega_1 = \omega_2$

$$\bar{E}_r = A_1 \left| \frac{k_1 - k_2}{k_1 + k_2} \right| \cos(k_1 x + \omega t + \delta_r)$$

$$\delta_r = \begin{cases} 0 & k_1 > k_2 \\ \pi & k_1 < k_2 \end{cases}$$

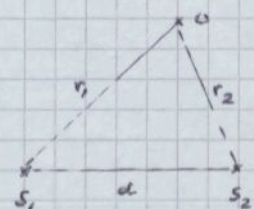
$$\bar{E}_t = A_1 \frac{2k_1}{k_1 + k_2} \cos(k_2 x - \omega t)$$

23. Dos fuentes S_1 y S_2 de ondas esféricas están separadas por una distancia d .
Cuando sólo fuente S_1 es desplazamiento de O es

$$\bar{E}_1(t) = \frac{C_1}{r_1} \cos(kr_1 - kv_0 t + \delta_1)$$

y cuando sólo fuente S_2 es

$$\bar{E}_2(t) = \frac{C_2}{r_2} \cos(kr_2 - kv_0 t + \delta_2)$$



Encontrar el desplazamiento en O cuando operan ambas fuentes. Encuentra las resultantes sobre r_1 y r_2 para que O no se desplace. Si $C_1 = C_2$ y $\delta_2 = d_1 - \alpha$ what es el lugar geométrico de los puntos que no se desplazan.

36/001

$$E(t) = \frac{c_1}{r_{r_1}} \cos(\omega r_1 - kx t + \delta_1) + \frac{c_2}{r_{r_2}} \cos(\omega r_2 - kx t + \delta_2)$$

Ento se puede rescribir teniendo en cuenta que

$$A \cos \alpha + B \cos \beta = \frac{1}{2} (A+B) (\cos \alpha + \cos \beta) + \frac{1}{2} (A-B) (\cos \alpha - \cos \beta)$$

Ademas $\cos \alpha + \cos \beta = 2 \cos\left(\frac{\alpha+\beta}{2}\right) \cos\left(\frac{\alpha-\beta}{2}\right)$, $\cos \alpha - \cos \beta = -2 \sin\left(\frac{\alpha+\beta}{2}\right) \sin\left(\frac{\alpha-\beta}{2}\right)$

de donde

$$A \cos \alpha + B \cos \beta = (A+B) \cos\left(\frac{\alpha+\beta}{2}\right) \cos\left(\frac{\alpha-\beta}{2}\right) - (A-B) \sin\left(\frac{\alpha+\beta}{2}\right) \sin\left(\frac{\alpha-\beta}{2}\right)$$

Entonces

$$E(t) = A_+ \cos \theta_+ \cos \theta_- - A_- \sin \theta_+ \sin \theta_-$$

$$A_{\pm} = \frac{c_1}{r_{r_1}} \pm \frac{c_2}{r_{r_2}}, \quad \theta_+ = \frac{1}{2} k(r_1 + r_2) - 2kx t + \frac{1}{2} (\delta_1 + \delta_2)$$

$$\theta_- = \frac{1}{2} k(r_1 - r_2) + \frac{1}{2} (\delta_1 - \delta_2)$$

Para que $E(t) = 0$ se debe cumplir

$$A_+ \cos \theta_- = 0$$

$$A_- \sin \theta_- = 0$$

como A_+ nunca puede ser nulo se tiene que $\cos \theta_- = 0 \Rightarrow \theta_- = \pi$

$$\frac{c_1}{r_{r_1}} = \frac{c_2}{r_{r_2}}$$

$$k(r_1 - r_2) + (\delta_1 - \delta_2) = (2m+1)\pi \quad m = 0, \pm 1, \pm 2, \dots$$

consideremos ahora $c_2 = c_1$ y $\delta_2 = \delta_1 - \pi$. Entonces los nodos son pares en los que

$$\frac{c}{r_{r_1}} = \frac{c}{r_{r_2}} \quad k(r_1 - r_2) + \pi = (2m+1)\pi \Rightarrow$$

$$r_2 = r_1 \quad y \quad m = 0$$

Luego los nodos estan en el ~~plano~~ perpendicular a s_1, s_2 y equidistantes de ambos.

INTRODUCCIÓN A LA MECÁNICA CUÁNTICA

El Cuerpo Negro: Este concepto fue introducido por Kirchhoff en 1860, que lo definió como aquel cuerpo que absorbe toda radiación electromagnética que incide sobre él. Mediante argumentos termodinámicos probó que la densidad de energía $u(v, T)$, por unidad de volumen y de frecuencia, de la radiación electromagnética en el interior de una cavidad de paredes adiátermas mantenidas a temperatura T , era independiente de la naturaleza de éstas, y su dependencia en v y T coincidía con la del poder emisor espectral de un cuerpo negro.

Wien, en 1896, logró probar que

$$u(v, T) = \alpha v^3 e^{-\beta v/T} \quad (\text{Ley de Wien}) \quad (1)$$

donde α y β son constantes universales. Experiencias de Paschen y Wamner confirmaron la validez de esta ley para luz visible ($v \approx 10^{15} \text{ s}^{-1}$) y para temperaturas de hasta $T = 4000 \text{ K}$. Sin embargo Lummer y Pringsheim, en 1897, al estudiar longitudes de onda mayores ($v \approx 10^{13} \text{ s}^{-1}$) vieron, experimentalmente, que la ley (1) no era correcta.

Lord Rayleigh, en 1900, intentó un nuevo cálculo de $u(v, T)$. Su cálculo tenia dos partes:

- 1) Cálculo del número de modos normales por unidad de volumen y de frecuencia. Consideramos una caja de volumen V muy grande, de forma cúbica y de lado L ($V=L^3$). Una onda estacionaria es

$$\tilde{E} = E_0 \sin(k_x x) \sin(k_y y) \sin(k_z z)$$

$$k_x = m_x \frac{\pi}{L}, \quad k_y = m_y \frac{\pi}{L}, \quad k_z = m_z \frac{\pi}{L} \quad m_i = 1, 2, 3, \dots$$

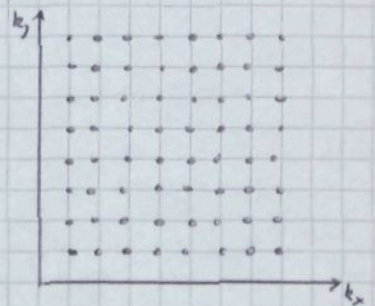
Cada punto ocupa un volumen $(\pi/L)^3$. Entonces el número de modos normales en el octante de la esfera de radio entre k y $k+dk$ es

$$\frac{4\pi k^2 dk}{8 \cdot (\pi/L)^3}$$

y como $k = 2\pi\nu/c$, viene que el número de modos normales por unidad de volumen y de frecuencia es

$$N(\nu) = \frac{8\pi\nu^2}{c^3} \quad (2)$$

donde se ha añadido un factor multiplicativo 2 para tener en cuenta los dos giros de polarización de la luz.



36/001
 2) Suposo además, que para cada uno de estos modos normales, oísimables a osciladores armónicos, la energía media $\langle E(v, T) \rangle_{\text{cl}}$ podrá ser calculada mediante la estadística de Boltzmann

$$\langle E(v, T) \rangle_{\text{cl}} = \frac{\int_0^{\infty} dE \cdot E \cdot e^{-E/k_B T}}{\int_0^{\infty} dE \cdot e^{-E/k_B T}} = k_B T \quad (4)$$

de donde

$$u(v, T) = \frac{8\pi v^2 k_B T}{c^3} \quad (\text{Ley de Rayleigh-Jeans})$$

Esta ley daba cuenta de los resultados a bajas frecuencias, pero evidentemente es incorrecta a v grandes pues da para la energía, en unidad de volumen,

$$\int_0^{\infty} dv u(v, T) = \infty \quad (\text{Catástrofe ultravioleta}) \quad (5)$$

En 1900 Planck, usando métodos termodinámicos, y una hipótesis ad hoc logró encontrar una fórmula de intensidad:

$$u(v, T) = \frac{8\pi v^2}{c^3} k_B T \frac{hv/k_B T}{e^{hv/k_B T} - 1} \quad (\text{Ley de Planck}) \quad (6)$$

$$k_B = 1.380662(44) \times 10^{-23} \text{ g} \cdot \text{cm}^2 \cdot \text{s}^{-2} \cdot \text{K}^{-1}$$

$$\hbar = h/2\pi = 1.0545887(57) \times 10^{-34} \text{ g} \cdot \text{cm}^2 \cdot \text{s}^{-1}$$

$$\text{Si } hv/k_B T \ll 1 \Rightarrow u(v, T) = \frac{8\pi v^2 k_B T}{c^3} \quad (\text{Ley de Rayleigh-Jeans})$$

$$\text{Si } hv/k_B T \gg 1 \Rightarrow u(v, T) = \frac{8\pi h}{c^3} v^3 e^{-hv/k_B T} \quad (\text{Ley de Wien})$$

En 1912 el mismo Planck dedujo esta fórmula: Postuló que la energía E de cada modo normal de vibración del campo electromagnético no es una variable continua, sino que únicamente puede tomar los valores

$$E = m \hbar v \quad , \quad m = 0, 1, 2, \dots \quad (7)$$

entonces

$$\langle E(v, T) \rangle_{\text{Planck}} = \frac{\sum_{m=0}^{\infty} m \hbar v e^{-m \hbar v / k_B T}}{\sum_{m=0}^{\infty} e^{-m \hbar v / k_B T}}$$

$$\sum_{m=0}^{\infty} e^{-m \hbar v / k_B T} = \frac{1}{1 - e^{-\hbar v / k_B T}}$$

$$\sum_{m=0}^{\infty} m \hbar v e^{-m \hbar v / k_B T} = k_B T^2 \frac{d}{dT} \sum_{m=0}^{\infty} e^{-m \hbar v / k_B T} = \frac{\hbar v e^{-\hbar v / k_B T}}{(1 - e^{-\hbar v / k_B T})^2}$$

Entornos

$$\langle E(v, T) \rangle_{\text{Planck}} = k_B T \frac{hv/k_B T}{e^{hv/k_B T} - 1}$$
(1)

que multiplicada por $N(v)$ da

$$u(v, T) = \frac{8\pi v^3}{c^3} k_B T \frac{hv/k_B T}{e^{hv/k_B T} - 1}$$
(2)

1). Si $\bar{u}(\lambda, T)$ indica la densidad de energía por unidad de volumen y de λ entonces

$$\bar{u}(\lambda, T) d\lambda = u(v, T) dv, \quad \lambda = v/c$$
(3)

$$\bar{u}(\lambda, T) = \frac{16\pi^2 c h}{\lambda^5} \frac{1}{e^{2\pi hc/\lambda k_B T} - 1}$$
(4)

2) Ley de desplazamiento de Wien: A que longitud de onda λ , $\bar{u}(\lambda, T)$ presenta un máximo para una T dada

$$\frac{d\bar{u}(\lambda, T)}{d\lambda} = 0 \quad x = 5(1 - e^{-x}) \quad x = \frac{2\pi hc}{k_B T \lambda_{\max}} = 4.9651 + 4.232$$

$$\lambda_{\max} T = 0.28978 \text{ cm K} \quad (\text{Ley de desplazamiento de Wien})$$
(5)

3) Densidad total de energía por unidad de frecuencia

$$u(v) = \int_0^\infty dv u(v, T) = \frac{8\pi h}{c^3} \int_0^\infty dv \frac{v^3}{e^{hv/k_B T} - 1} = \left| x = hv/k_B T \right|$$

$$= \frac{8\pi k_B^4 T^4}{c^3 h^3} \int_0^\infty dx \frac{x^3}{e^x - 1} = \frac{8\pi k_B^4 T^4}{c^3 h^3} \frac{\pi^4}{15} \Rightarrow$$

$$u(v) = a T^4$$
(6)

$$a \equiv \frac{8\pi^5 k_B^4}{15 c^3 h^3} = 7.5657 \times 10^{-15} \text{ erg cm}^{-3} \text{ K}^{-4} \quad (\text{const. Stefan-Boltzmann})$$

4) Potencia radiada por unidad de área. Como $u(v, T)$ es la densidad de energía por unidad de frecuencia y de volumen, entonces $u(v, T)/4\pi$ es la correspondiente cantidad por unidad de ángulo sólido. Si en la parte del horizonte disponemos de un agujero de

área unitaria, irradia sobre el agujero en la dirección

$$\frac{u(v, T)}{4\pi} dv c \cos \theta d\Omega$$

y por tanto la potencia radiada es

 (θ, ϕ)

36/001

$$P(v, T) dv = \int_0^{\infty} d\omega \int_0^{n/2} d\theta \sin \theta \frac{u(v, T)}{4\pi} c \cos \theta dv \Rightarrow$$

$$P(v, T) = \frac{c}{4} u(v, T)$$

(7)

+ La potencia total radiada $I(\lambda, T)$ en unidad de área y de longitud de onda es

$$I(\lambda, T) = \frac{c}{4} u(v, T) \left| \frac{dv}{d\lambda} \right|$$

y como $c = v/\lambda$, $|dv/d\lambda| = c^2/\lambda$ obtenemos

$$I(\lambda, T) = \frac{2\pi c^2 h}{\lambda^5} e^{\frac{1}{ch(\lambda/k_B T) - 1}}$$

La potencia radiada en unidad de área es

$$I(T) = \int_0^{\infty} d\lambda I(\lambda, T) = \frac{ac}{4} T^4 \Rightarrow$$

$$I(T) = \sigma T^4$$

(ley de Boltzmann) (8)

$$\sigma = \frac{\pi^2 k_B^4}{60 c^2 h^3} = 5.67032 (71) \times 10^{-8} \text{ W m}^{-2} \text{ K}^{-4}$$

geométricas del Sol. Este es en muy buena aproximación un cuerpo negro con una luminosidad $L_{\odot} = (3.90 \pm 0.04) \times 10^{33} \text{ erg s}^{-1}$ y como $R_{\odot} = 6.96 \times 10^{10} \text{ cm} \Rightarrow$

$$I = \frac{L_{\odot}}{4\pi R_{\odot}} = 6.41 \times 10^{10} \text{ erg cm}^{-2} \text{ s}^{-1} = 6.41 \times 10^3 \text{ W m}^{-2} \text{ s}^{-1}$$

$$T_{\odot} = \left(\frac{I}{\sigma} \right)^{1/4} = 5800 \text{ K.}$$

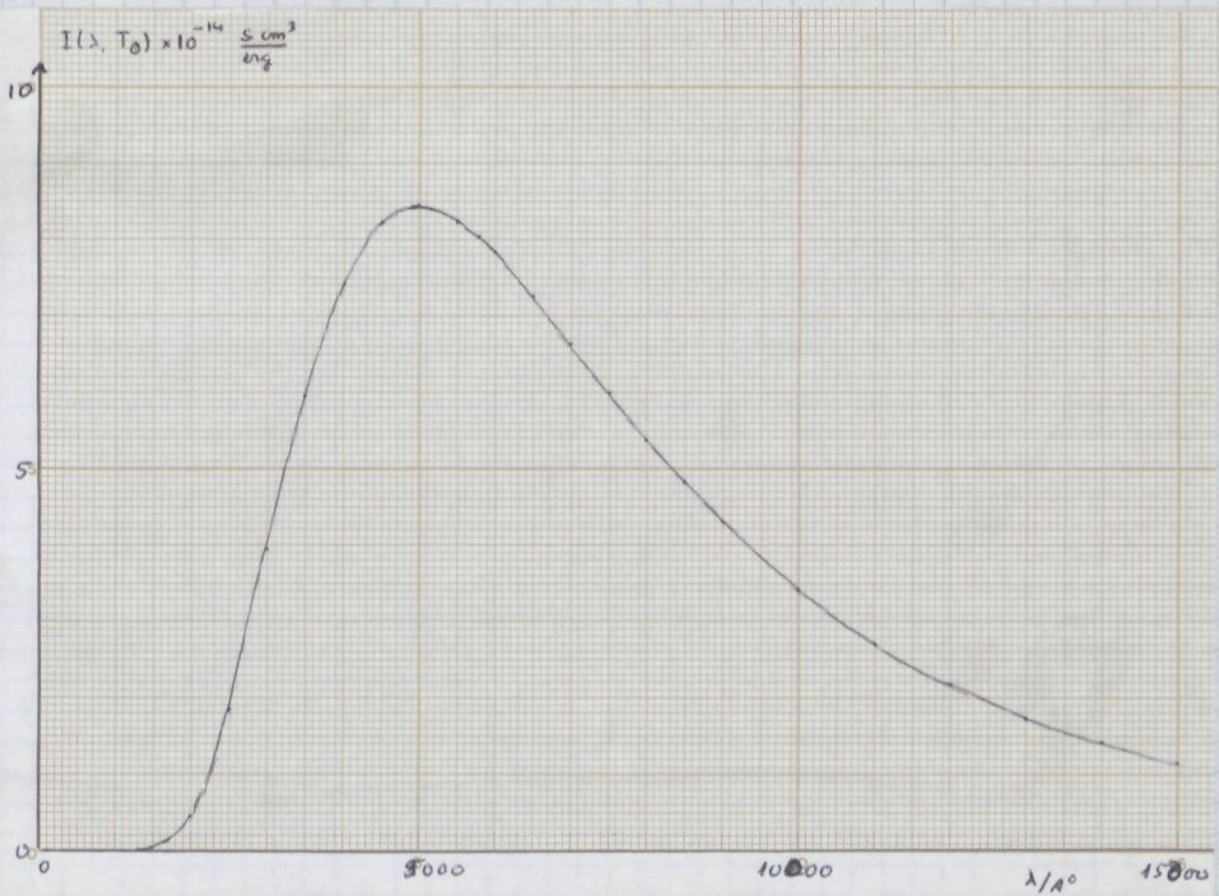
$$\lambda_{\max \odot} T_{\odot} = 0.29928 \text{ cm K} \Rightarrow \lambda_{\max \odot} = 5000 \text{ \AA}.$$

$$\frac{2\pi c^2 h}{\lambda^5} = 3.74183 \times 10^{35} \text{ erg s}^{-1} \text{ cm}^{-3} \left(\frac{\lambda}{\lambda_{\odot}} \right)^{-5}$$

$$2\pi c h / \lambda k_B T_{\odot} = 1.438286 \times 10^{18} / T_{\odot} / (\lambda / \text{\AA}) = 24807 \left(\frac{\lambda}{\lambda_{\odot}} \right)^{-1}$$

$$I(\lambda, T_{\odot}) = 3.74183 \times 10^{35} \text{ erg s}^{-1} \text{ cm}^{-3} \frac{1}{(\lambda/\text{\AA})^5} \frac{1}{e^{24807 / (\lambda/\text{\AA}) - 1}}$$

y finalmente,



Efecto Fotoeléctrico. A finales del siglo pasado y principios de este los trabajos de un gran número de físicos, entre los que merecen destacarse Hertz, Hallwachs, Stolzow y Lenard, demostraron la existencia del llamado efecto fotoeléctrico. Cuando se ilumina una placa metálica con radiación electromagnética el metal emite electrones. Las leyes empíricas que encontraron eran:

i) El número de electrones producidos es proporcional a la intensidad de la radiación incidente.

ii) Para cada metal existe una frecuencia umbral ν_0 de fórmula que para radiación con $\nu < \nu_0$ no se emiten electrones.

iii) La energía cinética máxima de los electrones emitidos es proporcional a $(\nu - \nu_0)$ e independiente de la intensidad de la radiación incidente.

iv) La emisión de electrones es prácticamente instantánea, es decir, aparece y desaparece con la radiación electromagnética sin notarse medida.

Las leyes ii) + iii) son inconciliables con una teoría ondulatoria de la luz.

En 1905 A Einstein postuló, para explicar este fenómeno, que una radiación monomótona de frecuencia ν se comporta como si constituyera de un número finito de cuantos de energía, localizados e independientes, de magnitud $E = h\nu$. Con esta hipótesis es fácil dar una explicación del efecto fotoeléctrico: Los electrones se encuentran en un metal ocupando distintos este-

dos ligados. Sea $\phi_0 > 0$, la energía de ligadura de los electrones del metal metálico ligados ($\phi_0 = \text{fuerza de trabajo del metal}$) y que en general es de unos pocos eV. Al incidir un cuanto de energía sobre el metal parte de su energía se emplea para arrancar el electrón de su estado ligado y el resto aparece como energía cinética del electrón emitido. Entonces la energía cinética máxima es $T_{\max} = h\nu - \phi_0 = h\nu - h\nu_0 = h(V - V_0)$ que corresponde al electrón más ligado. Existe entonces una frecuencia umbral $\nu_0 \equiv \phi_0/h$, la debajo de la cual es imposible arrancar electrones.

Millekam, en 1916, fue el primero que confirmó el brillante resultado de Einstein al medir h mediante experimentos de efecto fotoeléctrico y comprobar que el valor obtenido coincidía con la constante de Planck de la teoría de la radiación.

Notas

- i) La importancia de la teoría de Einstein es enorme y es necesario tener en cuenta que en la ocasión dada al concedérselo el premio Nobel, en 1922, se dice que el premio se le concede "independientemente del valor que puedan darle finalmente a sus teorías de la relatividad y de la gravedad", si son confirmadas, por sus servicios a la física teórica y especialmente por su descubrimiento de la ley del efecto fotoeléctrico".
- ii) Para darle cuenta de la revolución que suponía la idea de Einstein citase que en el escrito que Max Planck, Nernst, Rubens y Emile Warburg prepararon para el Ministerio de Educación para que Einstein pasara a ocupar una plaza en la Academia de Ciencias de Berlín, en 1913, se lee: "En resumen, se puede decir que entre los grandes problemas, tan abundantes en la física moderna, difícilmente hoy uno en el que Einstein no haya realizado alguna contribución sobresaliente. Que alguna vez él equivocara el blanco de sus especulaciones como, por ejemplo en su teoría de los cuantos de luz, no puede ser tenido realmente en cuenta contra él".

Efecto Compton: Si bien el efecto era conocido desde antes, fue Compton, en 1921, el que hizo las experimentaciones sobre este efecto y estableció las siguientes búsquedas:

- i) Al iluminar un cuanto con rayos X, además de la radiación dispersada, aparece una radiación secundaria
- ii) La longitud de onda de la radiación secundaria resulta ser independiente a la substancia usada en el experimento y depende sólo de la longitud de

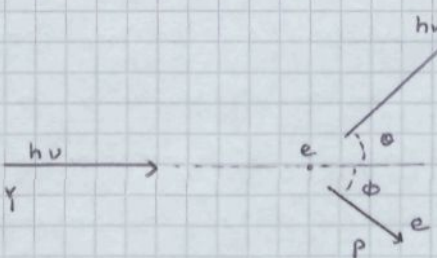
onda de la radiación incidente y del ángulo que formaban las radiaciones incidente y saliente

(ii) La longitud de onda de esta radiación secundaria es siempre igual o mayor que la de la radiación incidente.

El propio Compton intentó explicar este fenómeno en el marco de la teoría ondulatoria de la luz y al darse cuenta de que esto no era posible, recurrió a la teoría corpuscular. Supuso que no sólo la luz de frecuencia ν está formada por cuantos de energía $h\nu = E$, sino que estos cuantos tienen un momento p bien determinado.

$$E = h\nu \quad p = \frac{h\nu}{c} = \frac{h}{c} \quad (1)$$

El nombre de fotones para los cuantos de luz es debido a Lewis, en 1926. Notar que estas nomenclaturas implican que $m_p = 0$. La energía de los fotones es mucho mayor que la de los electrones para el mismo y pueden considerarse estos últimos en reposo. Compton aplicó al choque elástico electrón-fotón las leyes de conservación del momento y la energía.



$$\begin{aligned} h\nu + m_e c^2 &= h\nu' + \sqrt{m_e^2 c^4 + p^2 c^2} \\ \frac{h\nu}{c} &= \frac{h\nu'}{c} \cos\theta + p \sin\theta \\ 0 &= \frac{h\nu'}{c} \sin\theta - p \cos\theta \\ \Rightarrow \left(\frac{h\nu}{c} - \frac{h\nu'}{c} \cos\theta\right)^2 + \frac{h^2 \nu'^2}{c^2} \sin^2\theta &= p^2 \\ \Rightarrow p^2 &= \frac{h^2}{c^2} \left(\nu^2 + \nu'^2 - 2\nu\nu' \cos\theta \right) \\ (h\nu + m_e c^2 - h\nu')^2 &= m_e^2 c^4 + h^2 (\nu^2 + \nu'^2 - 2\nu\nu' \cos\theta) \\ 2m_e c^2 h (\nu - \nu') - 2h^2 \nu \nu' &= -2h^2 \nu \nu' \cos\theta \Rightarrow m_e c^2 h \left(\frac{1}{\nu'} - \frac{1}{\nu} \right) = h^2 (1 - \cos\theta) \\ \Delta\lambda \equiv \lambda' - \lambda &= \frac{h}{m_e c} (1 - \cos\theta) \geq 0 \end{aligned} \quad (2)$$

$$\frac{h}{m_e c} = 2.4263088 (40) \times 10^{-10} \text{ cm.} \quad (\text{largo de onda Compton}) \quad (3)$$

La fórmula está en perfecto acuerdo con lo experimental.

Los nucleos del material danán un $\Delta\lambda$ prácticamente inobservable pues en (3) en lugar de m_e debíamos poner la masa nuclear.

Luz onda o corpusculo? Durante muchos años el físico ha tenido como opuestas las nomenclaturas de onda y partícula y, por tanto las experiencias anteriores plan-

teaban un serio dilema en el caso de la luz. Para interpretar las experienencias clásicas de interferencia y difracción era necesario considerar el carácter ondulatorio de la radiación electromagnética, mientras que la explicación de los efectos fotoeléctrico y Compton exigían atribuir a la luz un carácter corpuscular. ¿Es la luz onda o corpusculo? La contestación a ésta pregunta pudo ser dada sólo en la segunda mitad de los años veinte gracias, principalmente, a la interpretación estadística de la mecánica cuántica desarrollada a partir del trabajo fundamental de Born de 1926 y el principio de complementariedad de Born de 1927.

Contemplemos ahora la experiencia de Young desde el punto de vista corpuscular, es decir, suponiendo que la fuente lumínosa emite fotones. Cuantitativamente, estos fotones no interactúan prácticamente entre sí y si se mide la intensidad de la onda en un determinado factor y se aumenta en el mismo el tiempo de exposición, la distribución de intensidades no cambia. Por otra parte, la evidencia experimental (por ejemplo, el efecto fotoeléctrico) apoya que el fotón se comporta como una partícula indivisible.

De acuerdo con la mentalidad clásica debíamos aceptar que los fotones tienen unas trayectorias bien definidas y debía pasar por una de las aberturas y los resultados son inexplicables. Por otra parte, hoy día se dispone de contadores de fotones, y en principio puede sustituirse la placa registradora por un marco de dichos contadores y hacerse la fuente suficientemente débil para que, al sañar un fotón de ella, el anverso ya no llegado a los contadores, se observe entonces que la llegada de un fotón queda registrada en un solo contador, que las sucesivas llegadas son escaños y que el número total de veces que el contador situado en \vec{x} registra la llegada de un fotón individual es proporcional, para un tiempo de observación suficientemente largo, a la intensidad que habíamos calculado con el modelo ondulatorio.

La interpretación estadística de la mecánica cuántica aplicada a este problema se puede formular diciendo que la amplitud de la onda luminosa $\Psi(\vec{x}; t)$, no cumple a una distribución continua de energía, sino que $|\Psi(\vec{x}; t)|^2$ mide la densidad de probabilidad de que en el instante t el fotón se halle en el punto \vec{x} . Así se logran unificar los aspectos ondulatorios y corpusculares de la luz, ninguno de los cuales proporciona una descripción completa de la realidad física, sino que son aspectos complementarios de una única realidad que se hacen más o menos patentes según el tipo de experiencia que se realice.

Para ver otro ejemplo de como el dispositivo experimental puede afectar el que la luz se manifieste como onda o como corpúsculo, consideremos ahora la experiencia de Young, colocandole dos monitores, uno detrás y en la cercanía de una de las rendijas y el otro detrás y en la cercanía de la otra. El fotón emitido por la fuente viaja una de los monitores únicamente, con lo que queda constancia de la abertura por la que lo pasó. En este caso desaparecen los fenómenos de interferencia y la intensidad de luz medida en un tiempo t en un punto de la pantalla es la que se reabriría si en se expusiera la placa con una rendija tapada un tiempo $t/2$ y con la otra tapada en tiempo $t/2$.

De todo lo dicho se puede concluir:

- La probabilidad de un suceso, resultado de un experimento, viene dada por el cuadrado del módulo de un número complejo, que se llama "amplitud de probabilidad".
- Si un suceso puede ocurrir de varias formas alternativas indistinguibles, la amplitud de probabilidad es la suma de las amplitudes de probabilidad de cada una de las alternativas.
- Si se realiza una experiencia que permite decidir cuál de las alternativas tiene lugar, la probabilidad del suceso es la suma de probabilidades de las alternativas distinguibles.

Estructura atómica. A principios del siglo XX aparecen los primeros modelos atómicos: Perrin, Nagaoka, Thomson, En 1911 Rutherford hace el análisis de la experiencia, realizada en su laboratorio, de la colisión de partículas a ion láminas delgadas de Au. Muchas de las partículas al atravesar el material s'íen prácticamente desviadas y, sorprendentemente, unas pocas eran desviadas un gran ángulo. Esto le permitió concluir que el átomo tenía un núcleo muy pequeño en el que residía toda la carga positiva y la mayor parte de la masa, alrededor del cual, y a grandes distancias, se movían de alguna forma los electrones.

Consideremos un átomo de hidrógeno: un protón y un electrón. Si queremos la mecánica clásica si la energía relativa del sistema es E (eV) el electrón describe una órbita en cuya fase se halla el protón. La frecuencia del movimiento es

$$\nu = \left(\frac{2E^{1/2}}{\mu} \right)^{1/2} \frac{1}{ne^2} \quad (1)$$

donde μ es la masa reducida del sistema. De acuerdo con la electrodinámica de

Maxwell el electrón, que está en movimiento acelerado, emite radiación compuesta por una serie de ondas mononáucleas de frecuencia igual a ν o a uno de sus armónicos. Esto hace que el electrón pierda energía y se produzca la caída hacia el núcleo en un tiempo inferior a 10^{-10} s, originándose una emisión continua de radiación.

En contra de esto se observa, que tras excitar un átomo, aparece un espectro de emisión de líneas de frecuencias bien definidas para las que empíricamente Ritz, en 1908, enunció el principio de combinación: la frecuencia de cualquier línea espectral de un elemento es expresable como la diferencia de dos términos espectrales. Para el H los términos son de la forma R/m^2 , donde R es una constante y m un número entero positivo, por lo que las frecuencias posibles son

$$\nu_{m,m} = \frac{R}{m^2} - \frac{R}{n^2} \quad m > n = 1, 2, 3, \dots \quad (2)$$

resultado totalmente imposible de comprender clásicamente. De hecho un maestro de escuela, Balmer, ya había propuesto la relación anterior para el hidrógeno en 1885.

En 1913 Niels Bohr logró dar un modelo al átomo hidrogenoide mediante una serie de hipótesis:

- i) Un átomo tiene un conjunto discreto de estados estacionarios con energías E_1, E_2, \dots
- ii) La emisión y absorción de radiación por un átomo no tiene lugar de una forma continua, como indica la electrodinámica clásica, sino sólo cuando el átomo pasa de un estado estacionario a otro
- iii) Al pasar de un estado estacionario E_i a otro E_j ($E_j < E_i$) se emite (absorbe) un fotón de energía $h\nu = |E_i - E_j|$. Esta fórmula expresa el número atómico que es despreciable.
- iv) Un electrón en un estado estacionario describe una órbita circular con movimiento gobernado por las leyes de la mecánica clásica, pero éstas no son válidas en las transiciones de un estado a otro
- v) Las órbitas estacionarias en el átomo permanecen determinadas por la condición de que el momento angular orbital del electrón sea un múltiplo entero de \hbar . Aplicaremos estas leyes a un átomo hidrogenoide de masa nuclear m y con carga nuclear $Z e$. El momento angular de las órbitas estacionarias es $\ell = m\hbar$ ($m=1, 2, \dots$) y se acuerdo con el teorema del níquel $\langle K \rangle = -\langle V \rangle / 2$. Si a es el radio de la órbita,

$$E = p_a = m \frac{\hbar}{a} \Rightarrow p = m \frac{\hbar}{a} \Rightarrow K = \frac{1}{2\mu} p^2 = \frac{\hbar^2}{2\mu a^2} m^2$$

$$V = -\frac{Ze^2}{a} \quad \text{y} \quad \text{como} \quad K = -V/2 \Rightarrow \frac{\hbar^2}{2\mu a^2} m^2 = \frac{Ze^2}{a}$$

Raíz de
Raíz de $a = \frac{\hbar}{\mu(Z\alpha c)} m^2$

(1)

Energía $E = -\frac{1}{2} \mu (Z\alpha c)^2 \frac{1}{m^2}$

(2)

Velocidad $v = (Z\alpha c) \frac{1}{m}$

(3)

Constante de estructura fina $\alpha = \frac{e^2}{\hbar c} = 1/137.03604$ (11)

(4)

El modelo de Bohr es una medida no muy deseable de métodos clásicos y populares renuentes. En realidad ya dijimos que en mecánica cuántica no es posible hablar de órbitas. La mecánica cuántica da los valores de E que se acaban de deducir, pero, como venemos, a y v indican sólo valores medios. Por otra parte m , llamado número cuántico principal, no fija el momento angular. En realidad la mecánica cuántica nos dice que un estado con número cuántico principal m puede tener electrones con momentos angulares $l/k = 0, 1, 2, \dots, m-1$.

De la expresión (2) se deduce inmediatamente el parámetro de combinación de Ritz y

$$V_{m \rightarrow n} = \frac{\mu (Z\alpha c)^2}{4\pi \hbar} \left(\frac{1}{m^2} - \frac{1}{n^2} \right), \quad m > n = 1, 2, 3, \dots$$

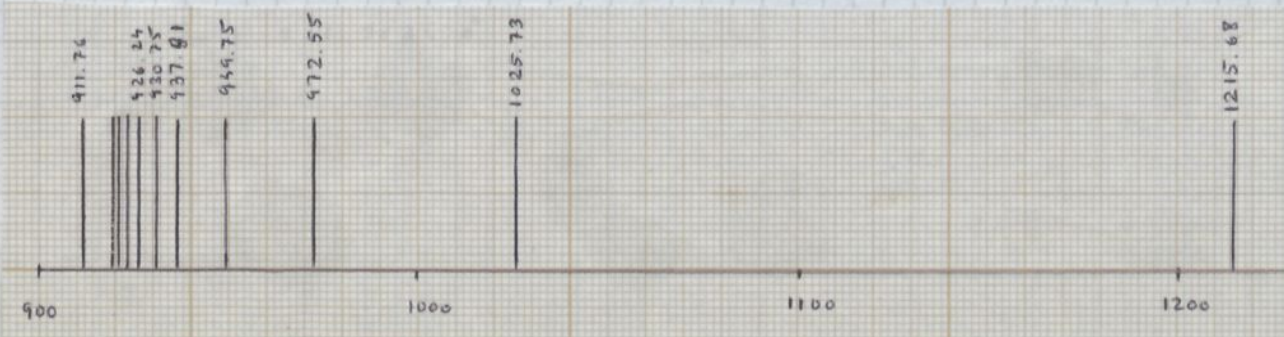
o equivalentemente

$$\lambda_{m \rightarrow n} = \frac{4\pi \hbar c}{\mu (Z\alpha c)^2} \left(\frac{1}{m^2} - \frac{1}{n^2} \right)^{-1}, \quad m > n = 1, 2, 3, \dots$$

Se tiene para el hidrógeno

$$\frac{4\pi \hbar c}{\mu (Z\alpha c)^2} = 911.7634169 \text{ Å}$$

$$m=1 \quad \text{Serie de Lyman} \quad \lambda_m = \frac{4\pi \hbar c}{\mu (Z\alpha c)^2} \left(1 - \frac{1}{m^2} \right)^{-1}, \quad m=2, 3, \dots, \quad \lambda_{\infty} = 911.76 \text{ Å}$$



Toda ella está en el ultra violeta

$n=2$ Serie de Balmer . Visible $\lambda_{3 \rightarrow 2} = 6564.70 \text{ Å}$, $\lambda_{\infty} = 3647.05 \text{ Å}$

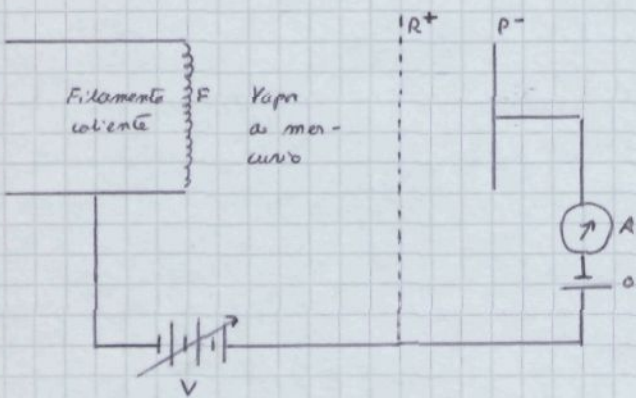
$n=3$ Serie de Paschen . Infrarrojo $\lambda_{4 \rightarrow 3} = 18756 \text{ Å}$ $\lambda_{\infty} = 8205.87 \text{ Å}$

$n=4$ Serie de Brackett . Infrarrojo $\lambda_{5 \rightarrow 4} = 40523 \text{ Å}$ $\lambda_{\infty} = 14588.1 \text{ Å}$

$n=5$ Serie de Pfund . Infrarrojo $\lambda_{6 \rightarrow 5} = 74599 \text{ Å}$ $\lambda_{\infty} = 22794.1 \text{ Å}$

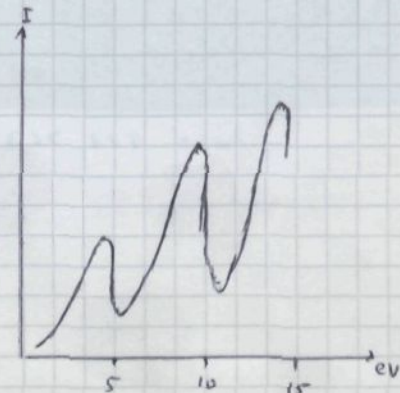
Volvemos más adelante sobre el espectro del átomo de hidrógeno. Los resultados anteriores están en buen acuerdo con los datos experimentales si se toman medidas muy precisas.

Experimento de Frank-Hertz ó la confirmación directa de los niveles emisoros. La interpretación de los espectros atómicos establecía sin lugar a dudas, pero de forma incorrecta, la existencia, en los átomos, de uno solo de niveles de energía estacionarios, de acuerdo con la hipótesis de Bohr. Fueron Frank y Hertz los que, en 1914, confirmaron directamente su existencia. El razonamiento es el siguiente:



ambiental. Siempre prácticamente todos sus átomos están en su estado fundamental pues siendo la energía cinética media del orden de $kT \approx 1/40 \text{ eV}$, los choques interatómicos no pueden producir excitaciones ya que el primer estado excitado del mercurio dista del fundamental en 4.86 eV .

Cuando V es próximo a cero, los electrones provenientes del filamento caliente F carecen de energía para llegar a la placa P-, al no poder vencer la diferencia de energía potencial entre la rejilla G y la placa P-. A medida que V aumenta, llegan más electrones a P-, y muchos de ellos habrán chocado en su camino con otros átomos de Hg sin haberles transferido prácticamente energía. Si se admite la existencia real de los estados estacionarios, es de esperar que cuando $V \approx 5 \text{ V}$, los electrones impacten a sucesivas colisiones inelásticas, dejando algún átomo en su primer estado excitado y perdiendo el electrón su energía. Se debe así observar a partir de $V \approx 5 \text{ V}$, una caída brusca de la corriente, como realmente sucede. Si se continua aumentando V los electrones, después del choque inelástico, tienen aún energía suficiente para llegar a la placa y la corriente aumentará de nuevo hasta $V \approx 10 \text{ V}$,



momento en el que los electrones podrían chocar dos veces inelásticamente y se observaría una menor caída en la intensidad de la corriente, como sucede realmente.

Reglas de cuantificación de Sommerfeld - Wilson - Ishiwara. Uno de los resultados más importantes de la primera teoría cuántica fue la generalización de la teoría de Bohr llevada a cabo por Sommerfeld (1916), Wilson (1915) e Ishiwara (1915). Vamos a empezar considerando problemas unidimensionales. Sea q la coordenada que caracteriza la posición de la partícula y p el momento conjugado a esta. Si x es una coordenada cartesianas de posición entonces $p = m\dot{x}$. Construyamos la llamada variable de acción J definida como

$$J = \oint dq p \quad (1)$$

donde la integral se extiende a un periodo. Entonces las reglas de cuantificación de S.W.I. dicen que

$$J = m \ h \quad m = \text{entero} \quad (2)$$

y esto permite calcular la energía de los niveles estacionarios.

Ejemplo 1. Sabemos que la integral de la energía se puede escribir

$$E = \frac{1}{2} M \dot{x}^2 + \frac{1}{2} M \omega^2 x^2 \quad (3)$$

y ya vimos que

$$x = \sqrt{\frac{2E}{M\omega^2}} \cos(\omega t + \alpha) \Rightarrow p = M\dot{x} = -\sqrt{2EM} \sin(\omega t + \alpha)$$

$$J = \oint dq p = \int_0^T dt 2E \sin^2(\omega t + \alpha) = \frac{2E}{\omega} \int_0^{2\pi} dz \sin^2 z = \frac{2E}{\omega} m = m \ h \rightarrow$$

$$E = \omega \hbar m \quad m=0, 1, 2, \dots \quad (4)$$

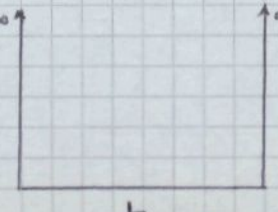
El valor deducido mediante la mecánica cuántica es

$$E = \omega \hbar (m + 1/2) \quad m=0, 1, 2, \dots \quad (5)$$

que coincide con el obtenido para $m \gg 1$. En realidad sabemos hoy día que sólo para m grande podemos creer los valores de las energías obtenidas mediante las reglas de cuantificación de S.W.I.

Ejemplo 2. Consideremos una partícula en una gafa

$$E = \frac{1}{2} M \dot{x}^2, \quad p = \sqrt{2ME}$$



$$J = \sqrt{2ME} \quad 2L = mh$$

$$E = \frac{n^2 \hbar^2}{2M L^2} \quad m^2 \quad m=1, 2, 3, \dots \quad (6)$$

que coincide, para todo m , con el visto obtenido en mecánica cuántica.

Notas

i) Si q no es una coordenada cartesianas y $K = K(q)$ y $V = V(q)$ entonces

$$p \equiv \partial K(q) / \partial q.$$

ii) El método es aplicable a sistemas multiperiodicos en general. Si entonces

q_1, q_2, \dots, q_N son las coordenadas posición y p_1, p_2, \dots, p_N los momentos conjugados entonces cada uno de los niveles

$$J_i \equiv \oint dq_i \cdot p_i \quad (7)$$

debe estar cuantificada ($= m_i \cdot h$)

iii) Al aplicar este método al átomo de hidrógeno, se obtiene que el nivel asociado con el número cuántico principal n , y cuya energía viene dada por la fórmula deducida por Bohr, le corresponden n tipos de órbitas caracterizadas por un número cuántico m_f que puede tomar los valores $1, 2, \dots, n$ y que mide, en unidades de \hbar , el momento angular. Para cada uno de ellos la órbita se puede orientar en el espacio de $(2m_f + 1)$ formas distintas. En realidad la mecánica cuántica nos dice que para un m_f dado los valores posibles del momento angular son $L/m_f = 0, 1, 2, \dots, m_f$ y que estas órbitas se pueden orientar en el espacio de $(2L+1)$ formas distintas. La degeneración del nivel n es según las reglas de DWI $n(n+1)$, mostrando que de acuerdo con la mecánica cuántica es n^2 , que es el resultado correcto, si no se tiene en cuenta el spin.

iv) Mediante estos reglas de cuantificación se pudieron atacar muchos problemas: estructura fina de los espectros de los que hablaremos más adelante, efecto Stark, ... En muchos se lograron dar explicaciones pero en otros, como por ejemplo el efecto Zeeman, se fracasó. En el caso del efecto Zeeman el fracaso es debido a que el spin del electrón sigue un papel esencial y aun no se tenía suficiente su existencia.

Ondas de materia: En el estudio del efecto Compton hemos visto que para el fotón la relación entre su momento p y su longitud de onda λ era

$$\lambda = \frac{\hbar}{p} \quad (18)$$

En 1923 Louis de Broglie, estudiando las analogías entre los fenómenos mecánicos y ondulatorios, postuló que cualquier móvil con momento p va acompañado de una onda, imposible de separar de su movimiento, y con longitud de onda dada por la expresión $\lambda = h/p$. Esto implica, como destaca el mismo de Broglie, que en circunstancias adecuadas cualquier cuerpo puede revelar su carácter ondulatorio. En 1927 Davisson y Germer confirmaron esta predicción: con electrones de 54 eV y una red de difracción formada en un cristal de níquel obtuvieron una figura de difracción correspondiente a $\lambda \approx 1.65 \text{ \AA}$, en buen acuerdo con el valor teórico $\lambda \approx 1.67 \text{ \AA}$.

La Ecavación de Schrödinger. El trabajo de De Broglie constituye uno de los puntos de partida de la mecánica cuántica. El primer problema que se planteaba era el de determinar qué ecuación de ondas regía la evolución de la onda asociada al movimiento de una partícula. Este problema fue abandonado y resuelto por Schrödinger en 1926. Encuentra que para una partícula de masa M que se movea bajo la influencia de un potencial $V(\vec{r})$, la función de onda $\Psi(\vec{r}; t)$ debía satisfacer la ecuación

$$-\frac{\hbar^2}{2M} \Delta \Psi(\vec{r}; t) + V(\vec{r}) \Psi(\vec{r}; t) = i\hbar \frac{\partial \Psi(\vec{r}; t)}{\partial t} \quad (1)$$

En general $\Psi(\vec{r}; t)$ es una función compleja y se normaliza en la forma

$$\int_{\mathbb{R}^3} d^3r |\Psi(\vec{r}; t)|^2 = 1 \quad (2)$$

Entonces $|\Psi(\vec{r}; t)|^2$, de acuerdo con Born (1926), se interpreta como la densidad de probabilidad de que en el instante t la partícula esté en \vec{r} . La función de onda $\Psi(\vec{r}; t)$ nos da el máximo conocimiento posible sobre el sistema.

Estados estacionarios: De particular interés para nosotros son los llamados estados estacionarios para los que

$$\Psi(\vec{r}; t) = \psi(\vec{r}) e^{-iEt/\hbar} \quad (3)$$

El nombre es debido a que $|\Psi(\vec{r}; t)|^2 = |\psi(\vec{r})|^2$ es independiente del tiempo. La $\psi(\vec{r})$ debe satisfacer la ecuación de ondas

$$-\frac{\hbar^2}{2M} \Delta \psi(\vec{r}) + V(\vec{r}) \psi(\vec{r}) = E \psi(\vec{r}) \quad (4)$$

Es evidente que una ecuación diferencial como la anterior no tiene determinada

su solución a no ver que se impongan unas condiciones sobre $\psi(\vec{r})$. Por ejemplo para poder lograr una interpretación de $\psi(\vec{r})$ es necesario que esta función sea de cuadrado integrable, es decir imponemos

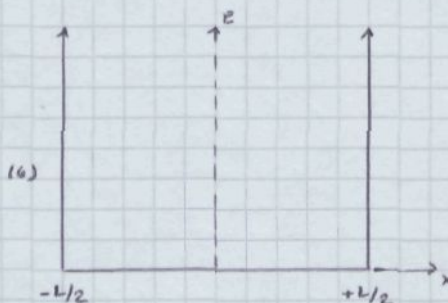
$$\int_{\mathbb{R}^3} d^3r |\psi(\vec{r})|^2 = 1 \quad (5)$$

de lo contrario la probabilidad de hallar la partícula en algún punto del espacio no sería la unidad. Esto hace que sólo para algunos valores de E la ecuación anterior tenga soluciones y estas son las energías de los estados estacionarios del sistema.

Pozo cuadrado infinito unidimensional.

$$-\frac{\hbar^2}{2M} \frac{d^2\psi(x)}{dx^2} = E \psi(x) \quad |x| \leq L/2 \quad (6)$$

$$\psi(x) \equiv 0 \quad |x| \geq L/2$$



La segunda condición corresponde a la imponibilidad

de encontrar la partícula para $|x| \geq L/2$. La solución más general de la ecuación diferencial anterior es

$$\psi(x) = A \cos \sqrt{\frac{2ME}{\hbar^2}} x + B \sin \sqrt{\frac{2ME}{\hbar^2}} x \quad (7)$$

Impongamos ahora $\psi(|x|=L/2)=0$

$$A \cos \sqrt{\frac{2ME}{\hbar^2}} \frac{L}{2} + B \sin \sqrt{\frac{2ME}{\hbar^2}} \frac{L}{2} = 0 \quad (8)$$

$$A \cos \sqrt{\frac{2ME}{\hbar^2}} \frac{L}{2} - B \sin \sqrt{\frac{2ME}{\hbar^2}} \frac{L}{2} = 0$$

que solo puede tener soluciones no nulas si el determinante de los coeficientes es nulo

$$-2 \sin \sqrt{\frac{2ME}{\hbar^2}} \frac{L}{2} \cos \sqrt{\frac{2ME}{\hbar^2}} \frac{L}{2} = 0 \Rightarrow$$

$$\sin \left(\sqrt{\frac{2ME}{\hbar^2}} \frac{L^2}{4} \right) = 0 \quad (9)$$

y tanto los únicos niveles permitidos son

$$E_m = \frac{\hbar^2 k^2}{2ML^2} m^2 \quad , \quad m = 1, 2, 3, \dots \quad (10)$$

El valor $m=0$ debe excluirse pues $\psi_0(x) \equiv 0$. ¿Cómo son las funciones de onda?

Para un dado m los niveles de A_m y B_m vienen dado por

$$\left. \begin{array}{l} A_m \cos \frac{mn}{2} + B_m \sin \frac{mn}{2} = 0 \\ A_m \cos \frac{mn}{2} - B_m \sin \frac{mn}{2} = 0 \end{array} \right\} \begin{array}{l} m \text{ par} \Rightarrow A_m = 0 \\ m \text{ impar} \Rightarrow B_m = 0 \end{array}$$
(1)

y

$$\text{si } m = \text{par} \quad \psi_m(x) = \sqrt{\frac{2}{L}} \sin \left(\frac{mn}{L} x \right)$$
(2)

$$\text{si } m = \text{impar} \quad \psi_m(x) = \sqrt{\frac{2}{L}} \cos \left(\frac{mn}{L} x \right)$$

es decir que para todo valor de m

$$\psi_m(x) = \sqrt{\frac{2}{L}} \sin \left(\frac{mn}{L} \left(x + \frac{L}{2} \right) \right) \quad m = 1, 2, \dots$$
(3)

Notar que hemos normalizado a la unidad y hemos elegido la fase global de forma arbitraria, pues solo $|\psi_m(x)|^2$ es intensidad. Vamos propiedades intensivas.

c) De las expresiones anteriores

$$\psi_m(-x) = (-i)^{m-1} \psi_m(x) \quad (4)$$

y por tanto las funciones de onda pares e impares son alternándose la simetría ($m=1$) es par.

c') Notar que $\psi_m(x)$ en el intervalo $(-L/2, L/2)$ tiene $(m-1)$ nodos., es decir la función de onda oscila más y más al crecer m .

c'') Valor medio de x

$$\langle x \rangle_m = \int_{-\infty}^{+\infty} dx \times |\psi_m(x)|^2 = 0 \quad (5)$$

pues $|\psi_m(x)|^2$ es siempre par.c'') Calculemos la incertidumbre en x

$$\begin{aligned} (\Delta x)_m^2 &\equiv \int_{-\infty}^{+\infty} dx [x - \langle x \rangle_m]^2 |\psi_m(x)|^2 = \int_{-L/2}^{L/2} dx x^2 |\psi_m(x)|^2 \\ &= \frac{2}{L} \int_{-L/2}^{+L/2} dx x^2 \sin^2 \frac{mn}{L} \left(x + \frac{L}{2} \right) = \frac{2L^2}{(mn)^3} \int_0^{mn} dz \left(z - \frac{mn}{2} \right)^2 \sin^2 z = \\ &= \frac{2L^2}{(mn)^3} \left\{ \left[\frac{z^3}{6} - \frac{z^2}{4} \sin 2z + \frac{1}{8} \sin 2z - \frac{z}{4} \cos 2z \right] - mn \left[\frac{z^2}{4} - \frac{z}{4} \sin 2z - \frac{1}{8} \cos 2z \right] \right\} \\ &+ \frac{m^2 n^2}{4} \left[\frac{z}{2} - \frac{1}{4} \sin 2z \right] \Big|_0^{mn} = \\ (\Delta x)_m^2 &= \frac{L^2}{12} \left(1 - \frac{6}{m^2 n^2} \right) \quad (6) \end{aligned}$$

v) Consideremos la situación clásica. Para un valor dado de la energía E la partícula se mueve de la una o la otra pared con velocidad constante y momento $p = \sqrt{2mE}$. La densidad de probabilidad de hallar la partícula en x es

$$P(x) = \frac{1}{L} \quad (17)$$

y de tanto

$$\langle x \rangle_{cl} = 0 \quad \langle (x)^2 \rangle_{cl} = \frac{L^2}{12} \quad (18)$$

Ambos resultados coinciden con los cuánticos en el límite n→∞, como debe suceder.

vi) Distribución de momentos. La función de onda en la representación de momentos es

$$\hat{\psi}_m(p) = \frac{1}{(2\pi\hbar)^{1/2}} \int_{-\infty}^{+\infty} dx \psi_m(x) e^{-ipx/\hbar} \quad (19)$$

y $|\hat{\psi}_m(p)|^2$ se interpreta como la densidad de probabilidad de que la partícula tenga momento p . La función definida en (19) está normalizada

$$\int_{-\infty}^{+\infty} dp |\hat{\psi}_m(p)|^2 = 1 \quad (20)$$

Procedamos a su cálculo

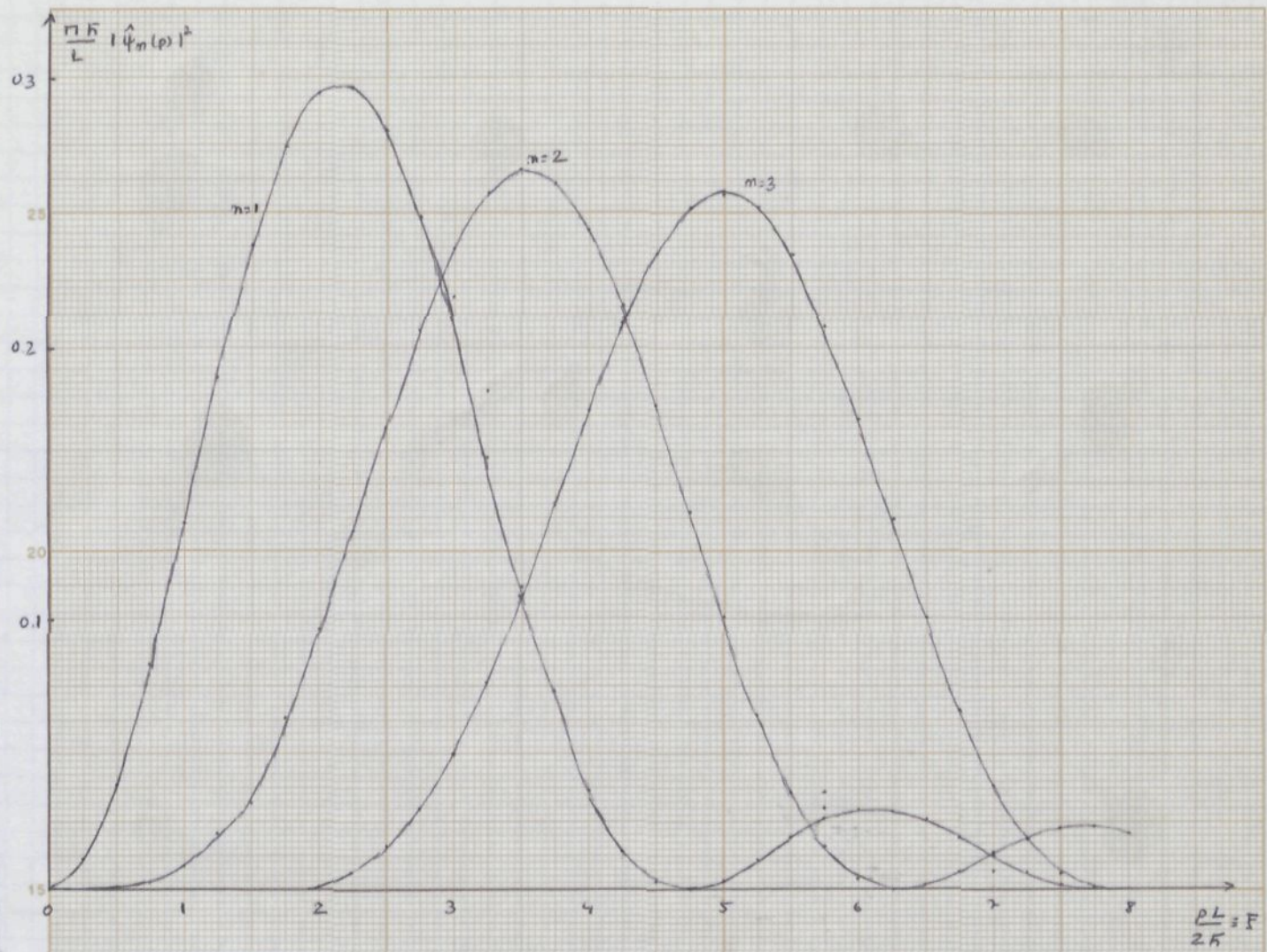
$$\begin{aligned} \hat{\psi}_m(p) &= \frac{1}{(n\hbar L)^{1/2}} \int_{-L/2}^{+L/2} dx e^{-ipx/\hbar} \sin \frac{mn}{L} (x + L/2) = \\ &= \frac{1}{2i(n\hbar L)^{1/2}} \int_{-L/2}^{L/2} dx \left\{ e^{\frac{imn}{2}} e^{-i(\frac{p}{\hbar} - \frac{mn}{L})x} - e^{-\frac{imn}{2}} e^{-i(\frac{p}{\hbar} + \frac{mn}{L})x} \right\} = \\ &= -\frac{i}{(n\hbar L)^{1/2}} \left\{ \frac{e^{imn/2}}{(p/\hbar - mn/L)} \sin \left(\frac{p}{\hbar} - \frac{mn}{L} \right) \frac{L}{2} + \frac{e^{-imn/2}}{(p/\hbar + mn/L)} \sin \left(\frac{p}{\hbar} + \frac{mn}{L} \right) \frac{L}{2} \right\} \\ &= -\frac{i}{(n\hbar L)^{1/2}} \left\{ \frac{1}{(p/\hbar - mn/L)} + \frac{1}{(p/\hbar + mn/L)} \right\} \left\{ \cos^2 \frac{mn}{2} \sin \frac{pL}{2\hbar} - i \sin^2 \frac{mn}{2} \cos \frac{pL}{2\hbar} \right\} \\ &= -\frac{i}{(n\hbar L)^{1/2}} \frac{2p\hbar}{p^2 - \frac{m^2 n^2 \hbar^2}{L^2}} \left\{ \cos^2 \frac{mn}{2} \sin \frac{pL}{2\hbar} - i \sin^2 \frac{mn}{2} \cos \frac{pL}{2\hbar} \right\} \Rightarrow \end{aligned}$$

$m = \text{ímpar}$

$$\hat{\psi}_m(p) = -\frac{1}{(n\hbar L)^{1/2}} \frac{2p\hbar}{p^2 - \frac{m^2 n^2 \hbar^2}{L^2}} \cos \frac{pL}{2\hbar} \quad (21)$$

$m = \text{par}$

$$\hat{\psi}_m(p) = -\frac{i}{(n\hbar L)^{1/2}} \frac{2p\hbar}{p^2 - \frac{m^2 n^2 \hbar^2}{L^2}} \sin \frac{pL}{2\hbar}$$



$$\text{Maxima} \quad F = \frac{mn}{2} (1+\delta) \quad F^2 - \frac{m^2 n^2}{4} = 2\delta (1 + \frac{1}{2}\delta)$$

$$\frac{\frac{F^2}{(F^2 - m^2 n^2/4)^2}}{=} = \frac{m^2 n^2}{16} \frac{1}{\delta^2} \left(\frac{1+\delta}{1+\delta/2} \right)^2 = \frac{m^2 n^2}{16} \frac{1}{\delta^2} \left(1 + \delta - \frac{1}{4} \delta^2 + \dots \right)$$

$$\frac{\pi^2 m^2 F^2}{2} \delta = \frac{\pi^2 m^2}{2} \delta^2 \left(1 - \frac{\pi^2 m^2}{12} \delta^2 \right)$$

$$\frac{m\hbar}{L} |\hat{\psi}(p)|^2 \approx \frac{1}{4} \left(1 + \delta - \left(\frac{1}{4} + \frac{\pi^2 m^2}{12} \right) \delta^2 + \dots \right) \Rightarrow \delta = \frac{6}{3 + m^2 n^2}$$

$$\left(\frac{pL}{2h} \right)_{\max} = \frac{mn}{2} \left(1 + \frac{6}{3 + m^2 n^2} + \dots \right) \quad (1)$$

$$\left. \frac{m\hbar}{L} |\hat{\psi}(p)|^2 \right|_{\delta = \delta_{\max}} = \frac{1}{4} \left\{ 1 + \frac{6}{3 + m^2 n^2} + \dots \right\} \quad (2)$$

$$(\Delta p)_m^2 \approx \frac{4\pi^2}{L^2} \hbar^2$$

(1)

(2)

(3)

Atmos hidrogenoides. La resolución de la ecuación de Schrödinger da para los niveles energéticos

$$E_m = -\frac{1}{2} \mu (Z\alpha c)^2 \frac{1}{m^2} \quad m = 1, 2, 3, \dots \quad (4)$$

De aquí la energía de ligadura para el estado fundamental es

$$B = \frac{\mu}{m_e} 13.605804 \text{ eV.} \quad (5)$$

$$\frac{\mu}{m_e} = \frac{m_p}{1 + m_e/m_p} = 0.999455679$$

Se puede probar que para un m dado existen m^2 soluciones distintas de la ecuación de Schrödinger que se suelen indicar por

$$\Psi_{nem}(\vec{r})$$

(6)

n = número cuántico principal, ℓ = momento angular en unidades de $\hbar = 0, 1, 2, \dots$

m = tercera componente del momento angular en unidades de $\hbar = -\ell, -\ell+1, \dots, \ell-1, \ell$. Para los niveles más bajos

$$m=1 \quad \Psi_{100}(\vec{r}) = (ra^3)^{-1/2} e^{-r/a}$$

$$m=2 \quad \Psi_{200}(\vec{r}) = \frac{1}{2} (2ra^3)^{-1/2} e^{-r/2a} \left(1 - \frac{r}{2a}\right)$$

$$\Psi_{211}(\vec{r}) = -\frac{1}{8} (ra^3)^{-1/2} e^{-r/2a} \frac{r}{a} \sin\theta e^{i\phi}, \quad \Psi_{21-1} = -\Psi_{211}^* \quad (7)$$

$$\Psi_{210}(\vec{r}) = \frac{1}{4} (2ra^3)^{-1/2} e^{-r/2a} \frac{r}{a} \cos\theta$$

$$a \equiv \hbar / \mu (Z\alpha c)$$

i) La densidad de probabilidad de hallar el electrón en r es

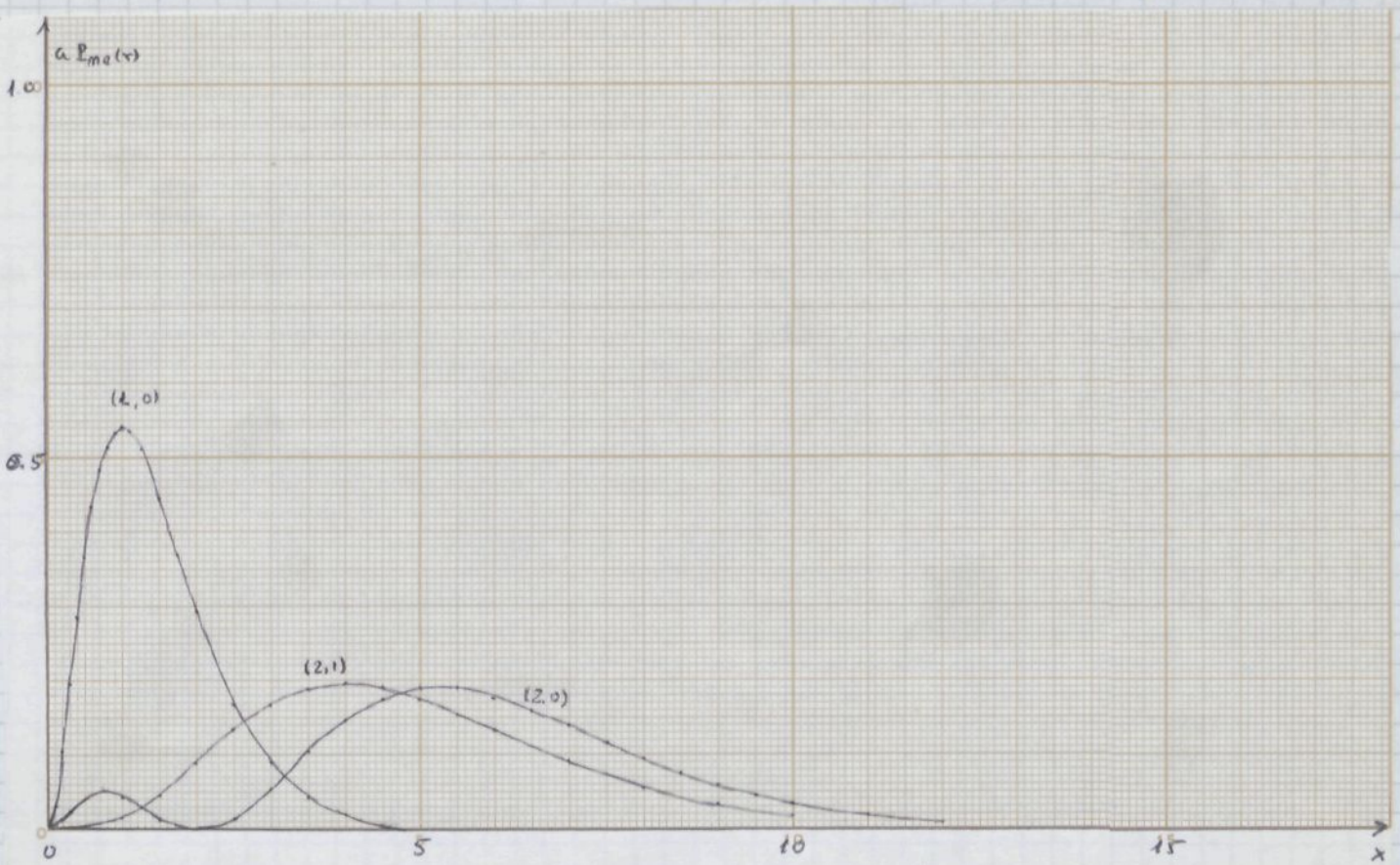
$$P_{nem}(r) = \int d\Omega r^2 |\Psi_{nem}(\vec{r})|^2 = P_{me}(r)$$

$$a P_{10}(r) = 4x^2 e^{-2x}$$

$$a P_{20}(r) = \frac{1}{2} \left(1 - \frac{x}{2}\right)^2 x^2 e^{-x}$$

$$a P_{21}(r) = \frac{1}{24} x^4 e^{-x}$$

$$x \equiv r/a.$$



Se puede probar que

$$\langle r \rangle_{n,n-1} = (2n+1) \frac{n a}{2} = n^2 a \left(1 + \frac{1}{2n}\right)$$
(1)

$$(Dr)_{n,n-1} = (2n+1)^{1/2} \frac{n a}{2}$$

Lo cual permite afirmar que para $n \gg 1$ las correspondientes funciones de onda se encuentran sobre una cota esférica de radio $n^2 a$ y espesor despreciable frente al mismo, es decir estamos en el límite clásico.

(ii) La probabilidad de encontrar la partícula en la dirección (θ, ϕ) es

$$P_{nlm}(\Omega) = \int_0^\infty ar^2 |\Psi_{nlm}(r)|^2 = |Y_e^m(\Omega)|^2$$
(2)

entonces

$$P_{1,00}(\Omega) = \frac{1}{4\pi}, \quad P_{2,00}(\Omega) = \frac{1}{4\pi}$$
(3)

$$P_{2,11}(\Omega) = P_{2,-1}(\Omega) = \frac{3}{8\pi} \sin^2 \theta, \quad P_{2,10}(\Omega) = \frac{3}{4\pi} \cos^2 \theta$$
(3)

Especro del átomo de hidrógeno.

Según la ecuación de Schrödinger

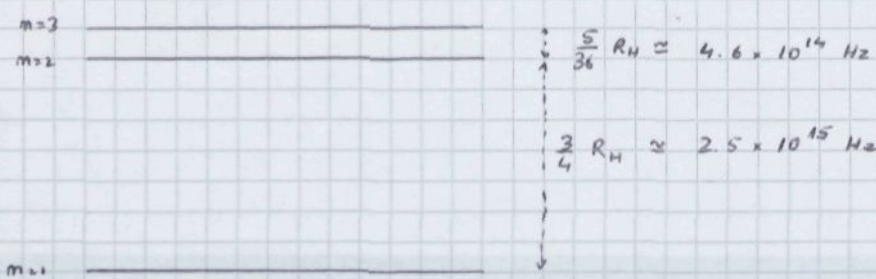
$$E_m = -\frac{1}{2} \mu (Z\alpha c)^2 \frac{1}{m^2} \quad (4)$$

y

$$\nu_{m \rightarrow m'} = \frac{\mu (Z\alpha c)^2}{4\pi \hbar} \left(\frac{1}{m'^2} - \frac{1}{m^2} \right) \quad m > m = 1, 2, 3, \dots \quad (5)$$

$$R_H = \frac{\mu (Z\alpha c)^2}{4\pi \hbar} = Z^2 \frac{\mu}{m_e} \frac{m_e (Z\alpha c)^2}{4\pi \hbar} = Z^2 \frac{\mu}{m_e} 3.289842 (25) \times 10^{15} \text{ Hz} \quad (6)$$

y R_H es la llamada constante de Rydberg



¿Son importantes las correcciones relativistas? Notemos

$$\langle K \rangle_{mem} = -\frac{1}{2} \langle V \rangle_{mem} \quad E_m = \langle K \rangle_{mem} + \langle V \rangle_{mem} = -\langle K \rangle_{mem}$$

$$\langle K \rangle_{mem} = \frac{1}{2} \mu (Z\alpha c)^2 \frac{1}{m^2}$$

$$\langle r^2/c^2 \rangle_{mem} = \frac{Z^2 \alpha^3}{m^2} \quad (7)$$

Son pequeñas pero no despreciables y son tanto más importantes cuanto más alto sea Z y menor m . Si se hace la corrección relativista entonces se encuentra para $Z=1$

$$E_{mj} = E_m \left\{ 1 + \frac{\alpha^2}{m} \left(\frac{1}{j+1/2} - \frac{3}{4m} \right) \right\} \quad (8)$$

$$j = l - 1/2 \text{ o } l + 1/2 \quad \text{excepto } \text{ si } l=0 \Rightarrow j=1/2$$

Notan que $\left(\frac{1}{j+1/2} - \frac{3}{4m} \right) > \left(\frac{1}{(m-1)+1/2+1/2} - \frac{3}{4m} \right) = \frac{1}{4m} > 0$ y por tanto las correcciones relativistas tienden a bajar más los niveles. Notan que en orden de mas a menos ligados y usando la notación m_f los niveles son

$$1s_{1/2}; 2s_{1/2} \equiv 2p_{1/2}, 2p_{3/2}; 3s_{1/2} = 3p_{1/2}, 3p_{3/2} = 3d_{3/2}, 3d_{5/2}; \dots$$

El nivel de número cuántico principal n se divide ahora en m niveles y ésta es la llamada estructura fina del espectro.

Nivel $m=1$ no se desdobra y disminuye su energía en $|E_1| \frac{\alpha^2}{4}$

Nivel $m=2$ se desdobra en dos niveles

$$2S_{1/2} = 2P_{1/2} \text{ cuya energía disminuye en } |E_1| \frac{\alpha^2}{64}$$

$$2P_{3/2} \quad " \quad " \quad " \quad " \quad |E_1| \frac{\alpha^2}{64}$$

$$\text{La frecuencia de esta transición es } R_H \frac{\alpha^2}{16} = 1.1 \times 10^{10} \text{ Hz}$$

Nivel $m=3$ se desdobra en tres niveles

$$3S_{1/2} = 3P_{1/2} \text{ cuya energía disminuye en } |E_1| \frac{\alpha^2}{36} \quad \left. \begin{array}{l} \\ \end{array} \right\} \nu = R_H \frac{\alpha^2}{55} = 3.2 \times 10^9 \text{ Hz}$$

$$3P_{3/2} = 3D_{3/2} \quad " \quad " \quad " \quad " \quad |E_1| \frac{\alpha^2}{108}$$

$$3D_{5/2} \quad " \quad " \quad " \quad " \quad |E_1| \frac{\alpha^2}{324} \quad \left. \begin{array}{l} \\ \end{array} \right\} \nu = R_H \frac{\alpha^2}{162} = 1.1 \times 10^9 \text{ Hz.}$$

En realidad estos tres niveles como el $2S_{1/2}$ y el $2P_{1/2}$ tampoco están degenerados en energía y se encuentra experimentalmente que

$$\Delta E = 2S_{1/2} - 2P_{1/2} = 1057.90 (0.06) \times 10^6 \text{ Hz.} \quad (1)$$

La electrodinámica cuántica permite calcular esto separadamente y da

$$(\Delta E)_D = 1057.911 (12) \times 10^6 \text{ Hz.} \quad (2)$$

en perfecto acuerdo con el dato experimental. Este es el llamado efecto Lombr.

Existe también la llamada estructura hiperfina. Según lo dicho hasta ahora el estado fundamental del átomo de hidrógeno es el $1S_{1/2}$. En realidad la situación es más compleja pues el electrón tiene un momento magnético que interacciona con el del protón y el estado se desdobra en dos estados que forman la estructura hiperfina del espectro. La diferencia de energías es

$$\nu_{hfs} = \frac{E_C - E_S}{h} = 1420.505 751 786 4 (17) \times 10^6 \text{ Hz.} \quad (3)$$

que es la cantidad mejor medida de toda la física. La longitud de onda correspondiente a esta transición es $\lambda_{hfs} = 21.11 \text{ nm.}$ y juega un papel extraordinariamente importante en astrofísica. Teóricamente solo sabemos calcular las primeras cifras de esta cantidad, debido a nuestro desconocimiento de la estructura del protón y sus interacciones.

36/001

Espectro de emisión. Con esta gran proliferación de niveles podrán aparecer muchas líneas. Veamos lo que sucede tomando como ejemplo el Hidrógeno. Tengamos en cuenta

$$R_H = \frac{\mu (ac)^2}{4\pi^2} = 3.288.051 (25) \times 10^{15} \text{ Hz.} \quad (4)$$

Consideremos la transición $m=3 \rightarrow m=2$. En la teoría de Schrödinger la frecuencia es

$$\nu_{3 \rightarrow 2} = \frac{5}{36} R_H = 4.566.738. (25) \times 10^{14} \text{ Hz} \quad (5)$$

La estructura fina desdobra las líneas simples

 $m=3$

$$\begin{aligned} & 3d_{5/2} \quad E_{3d_{5/2}} = -R_H \frac{1}{9} \left(1 + \frac{1}{36} \alpha^2\right) \\ & 3p_{3/2} = 3d_{3/2} \quad E_{3p_{3/2}} = -R_H \frac{1}{9} \left(1 + \frac{1}{12} \alpha^2\right) \\ & 3p_{1/2} = 3p_{1/2} \quad E_{3p_{1/2}} = -R_H \frac{1}{9} \left(1 + \frac{1}{4} \alpha^2\right) \end{aligned} \quad (6)$$

 $m=2$

$$\begin{aligned} & 2p_{3/2} \quad E_{2p_{3/2}} = -R_H \frac{1}{4} \left(1 + \frac{1}{16} \alpha^2\right) \\ & 2s_{1/2} = 2p_{1/2} \quad E_{2s_{1/2}} = -R_H \frac{1}{4} \left(1 + \frac{5}{16} \alpha^2\right) \end{aligned}$$

En principio parece que pueden existir en lugar de la una única $3 \times 2 = 6$ líneas cercanas a ella y en su lugar. En realidad la $3d_{5/2} \rightarrow 2s_{1/2}$ tiene lugar con una probabilidad muy baja y por tanto es difícil de observar y lo desaparecen otras. Las otras cinco líneas tienen probabilidades de transición similares y por tanto, en principio, son observables. Teniendo en cuenta que $\alpha^2 R_H = 1.750.931 (13) \times 10^{11} \text{ Hz}$.

$$\nu(3d_{5/2} \rightarrow 2p_{3/2}) = \nu_{3 \rightarrow 2} + \frac{65}{5184} R_H \alpha^2 = \nu_{3 \rightarrow 2} + 2195.42 \text{ MH.}$$

$$\nu(3p_{3/2} \rightarrow 2p_{3/2}) = \nu_{3 \rightarrow 2} + \frac{33}{5184} R_H \alpha^2 = \nu_{3 \rightarrow 2} + 1114.60 \text{ MH}$$

$$\nu(3p_{1/2} \rightarrow 2p_{3/2}) = \nu_{3 \rightarrow 2} + \frac{357}{5184} R_H \alpha^2 = \nu_{3 \rightarrow 2} + 12057.8 \text{ MH} \quad (7)$$

$$\nu(3s_{1/2} \rightarrow 2p_{3/2}) = \nu_{3 \rightarrow 2} - \frac{63}{5184} R_H \alpha^2 = \nu_{3 \rightarrow 2} - 2127.87 \text{ MH}$$

$$\nu(3s_{1/2} \rightarrow 2s_{1/2}) = \nu_{3 \rightarrow 2} + \frac{261}{5184} R_H \alpha^2 = \nu_{3 \rightarrow 2} + 8825.06 \text{ MH}$$

Vemos pues que la nube original se divide en cinco rayos muy cercanos (sus longitudes de onda difieren en decimas de \AA). En realidad tendríamos que considerar el efecto Lamb y la estructura hyperfina, pero las reglas de selección actúan de forma que quedan solo 5 rayos. En la práctica no es posible observar estos cinco rayos:

- i) Las líneas tienen una anchura natural $\Delta E \approx h/c \Rightarrow \Delta\nu \approx 1/2\pi c$ y $c \approx 10^8 \text{ s}$ entonces $\Delta\nu \approx 2 \text{ MH}$ y por tanto no es importante.

ii) Efecto Doppler: El gas que emite luz se encuentra a una temperatura T y teniendo la velocidad media de los moléculas es $\langle v \rangle = \sqrt{3k_B T / M} \Rightarrow \langle v \rangle = 1.57 \times 10^4 \text{ cm s}^{-1} / \sqrt{T}$ y si $T = 300 \text{ K}$ entonces $\langle v \rangle = 2.73 \times 10^5 \text{ cm s}^{-1}$. Entonces el ensanchamiento de las líneas producido por efecto Doppler es

$$\frac{\Delta \lambda}{\lambda} \approx 2 \frac{\langle v \rangle}{c} \Rightarrow \frac{\Delta v}{v} \approx 2 \frac{\langle v \rangle}{c} =$$

$$\Delta v = 1.8 \times 10^{-5} v = 8000 \text{ MHz}$$

(1)

No hay esperanza de separar las rayas a temperatura ambiente. En condiciones de observación muy favorables se tiene claramente dos o tres de las cinco rayas.

Efecto Stark: Volvamos a la ecuación de Schrödinger para el átomo de hidrógeno.

Hemos visto que para un nivel energético dado E_m existían m^2 funciones de onda independientes Ψ_{mnl} , sin tener en cuenta el spin. ¿Por qué hay esta degeneración?

Ya dijimos que ℓ era el momento angular y m su tercera componente. Es evidente que para todo potencial central $V(r)$ los valores propios deben ser $E(m, \ell)$ pues no hay ninguna dirección privilegiada en el espacio. En el átomo de hidrógeno aparece la llamada degeneración accidental que hace que $E(m, \ell)$ no dependa de ℓ . Supongamos que introducimos el átomo de hidrógeno en un campo eléctrico E constante y uniforme. En este momento es lógico esperar que se rompa la degeneración pues se hay una dirección privilegiada en el espacio. Se puede probar que el nivel E_m se rompe en $(2m+1)$ niveles cuyas energías, para campos débiles, vienen dadas por

$$E_{m,n} = -\frac{1}{2} \mu (Z\alpha c)^2 \frac{1}{m^2} \left\{ 1 + \frac{3e\hbar m^3 E}{\mu^2 (Z\alpha c)^3} n \right\}$$

(2)

$$n = 0, \pm 1, \pm 2, \dots, \pm (m-1)$$

Notese que el nivel con $n=0$ coincide con el original y los restantes $2(m-1)$ están distribuidos simétricamente alrededor de él y son equidistantes. Notar que

$$\frac{3e\hbar E}{\mu^2 (Z\alpha c)^3} = 5.840380(56) \times 10^{-10} [E / \text{Volt}/\text{cm}]$$

$$E_{m,n} = -\frac{1}{2} \mu (Z\alpha c)^2 \frac{1}{m^2} \left\{ 1 + 5.840380(56) \times 10^{-10} \frac{n^3 k}{Z^3} (E \text{ V/cm}) \right\}$$

(3)

Este es el efecto Stark y la expresión (2) puede deducirse de la ecuación de Schrödinger usando teoría de perturbaciones. En realidad también se deduce usando las reglas de cuantificación de SIE.

Efecto Zeeman: También es de esperar que se produzcan desdoblamientos en el rocio de un ótomo de hidrógeno en el seno de un campo magnético constante y uniforme \vec{B} . La vieja teoría clásica, es decir las reglas de cuantificación de SWI, predicen un valor desdoblamiento que en ocasiones no coincide con los hechos experimentales. Tanto poco la ecuación de Schrödinger permite explicar los datos experimentales. En 1925, Pauli sugirió la introducción de un valor grado de libertad para el electron; el spin. Esta idea de Pauli fue recogida inmediatamente por Uhlenbeck y Goudsmit en su teoría del spin del electron. ¿Por qué fallaba la teoría clásica? Recuérdense que una espina de momento de intensidad I produce un dipolo magnético

$$\vec{\mu} = \frac{I}{c} \vec{A} \quad (4)$$

donde $|I\vec{A}|$ es el área de la espina y la dirección a \vec{A} es perpendicular a la espina, que suponemos plana y ligada al sentido de I por la regla del tornillo. Consideremos el modelo de Bohr con orbitas circulares de radio a_m

$$I_m = \frac{e}{\text{periodo}} = \frac{e}{2\pi a_m} \quad n_m = \frac{e}{2\pi a_m} \frac{p_m}{m_e} \quad |I\vec{A}| = \pi a_m^2$$

$$|I\vec{p}| = \frac{e}{2\pi a_m} \frac{p_m}{m_e} \frac{1}{c} \pi a_m^2 = \frac{e}{2m_e c} p_m a_m = \frac{e}{2m_e c} n \hbar = \frac{e}{2m_e c} L$$

$$\vec{\mu} = \frac{e}{2m_e c} \vec{L} \quad (5)$$

y la interacción con un campo magnético \vec{B} de una energía

$$U = -\vec{\mu} \cdot \vec{B} = -\frac{e}{2m_e c} \vec{B} \cdot \vec{L} \quad (6)$$

Si \vec{S} denota el momento angular de spin entonces la interacción viene dada por

$$U = -\frac{e}{2m_e c} (\vec{L} + g \vec{S}) \cdot \vec{B} \quad (7)$$

$$\left(\frac{g}{2}\right)_{\text{exp}} = 1.001 \ 159 \ 652 \ 209 \ (81)$$

la electrodinámica cuántica y efectos de otras interacciones dan

$$\left(\frac{g}{2}\right)_{\text{th}} = 1.001 \ 159 \ 652 \ 460 \ (127)$$

Atómos en general: Evidentemente el problema de un núcleo central de carga Z_{el} rodeado por Z electrones atraidos por el núcleo y que se repelen entre sí, es un problema demasiado complejo para que pueda ser resuelto exactamente, incluso si $Z = 2$. Sin embargo hay técnicas ~~aproximadas~~ y en algunas cosas extraordinariamente sofisticadas para calcular los niveles energéticos de los átomos. En general sobre cada electrón actúa un potencial medio $V(r)$ debido al núcleo central y al aportamiento de los otros electrones. No toda la repulsión electrostática entre los electrones se puede simular con un $V(r)$, pero despreciando esta interacción residual, aparecen una serie de niveles E_m $m = 1, 2, 3, \dots$, $l = 0, 1, 2, \dots m-1$ que se ordenan según las leyes

i) $m+l$ en orden creciente

ii) para $m+l$ dado en orden de m crecientes

Si usamos la nomenclatura habitual $l = 0, 1, 2, 3, 4, 5, \dots$

s, p, d, f, g, h ...

(1)

entonces

Capa	1s ;	2s, 2p ;	3s, 3p ;	4s, 3d, 4p ;	5s, 4d, 5p ;	
$n+l$	1	2 3	3 4	4 5 5	5 6 6	
electrones	2	2 6	2 6	2 10 6	2 10 6	
Total	2	8	8	18	18	
Z	2	10	18	36	54	

6s, 4f, 5d, 6p ; 7s, 5f, 6d, 7p

(2)

6 7 7 7 7 8 8 8

2 14 10 6 2 14 10 6

32

86

118

Los ; indican que entre ciertos niveles energéticos hay un gran gap y los Z que tienen estos capas corresponden a los llamados gases nobles He, Ne, Ar, Kr, X, Rn, que son extraordinariamente estables. A medida que Z aumenta se van colocando los nuevos electrones en la capa de energía menor que no está llena. Hay algunas anomalías a este ley

	4s	3d	5s	4d	5s	4d		
Cr	1	5	Nb	1	4	Rh	1	8
Cu	1	10	Mo	1	5	Pd	0	10
			Tc	1	6	Pt	4	10
			Ru	1	7			

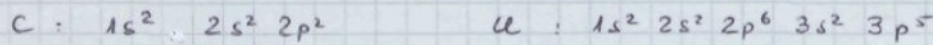
36/601

	4f	5d
La	0	1
Yd	7	1

	6s	4f	5d
Pt	1	14	9
Au	1	14	10

la mayor parte de las anomalías se dan en los elementos raras y en los elementos transuranios no considerados aquí.

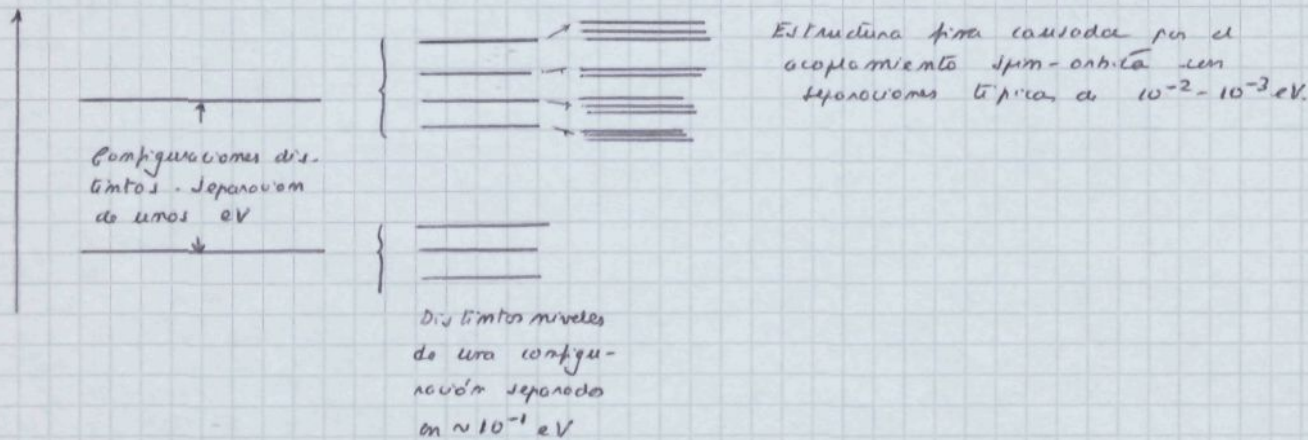
Cuando se da la descripción de un estado mediante el número de electrones de cada capa se acostumbra a decir que se da su configuración.



Una determinada configuración es, en general, altamente degenerada. Por ejemplo, como en el nivel $2p$ caben 6 electrones la degeneración de la configuración del C es 15. Esto sería todo si no existiera la interacción residual que da origen a dos tipos de términos.

- i) La repulsión electrostática entre los electrones
- ii) El acoplamiento spin-orbita.

En átomos ligeros i) es la más importante y se obtienen especies de la forma



1. Calcular el momento que deberían tener los electrones para asegurar que pueden permanecer confinados dentro de los nucleos, como se suponía en modelos atómicos anteriores al descubrimiento del neutrón. ¿A qué energía corresponde este momento?
-

$$\Delta p \approx \frac{\hbar}{2(2R)} \quad \text{siendo } R \text{ el radio nuclear } R \approx 2 \text{ fm.}$$

$$c \Delta p = \frac{\hbar c}{4R} \quad \frac{197.3 \text{ MeV fm}}{4 \text{ fm}} \Rightarrow \Delta p = 49 \text{ MeV/c}$$

Como $c \Delta p \gg m_e c^2 \Rightarrow \Delta E \approx 49 \text{ MeV}$

Este era uno de los grandes problemas, pues es prácticamente imposible hallar una fuerza con la que se logre esto.

2. La densidad de probabilidad de encontrar un electrón en el punto \vec{r} en el estado $2s$ del átomo de hidrógeno es

$$P(\vec{r}) = \frac{1}{8\pi a^3} \left(1 - \frac{r}{2a} \right)^2 e^{-r/a}, \quad a = \frac{\hbar}{m_e c}$$

Hallar la densidad de probabilidad $P(r)$ que el electrón esté a una distancia r del origen. Hallar los máximos y mínimos de $P(r)$.

$$P(r) = \frac{1}{2} \frac{1}{a} \left(\frac{r}{a} \right)^2 \left(1 - \frac{1}{2} \frac{r}{a} \right)^2 e^{-r/a}$$

$$x \equiv r/a \quad S(x) \equiv a P(r) \quad S(x) = \frac{1}{2} x^2 (1-x)^2 e^{-x}$$

$$\frac{dS(x)}{dx} = x \left(1 - \frac{x}{2} \right) \left(1 - \frac{3}{2}x + \frac{1}{4}x^2 \right) e^{-x} = 0$$

$$x=0 \quad \text{mínimo} \quad S=0$$

$$x=2 \quad \text{máximo} \quad S=0$$

$$x=\infty \quad \text{mínimo} \quad S=0$$

$$x = 3 \pm \sqrt{5} \quad \text{máximos} \quad S_{\pm} = 1.3089$$

$$S_{-} = 0.0076$$

- 3.- En un cuerpo negro la densidad de energía por unidad de volumen y de frecuencia es

$$u(v, T) = \frac{8\pi v^2}{c^3} k_B T \frac{\hbar v / k_B T}{e^{\hbar v / k_B T} - 1}$$

36/001

Calcular el número de fotones por unidad de volumen y su energía media. Notar que

$$\int_0^{\infty} ax \cdot x^2 \frac{1}{e^x - 1} = 25(3)$$

$$5(3) = \sum_{n=1}^{\infty} \frac{1}{n^3} = 1.202056903 \dots$$

El número de fotones por unidad de volumen es

$$N(T) = \int_0^{\infty} dv \frac{u(v, T)}{hv} : \int_0^{\infty} dv \frac{8\pi v^2}{c^3} \frac{1}{e^{hv/k_B T} - 1} = \frac{1}{n^2} \left(\frac{k_B T}{hc} \right)^3 \int_0^{\infty} dx \frac{x^2}{e^x - 1} =$$
$$= \frac{25(3)}{n^2} \left(\frac{k_B T}{hc} \right)^3 = 20.2865(20) \left(\frac{T}{1K} \right)^3 \text{ fotones/cm}^3$$

La energía por unidad de volumen es

$$u(T) = \frac{n^2}{15} \frac{k_B^4}{c^3 h^3} T^4$$

y tanto la energía media es

$$E_m = \frac{n^4}{305(3)} k_B T = 2.327700(76) \times 10^{-4} \text{ eV} \left(\frac{T}{1K} \right)$$

4. Hawking ha demostrado que los agujeros negros no son totalmente negros pues debido a efectos cuánticos emiten fotones como un cuerpo negro a una temperatura

$$T = \frac{1}{8\pi} \frac{\hbar c^3}{GMk_B}$$

Esto significa que los agujeros negros se evaporan. Calcular el tiempo que tarda en desaparecer

Notar que

$$T = 1.22733(76) \times 10^{26} \frac{g}{M} K$$

Notar que T aumenta a medida que el agujero se va evaporando. Su radio se puede estimar

$$t = \frac{MC^2}{\text{Luminosidad}} = \frac{MC^2}{(R_{\text{radio}}) \sigma T^4} =$$

$$= MC^2 \frac{1}{\frac{16\pi G^2 M^2}{C^4}} + \frac{1}{\frac{\pi^2 \hbar_B^4}{60 C^2 \hbar^3}} = \frac{1}{\frac{\hbar^4 C^1 R}{5096 \pi^4 \hbar^4 M^4 R_B^4}}$$

$$t = 15360 \text{ s} \frac{G^2 M^3}{\hbar c^4} = 2.52 \times 10^{-25} \left(\frac{M}{g} \right)^3 \text{ s.}$$

Esta fórmula es solo una estimación, pues a medida que se enfria su temperatura aumenta y se van evitando todo tipo de perturbaciones. Mas aún cuando su temperatura se enfria a lo a plantea los efectos de la mecánica cuántica son fundamentales y no sabemos como tratarlos.

5. Considerense un átomo de hidrógeno. Su energía es

$$E = \frac{p^2}{2m_e} - \frac{e^2}{r}$$

Sabemos que $\lambda = \hbar/p$ y que en el estado fundamental $\lambda = 2\pi r$ lo cual implica que $p = \hbar/r$. Usando esto E queda una función de r . Encontrar el valor de r mínimo y la correspondiente energía.

$$E = \frac{\hbar^2}{2m_e r^2} - \frac{e^2}{r}, \quad \frac{dE}{dr} = 0 \quad - \frac{\hbar^2}{m_e r^3} + \frac{e^2}{r^2} = 0$$

$$r_{\min} = \frac{\hbar^2}{m_e e^2} = \frac{\hbar}{m_e (dc)} = 0.52917706 (44) \text{ Å}$$

$$E_{\min} = -\frac{1}{2} m_e (dc)^2 = -13.605804 (36) \text{ eV}$$

siendo ésta la energía del estado fundamental del átomo de hidrógeno en mecánica cuántica.

6. Consideremos átomos neutros con $2 \leq Z \leq 10$. En el estado fundamental dos electrones ocupan la capa K ($m=1$) y $(Z-2)$ están en la capa L ($m=2$). La órbita K tiene un radio a_0/Z y como es pequeño supondremos que los electrones en la capa L tienen una carga nuclear efectiva $Z_{\text{ef}} = Z-2$. Clásicamente la energía de este átomo (considerando de la forma K) se puede aproximar por

$$E = Z_{\text{ef}} \frac{p^2}{2m_e} - \frac{Z_{\text{ef}}^2 e^2}{r} + \frac{Z_{\text{ef}}(Z_{\text{ef}}-1)e^2}{2r_{\text{ef}}}$$

donde el primer término representa la energía cinética de los Z_{ef} electrones, el segundo la atracción nuclear y el tercero la repulsión electrostática, siendo r_{ef} un parámetro.

Para la capa L se tiene, en el modelo de Bohr, que $p = 2\hbar/r$. Minimizando E como

36/001

función de r hallar la energía de ligadura de la capa L y el radio del atomo. Ajustar $r_0 = r/\lambda$ para reproducir que el neon ($Z=10$) tiene una energía de ligadura para los electrones en la capa L que es $70.0 E_{\infty}$

$$E = Z_{eff} \frac{2 h^2}{m_e r^2} - \frac{Z_{eff}^2 e^2}{r} + \frac{\lambda Z_{eff} (Z_{eff} - 1) e^2}{2 r}$$

$$\frac{dE}{dr} = 0$$

$$r = \frac{4 a_0}{Z_{eff} - \frac{\lambda}{2} (Z_{eff} - 1)}$$

$$a_0 = \frac{\hbar}{m_e \lambda c}$$

$$E = \frac{1}{4} Z_{eff} [Z_{eff} - \frac{\lambda}{2} (Z_{eff} - 1)]^2 E_{\infty} \quad E_{\infty} = -\frac{1}{2} m_e (\lambda c)^2$$

$$\text{Para el neon } Z_{eff} = 8 \quad E = 70.0 E_{\infty} \Rightarrow 280 = 8 [8 - \frac{\lambda}{2} \lambda]^2 \Rightarrow$$

$$\lambda = 0.595 \Rightarrow \lambda = 0.6$$

Entonces

Elemento	Z	Z_{eff}	m	r_{0L}/a_0	r_{cap}/a_0	E_{cap}/E_{∞}	E_{cap}/E_0
H	1	1	1	1.0	1.0	1.	1
He	2	2	1	0.6	0.6	5.8	5.8
Li	3	1	2	4.0	2.8	0.25	0.4
Be	4	2	2	2.4	2.2	1.4	2.0
B	5	3	2	1.7	1.6	4.3	5.2
C	6	5	2	1.3	1.2	9.6	10.9
N	7	5	2	1.1	1.0	18.1	19.5
O	8	6	2	0.9	0.8	30.4	31.8
F	9	2	2	0.8	0.7	47.3	48.5
Ne	10	8	2	0.7	0.6	69.6	70.0

Sabes se te anotado el radio calculado para el mismo procedimiento y $r_0 = r/0.6$

El mismo tipo de argumento se usa para una capa externa m

$$r = \frac{m^2 a_0}{Z_{eff} - \frac{\lambda}{2} (Z_{eff} - 1)}$$

$$E = \frac{1}{m^2} Z_{eff} [Z_{eff} - \frac{\lambda}{2} (Z_{eff} - 1)]^2 E_{\infty}$$

7. Una lámpara incandescente de 100 W radió uniformemente en todas las direcciones.

1) Hallar la intensidad a una distancia de 1 m. 2) Hallar el número de fotones por segundo que inciden sobre una superficie de 1 cm^2 de área, de modo que su normal coincide con la recta que pasa por la lámpara, si la longitud de onda es $\lambda = 6000 \text{ Å}$

1) La potencia emitida es $P = 10^2 \text{ W} = 10^9 \text{ g cm}^2 \text{ s}^{-3}$. La energía que emide por unidad de tiempo y por unidad de área perpendicular a los rayos es

$$I = \frac{P}{4\pi r^2} = \frac{10^9 \text{ g cm}^2 \text{ s}^{-3}}{4\pi \times 10^{18} \text{ cm}^2} = 7.9578 \text{ g s}^{-3} = 7.9578 \text{ erg cm}^{-2} \text{ s}^{-1}$$

2) $\lambda = 6000 \text{ Å} \Rightarrow \nu = \frac{c}{\lambda} \Rightarrow$ La energía de un fotón es $E = h\nu = \frac{hc}{\lambda} = \frac{2.9979}{\lambda}$

$E = 3.3108 \times 10^{-12} \text{ erg}$ y para tener el número de fotones emitidos en un segundo es

$$N = \frac{10^7 \text{ erg/s}}{E} = 3.0204 \times 10^{18} \text{ fotones s}^{-1}$$

y llegan a la superficie considerada

$$n = \frac{N}{4\pi r^2} = 2.4036 \times 10^{13} \text{ fotones cm}^{-2} \text{ s}^{-1}$$

8. Nuestro Universo se encuentra lleno de un fondo de radiación electromagnética, altamente isotrópica, proveniente de la Gran Explosión, y con espectro correspondiente a un cuerpo negro de temperatura $T = 2.7 \text{ K}$. Determinar la longitud de onda λ_{max} para la que es máxima la densidad de energía y las longitudes de onda para las que esa densidad es una centésima parte de su valor máximo.

$$\text{Si } x = \frac{2\pi hc}{\lambda k_B T} \text{ entonces } \bar{n}(\lambda, T) = \frac{1}{2} \frac{k_B^5 T^5}{\pi^3 h^4 c^4} \frac{1}{x^5} \frac{1}{e^x - 1}$$

El máximo ocurría, de acuerdo con la ley de desplazamiento de Wien, para

$$\lambda_{\text{max}} T = 0.28978 \text{ cm K}$$

$$\lambda_{\text{max}} = 0.107 \text{ cm.}$$

Los valores de x dados son $10^{-2} x^{-5} [e^x - 1] = x_{\text{max}}^{-5} [e^{x_{\text{max}}} - 1]$

$$e^x - 1 = 4.717 x^5 \Rightarrow x_1 = 0.750 \Rightarrow \lambda_1 = 0.711 \text{ cm}$$

$$x_2 = 15.14 \Rightarrow \lambda_2 = 0.0352 \text{ cm.}$$

9. El potencial de detección para el efecto fotoeléctrico con luz monocromática incidente sobre sodio es: 1.85V si $\lambda = 3000\text{ \AA}$ y 0.82V si $\lambda = 5000\text{ \AA}$. Determinar: 1) El valor de la constante de Planck. 2) La fórmula de trabajo del sodio. 3) La longitud de onda umbral para el Na.

Para los fotones la relación entre la energía y la longitud de onda es $E = 2.75c/\lambda$.

Si ϕ_0 es la fórmula de trabajo y $V_0(\lambda)$ el potencial de detección

$$\frac{hc}{\lambda} = \phi_0 + |eV_0(\lambda)|$$

y en tanto

$$\hbar = \frac{1}{2mc} \left(\frac{1}{\lambda_1} - \frac{1}{\lambda_2} \right)^{-1} [|eV_0(\lambda_1)| - |eV_0(\lambda_2)|] \rightarrow$$

$$\hbar = 6.56 \times 10^{-16} \text{ eV s}$$

$$\text{Entonces } \phi_0 = + \frac{hc}{\lambda} + |eV_0(\lambda)| = 2.27 \text{ eV}$$

y la longitud de onda umbral es

$$\lambda_0 = \frac{hc}{\phi_0} = 5.44 \times 10^3 \text{ \AA}$$

10. Por ser \hbar muy pequeña los efectos cuánticos no son perceptibles en nuestro mundo normal. Si el valor de \hbar fuera macroscópico, tales efectos serían potentes. Estimando \hbar para que los incrementos mínimos permitidos en la velocidad de una rueda de bicicleta fueran de 10 Km/hora. (La regla de cuantificación del momento angular delrededor del eje de giro es $L = m\hbar$).

Si R es el radio de la rueda y M su masa, prácticamente concentrado en la periferia, su momento de inercia es $I = MR^2 \rightarrow L = Iw$ donde w es su velocidad angular. Como $w = v/R$ se tiene que $L = MRv$. Por tanto, el mínimo incremento en la velocidad tangencial es

$$\delta v \approx \frac{\hbar}{MR}$$

$$\text{Si: } M = 2 \text{ Kg}, R = 0.5 \text{ m} \text{ como } \delta v = 10 \text{ Km/hora} = \text{nula}$$

$$\hbar = 2.8 \text{ J.s}$$

NUCLEOS

Los núclicos estables son estados ligados de A nucleones, de los cuales Z son protones y $N = A - Z$ son neutrones. La carga total del núcleo es $Z e$. En primera aproximación los núclicos pueden considerarse esféricos con radio

$$R = r_0 A^{1/3} \quad r_0 \approx 1.25 \text{ fm} \quad (1)$$

Las masas del protón y del neutrón son

$$M_n = 939.5731(27) \text{ MeV/c}^2, \quad M_p = 938.2746(27) \text{ MeV/c}^2 \quad (2)$$

$$M_n - M_p = 1.293323(16) \text{ MeV/c}^2$$

y, despreciando la energía de ligadura, la masa de un núcleo es $M \approx 939 A \text{ MeV/c}^2$.

Por tanto la densidad nuclear es

$$\rho = \frac{M}{V} \approx \frac{A M_N}{\frac{4}{3} \pi r_0^3 A} = \frac{3 M_N}{4 \pi r_0^3} = \frac{3}{4 \pi} \frac{1.67 \times 10^{-24} \text{ g}}{1.25^3 \times 10^{-39} \text{ cm}^3} \approx 2.0 \times 10^{14} \text{ g/cm}^3 \quad (3)$$

El hecho de que ρ sea la misma prácticamente para todos los núclicos indica que las fuerzas nucleares deben ser altamente repulsivas a pequeñas distancias.

Energía de ligadura

La energía de ligadura de un núcleo se define como

$$B = [Z M_p + N M_n - M(A, Z)] c^2 \quad (4)$$

donde $M(A, Z)$ es la masa del núcleo considerado. Esta energía puede calcularse mediante la fórmula semi-empírica de Weizsäcker ($A \geq 10$)

$$B(A, Z) = a_1 A - a_2 A^{2/3} - a_3 \frac{Z^2}{A^{1/3}} - a_4 (N-Z)^2 \frac{1}{A} + \delta \quad (5)$$

i) $a_1 = 15.760 \text{ MeV}$ Este término corresponde a la energía de ligadura por nucleón para núclicos con $A \rightarrow \infty$, con $Z=N$, en ausencia de fuerzas electrostáticas y de apantamiento. Debido al corto alcance de las fuerzas nucleares, cada nucleón sólo nota la presencia de sus vecinos más próximos y no le importa el tamaño total del núcleo. Este efecto se corona con el nombre de saturación de las fuerzas nucleares.

ii) $a_2 = 17.810 \text{ MeV}$. En un núcleo fuerte los nucleones superficiales están menos ligados y la relación entre el volumen $V \propto A$ y la superficie $S \propto A^{2/3}$ es la razón

36/001

del segundo término

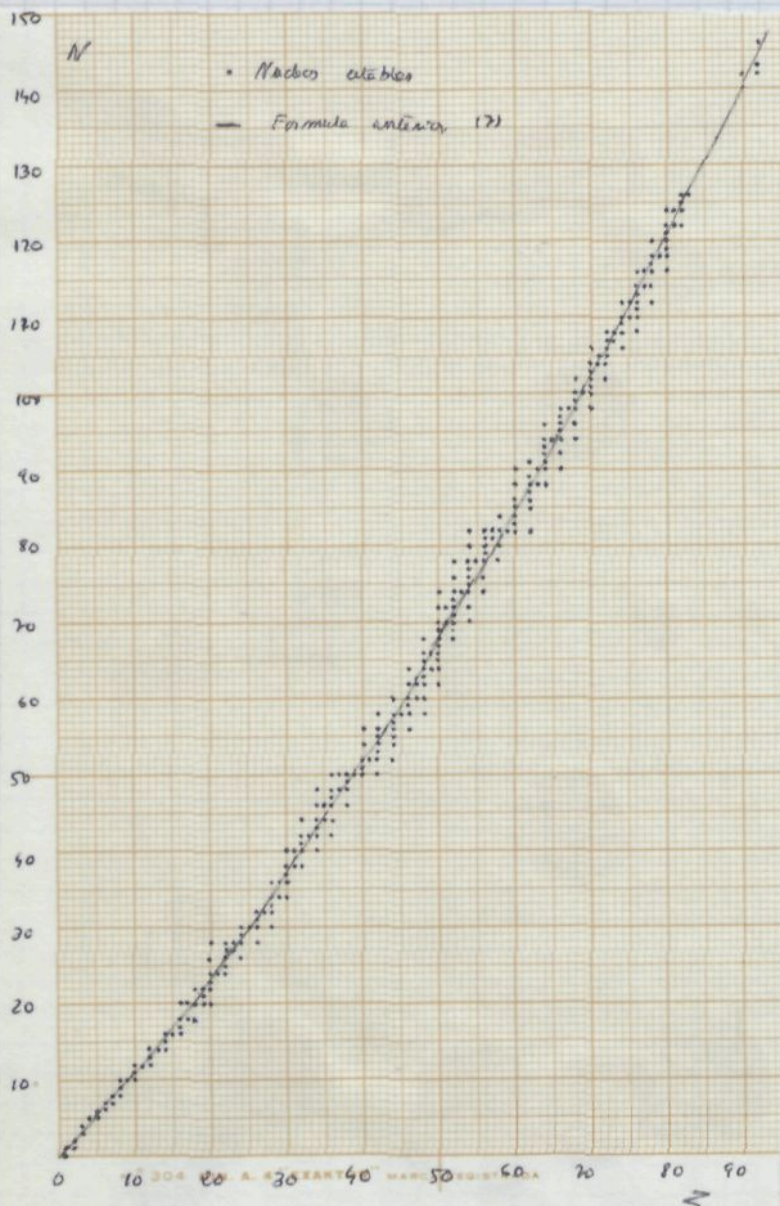
iii) $a_3 = 0.711 \text{ MeV}$. Hasta aquí no hemos tenido en cuenta las fuerzas electrostáticas entre protones que dan una contribución a la energía $\sim -Z^2/R \sim -Z^2 A^{-1/3}$ y esto origina el tercer término

iv) $a_4 = 23.702 \text{ MeV}$. Es debido a la distinta energía cinética del par de neutrones y de protones.

v) Si es una energía de oponamiento

$$\delta = \begin{cases} a_5 A^{-3/4} & Z = \text{par} \text{ y } N = \text{impar} \\ 0 & A = \text{impar} \\ -a_5 A^{-3/4} & Z = \text{impar}, N = \text{impar} \end{cases} \quad a_5 = 34 \text{ MeV} \quad (6)$$

Estabilidad: Desprovviendo el término de oponamiento, los núcleos más estables son aquellos, que para un dado A , tienen $B(A, Z)$ máximos:



$$\frac{\partial B(A, Z)}{\partial Z} = 0$$

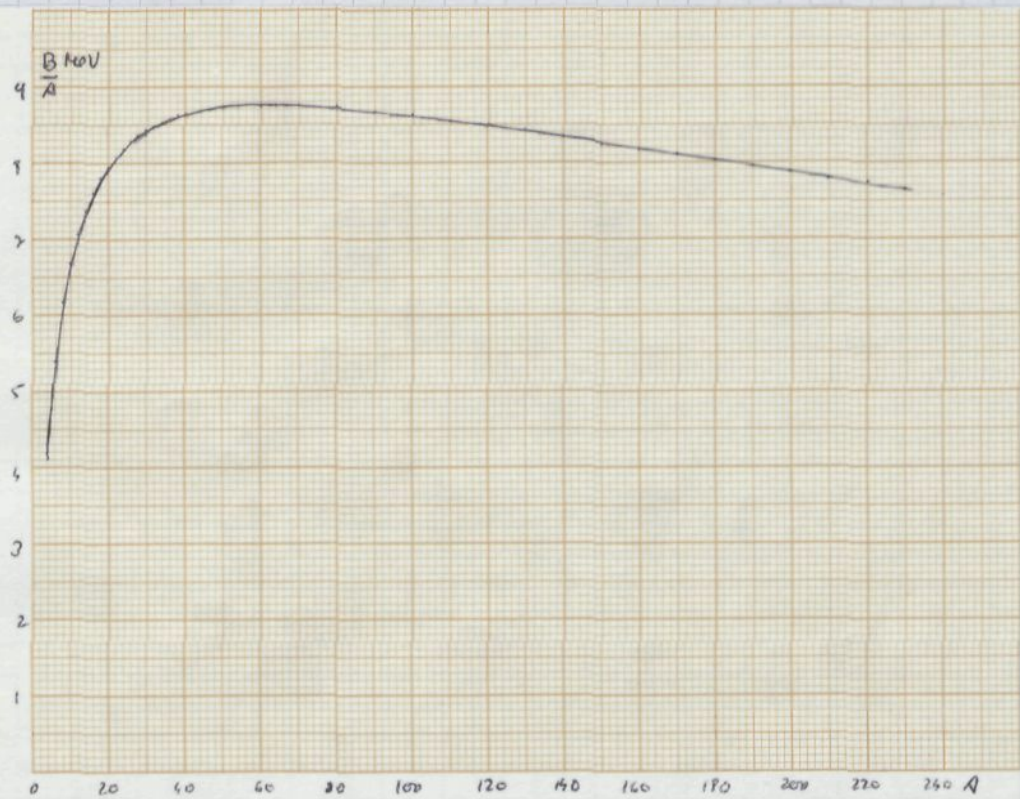
$$-2a_3 A^{-1/3}Z + 4a_4 (A-2Z) \frac{1}{A} = 0$$

$$Z = \frac{A}{2} \cdot \frac{1}{1 + \frac{a_3}{4a_4} A^{2/3}}$$

$$Z = \frac{A}{2} \cdot \frac{1}{1 + 0.00750 A^{2/3}} \quad \left. \right\} \quad (7)$$

$$N = A - Z$$

Para los nucleos que se encuentran sobre la curva de mayor estabilidad que se cubre de carbono ($\delta=0$) se encuentra



El máximo aparece para el Fe.

Medida de masas : Las masas atómicas se suelen medir en

$$1 \text{ amu} = 931.5016 \text{ (26) MeV/c}^2 \quad (1)$$

que se define diciendo que la masa del étomo de C es precisamente 12 amu.

Veamos que tal reproduce la fórmula masiva este valor

$$M_{\text{at}}(^{12}_6 \text{C}) \text{ c}^2 = 6 \times 938.2796 \text{ (27)} + 6 \times 939.5731 \text{ (27)} + 6 \times 0.5110024 \text{ (14)}$$

$$- \left\{ 15.760 \times 12 - 17.810 \times 12^{2/3} - 0.711 \frac{6^2}{12^{1/3}} + 0 + 34 \frac{1}{12^{1/4}} \right\} \text{ MeV.}$$

$$= 5629.6776 \text{ (162)} + 5637.4386 \text{ (162)} + 3.0660204 \text{ (14)} -$$

$$- \left\{ 189.1200 - 93.3508 - 11.1801 + 5.2734 \right\} =$$

$$= 11180.3197 \text{ (229) MeV} = 12 \times 931.5016 \text{ (26)} \times 1.0002058 \text{ (35)}. \quad (2)$$

es decir la fórmula semiempírica reproduce muy bien la masa del $^{12}_6 \text{C}$. Noten que hemos desprendido la energía de ligadura a los electrones, totalmente despreciable

Fisión: Una forma de obtener energía nuclear es mediante la fisión, que consiste en la descomposición de núcleos muy pesados ocasionada por neutrones lentos. Un ejemplo gráfico es:



$$Q = M(m) + M(\text{U}) - M(\text{Ba}) - M(\text{Sr}) - M(m) - M(m) =$$

$$= -B(\text{U}) + B(\text{Ba}) + B(\text{Sr}) =$$

$$= - [15.760 \times 235 - 17.810 \times 235^{2/3} - 0.711 \frac{92^2}{235^{1/3}} - 23.702 \frac{56^2}{235} + 0] \quad (3)$$

$$+ [15.760 \times 140 - 17.810 \times 140^{2/3} - 0.711 \frac{56^2}{140^{1/3}} - 23.702 \frac{32^2}{140} + \frac{34}{140^{3/4}}]$$

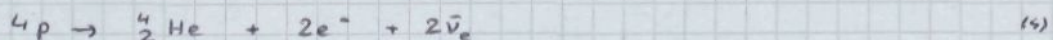
$$+ [15.760 \times 94 - 17.810 \times 94^{2/3} - 0.711 \frac{38^2}{94^{1/3}} - 23.702 \frac{18^2}{94} + \frac{34}{94^{3/4}}] =$$

$$= -1787.846 + 1154.396 + 906.869 = 173.419$$

Vemos pues que alrededor del 0.8% de la masa inicial se convierte en energía.

En la práctica este se logra haciendo impactar neutrones lentos sobre ${}_{92}^{235}\text{U}$ y el neutrón es captado por el uranio formándose un núcleo intermedio que se compone como una gota de agua en vibración muy fuerte debido a la energía suministrada por el neutrón. La gota puede fisionarse dando origen a dos núcleos más ligeros y a algunos neutrones que salen a gran velocidad y que deben ser frenados mediante un moderador si se quiere utilizarlos para producir nuevas fisiones.

Fusión: Núcleos ligeros se unen para constituir otro más pesado. Esta es la forma de producción de energía en las estrellas. En estrellas como el Sol uno de los ciclos más importantes para la producción de energía es el del hidrógeno a lo largo del cual se unen 4 protones para formar un núcleo de helio cuatro.



$$Q = 4M_p - 2M_p - 2M_n + B({}^4\text{He}) - 2M_e = +2 \times 938.2796 - 2 \times 939.5731 +$$

$$- 2 \times 0.5110034 + 28.2 \Rightarrow Q = 24.6 \text{ MeV}$$

es decir se produce un 7% de energía.

Modelo de copos: Si bien el problema de la estructura nuclear es mucho más complejo que el atómico, un modelo que describe muy bien distintas características nucleares es el llamado modelo de copos. Se supone que cada nucleón se mueve

así libra en un potencial central $V(r)$ creado por los restantes nucleos. Este potencial, además de tener una parte central, debe tener un término de desplazamiento spin-orbita. El orden de niveles, con una elección conveniente del potencial, es

$1S_{1/2}$	$3P_{3/2}$	$1P_{1/2}$	$1d_{5/2}$	$1d_{3/2}$	$2S_{1/2}$	$1f_{7/2}$	3	$1f_{5/2}$	$2P_{3/2}$	$2P_{1/2}$	$1g_{7/2}$	3	$1g_{5/2}$	$2d_{5/2}$	$2d_{3/2}$	$3S_{1/2}$	$1h_{11/2}$
2	4	2	6	4	2	8		6	4	2	10	8	6	4	2	12	(1)
2		8			20			28			50					82	

Los números 2, 8, 20, 28, 50, 82, 128... se llaman números mágicos. Los núcleos con número de protones y neutrones mágicos tienen una gran estabilidad.

Existen interacciones residuales entre los nucleos que explican los de tales más fuertes de los espectros nucleares. El modelo de capas se puede justificar a partir de principios primarios, es decir de las interacciones entre nucleos.

Los estados excitados de un nuclo corresponden a colocar un nucleo en un estado excitado. Hay sin embargo excitaciones nucleares mas complejas.

Desintegraciones: Todos los nucleos en sus estados excitados y algunos en su estado fundamental son inestables y se desintegran, básicamente, mediante uno de los mecanismos siguientes:

- Desintegración α , medida por las interacciones fuertes
- Desintegración γ , medida por las interacciones electromagnéticas
- Desintegración β , medida por las interacciones débiles

Cada uno de estos procesos tiene unas reglas de selección que permiten que el proceso tenga lugar. En principio un nuclo instable tiende a desintegrarse α , pero la conservación de la energía o de alguna otra cantidad pueden prohibir este proceso, en cuyo lugar tiende a desintegrarse β y si esto tampoco es posible sufre una desintegración γ . Pueden, en ocasiones, coexistir varios de estos modos con probabilidad distinta y con estados finales distintos.

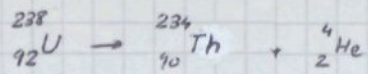
Desintegración α : $AZ \rightarrow A-4(Z-2) + [{}^4_2\text{He} \equiv \alpha]$

Es un modo típico de desintegrarse de nucleos muy pesados o de estados muy excitados de nucleos ligeros. Evidentemente para que el proceso pueda tener lugar es necesario que

$$\Phi \equiv M(A, Z) - M(A-4, Z-2) - M(4, 2) = B(A-4, Z-2) + M(4, 2) - B(A, Z) \geq 0. \quad (2)$$

Una desintegración típica es

36/002



$$Q = -1782.16 + 28.2 - 1805.98 = 4.38 \text{ MeV}$$

Notan que las partículas de emisión tienen energía y momento bien definidos

$$M_1 \rightarrow M_2 + M_3$$

$$\xleftarrow{-p} \circ \xrightarrow{p} M_1$$

$$M_1 c^2 = \sqrt{M_2^2 c^4 + p^2} + \sqrt{M_3^2 c^4 + p^2}$$

$$M_1^2 c^4 = M_2^2 c^4 + M_3^2 c^4 + 2p^2 + 2\sqrt{M_2^2 c^4 + p^2} \sqrt{M_3^2 c^4 + p^2}$$

$$(M_1^2 c^4 - M_2^2 c^4 - M_3^2 c^4 - 2p^2)^2 = 4(M_2^2 c^4 + p^2)(M_3^2 c^4 + p^2)$$

$$(M_1^2 c^4 - M_2^2 c^4 - M_3^2 c^4)^2 + 4c^4 p^4 - 4c^2 p^2 (M_1^2 c^4 - M_2^2 c^4 - M_3^2 c^4) = 4c^4 p^4 + 4(M_2^2 c^4 + M_3^2 c^4)p^2 + 4M_2^2 c^4 M_3^2 c^4$$

$$4c^2 p^2 M_1^2 c^4 = (M_1^2 c^4 - M_2^2 c^4 - M_3^2 c^4)^2 - 4M_2^2 M_3^2 c^4$$

$$p^2 = \frac{1}{4M_1^2} \left\{ (M_1^2 - M_2^2 - M_3^2)c^2 - 4M_2^2 M_3^2 c^2 \right\}$$

$$p = \frac{c}{2M_1} \lambda^{1/2} (M_1^2, M_2^2, M_3^2)$$

(3)

$$\lambda(x, y, z) = x^2 + y^2 + z^2 - 2xy - 2xz - 2yz \quad (\text{Función } \lambda \text{ de Källen})$$

$$E_3 = \frac{c^2}{2M_1} (M_1^2 - M_2^2 + M_3^2)$$

(4)

Desintegración γ : $(^A Z)^* \rightarrow (^A Z) + \gamma$. Esta es una forma muy usual de desintegrarse los estados excitados de un núcleo dando origen a fotones de energías de unos MeV.

Para estas transiciones de un estado inicial de spin-paridad (J_i, π_i) inicial a uno final (J_f, π_f) existen reglas de selección. Las transiciones $J_i = 0 \rightarrow J_f = 0$ están siempre prohibidas. Si el cambio de spin es ΔJ entonces el estado final $J_f \in \{J_i - \Delta J, J_i - \Delta J + 1, \dots, J_i + \Delta J\}$

Cambio de spin ΔJ 1 2 3 4 ...

(5)

Si	E1	M2	E3	M4	...
----	----	----	----	----	-----

Cambio de paridad

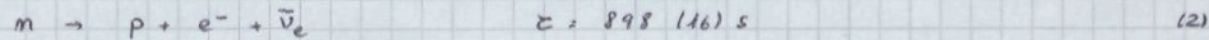
No	M1	E2	M3	E4	...
----	----	----	----	----	-----

Como más elevado es ΔJ mas difícil es que la transición multípolar tenga lugar

Desintegraciones β . Son del tipo



y son producidas al desintegrarse un neutrón



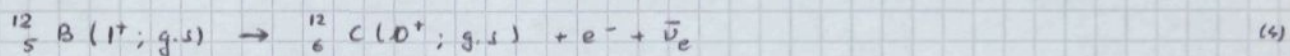
Las transiciones β más sencillas son las llamadas permitidas con reglas de selección

i) Tipo Fermi: $J_i - J_f = 0 ; M_i = M_f$

(3)

ii) Tipo Gamow-Teller: $J_i - J_f = 0, \pm 1 ; J_i = 0 \Rightarrow J_f = 0 ; M_i \neq M_f$

Una típica desintegración de este tipo es



que es una transición de Gamow-Teller.

Si en el proceso (4) no existiera el ν_e entonces el resultado tendría una energía bien definida. El hecho que el electrón tenga un espacio continuo de energía fué una de las razones que impulsaron a Pauli a postular la existencia del neutrino en 1930. El neutrino fué descubierto por C. L Cowan y F. Reines en 1956. El espectro típico de energías en las desintegraciones permitidas es

$$\frac{dN_e}{dE} \propto E_e (E_{max} - E_e)^2$$
(5)

$$E_{max} = \frac{c^2}{2M_i} (M_i^2 - M_f^2 + m^2)$$

donde M_i y M_f son, respectivamente, las masas de los nucleos inicial y final y m la del electrón.

1. El $^{238}_{92}\text{U}$ tiene una constante radiactiva $\lambda = 7.0 \times 10^{-18} \text{ s}^{-1}$. Calcular su vida media. Si se tiene una muestra de 0.01 g de $^{238}_{92}\text{U}$ ¿Cuántas desintegraciones se producen, en promedio, en un segundo?

$$\tau = \frac{1}{\lambda} = 1.43 \times 10^{17} \text{ s} = 4.33 \times 10^9 \text{ años}$$

Masa de un átomo de uranio $\approx \frac{1}{c^2} 238 \times 931.5 \text{ MeV} = 3.95 \times 10^{-22} \text{ g}$.

$$N(0) = 2.53 \times 10^{19} \text{ atomos} \quad N(t=0) = N(0) e^{-\lambda t}$$

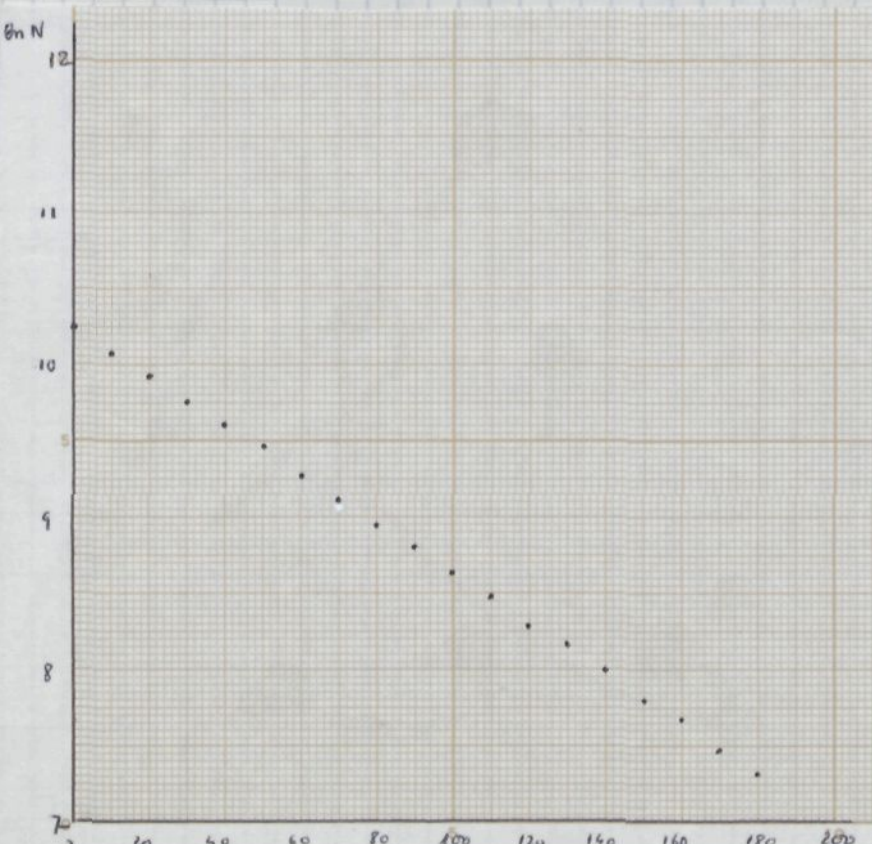
$$\Delta N = N(0) [1 - e^{-\lambda t}] = N(0) \frac{\lambda t}{\tau} \rightarrow \Delta N = 177 \text{ s}^{-1}$$

2. Para obtener la vida media de una sustancia pura efectuamos una serie de medidas del número de sus átomos ($N(t)$) en función del tiempo, obteniendo

t min	0	10	20	30	40	50	60	70	80	90	100	110	120	130
$N(t)$	28552	24085	20644	17380	14910	12260	10644	9188	7695	6670	5610	5296	4007	3691

t	140	150	160	170	180
$N(t)$	2980	2426	2150	1762	1501

Representar estos valores en papel semilogarítmico y hallar λ y τ .



$$N(t) = N(0) e^{-\lambda t}$$

$$A = \sum_{i=1}^N [\ln N_i - \ln N(0) + \lambda t_i]^2$$

$$\frac{dA}{d\lambda} = 0$$

$$\lambda = \frac{\sum_i t_i \ln \frac{N(0)}{N_i}}{\sum_i t_i^2}$$

$$\lambda = \frac{3429.210603}{210900}$$

$$\lambda = 0.01626 \text{ s}^{-1}$$

$$\lambda = 2.710 \times 10^{-4} \text{ s}^{-1}$$

$$\tau = 3690 \text{ s}$$

3. En la atmósfera existe una cierta cantidad de ^{14}C que es radioactiva y es absorbida por los seres vivos. Cuando una planta o un animal muere la absorción deja de tener lugar y la cantidad de ^{14}C presente en los restos de un ser vivo va disminuyendo. La vida media del ^{14}C es $\tau = 8.200$ años. Se encuentra medida que tras un análisis muestra una rigidez en ^{14}C que es solo 25% a lo normal. ¿Cuando murió el animal?

$$\frac{N_0}{4} = N_0 e^{-t/8200 \text{ años}} \quad t = 8200 \text{ años en } 4$$

$$t = 11368 \text{ años}$$

4. La constante solar es $f = 1.94 \text{ cal}/\text{cm}^2 \text{ minuto}$ y es el flujo de energía electromagnética, proveniente del Sol, que incide sobre la parte superior de la atmósfera. ¿Cuál es la fracción de la masa del Sol que se nade en un año?

La energía radiada por el Sol en un año es

$$\Delta E = 4\pi R_{\text{Tierra}}^2 f \cdot T = 4\pi [1.50 \times 10^{13} \text{ cm}]^2 1.94 \frac{\text{cal}}{\text{cm}^2 \text{ min}} 4.186 \times 10^7 \frac{\text{erg}}{\text{cal}} \frac{\text{min}}{60 \text{ s}} 31558 \times 10^{20} \text{ s}$$

$$= 1.2071 \times 10^{41} \text{ erg} \quad \Rightarrow \quad \Delta M = \frac{\Delta E}{c^2} \quad \Rightarrow \quad \Delta M = 1.343 \times 10^{20} \text{ g}$$

$$\frac{\Delta M}{M} = \frac{1.343 \times 10^{20} \text{ g}}{1.989 \times 10^{33} \text{ g}} \quad \Rightarrow \quad \frac{\Delta M}{M} = 6.75 \times 10^{-14}$$

5. Sabiendo que la luminosidad del Sol es $L_0 = 3.90 \times 10^{33} \text{ erg s}^{-1}$ y que su energía proviene de la combustión $4\text{p} \rightarrow {}_2^4\text{He} + 2\gamma$ ¿Qué nada puede tener el Sol si suponiendo que todo se pudiera quemar con 10^2 de su hidrógeno y que inicialmente el Sol era todo hidrógeno?

En el proceso considerado se libera un $6.40 \times 10^{18} \text{ erg/g}$.

La energía que se puede producir es $E = M_0 \times 6.40 \times 10^{18} \frac{\text{erg}}{\text{g}} \times 0.10 = 1.273 \times 10^{52} \text{ erg}$.

y la vida del Sol es

$$E = \frac{E}{L_0} \Rightarrow t = 3.264 \times 10^{17} \text{ s} \Rightarrow t = 1.03 \times 10^{10} \text{ años}$$

6. Al quemar gas natural se libera una energía de $5 \times 10^7 \text{ J/Kg}$. A los físicos de principios de siglo les preocupa mucho que al desintegrarse el nadio emitiéra partículas α con velocidad $v = 2.5 \times 10^7 \text{ ms}^{-1}$. ¿Por qué?

Esto significaba que el nadio con una masa $M_{Ra} = 226 \text{ uam}$. al desintegrarse emitía una partícula al con energía cinética $K = \frac{1}{2} (4 \text{ uam}) \times (2.5 \times 10^7 \text{ m s}^{-1})^2$ y al tanto la energía liberada era de

$$\frac{1}{226} \cdot \frac{1}{2} \cdot 4 \cdot (2.5 \times 10^7)^2 = 5.53 \times 10^{12} \text{ J/Kg}$$

Ni lo gramático ni el electromagnetismo eran capaces de explicar esto

PARTÍCULAS Y FUERZAS FUNDAMENTALES.

Cuando decimos que una partícula es elemental entendemos que con las energías disponibles en los laboratorios no hemos podido descubrir su estructura. Hoy día llamamos elementales a las partículas que no tienen estructura o si la tienen es menor de 10^{-3} fm y no la podemos observar.

Partículas elementales: Hoy día creemos que las partículas elementales se pueden clasificar en varias familias

- i) Leptones
- ii) Quarks
- iii) Bosones intermedios
- iv) Otros.

Leptones: (e, ν_e) ; (μ, ν_μ) ; (τ, ν_τ)

El electrón (e) fue descubierto en 1899 por J.J. Thomson que logró medir el valor de la masa y de la carga eléctrica emitida en los rayos catódicos. Hoy día sabemos que el electrón es una partícula elemental de spin $\frac{1}{2}$ (en unidades de \hbar)

g

$$m_e = 0.5110034 (14) \text{ MeV/c}^2, \quad Q_e = -1$$

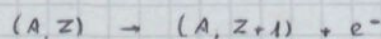
(1)

$$\tau_e > 2 \times 10^{22} \text{ años}$$

donde la carga se mide en unidades de la carga del protón. Además de la carga eléctrica el electrón tiene una carga leptónica electrónica $L_e = +1$, que es aditivamente conservada en todas las interacciones bien establecidas experimentalmente.

En 1928, P.A.M. Dirac encontró la ecuación de ondas relativista que describe el electrón, que presentaba problemas que fueron resueltos por el mismo Dirac, en 1931, al postular la existencia del antielectrón o positrón, que tenía las mismas propiedades que el electrón, pero todas sus cargas eran de signo opuesto. El positrón fue descubierto, en la radiación cósmica, por C.D. Anderson en 1932.

El neutrino electrónico (ν_e) fue postulado por W. Pauli a finales del año 1930. Ya en 1900 se sabía que los rayos β emitidos por los núcleos atómicos estaban formados por electrones. En un lenguaje moderno se veía que un núcleo (A, Z) se desintegraba β en la forma

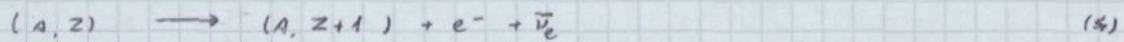


(2)

es decir que uno de los neutrones del núcleo se transformaba en un protón y se emitía un electrón. Si M_i y M_f son las masas de los núcleos inicial y final entonces la energía del electrón emitido es

$$E_e = \frac{c^2}{2M_i} (M_i^2 - M_f^2 + m_e^2) \quad (3)$$

contra la evidencia experimental de un espectro continuo, en el que los electrones aparecen con todas las energías menores que una E_{max} que particularmente coincide con (3). Además de este problema había otro, llamado de la falsa estadística, que en el lenguaje moderno sería la no conservación del momento angular en (2). El 9 de diciembre de 1930 Pauli, desde Zürich, escribe una carta dirigida a los asistentes a una conferencia sobre radioactividad que tenía lugar en Tübingen y les dice: "En vista de la falsa estadística de los núcleos de nitrógeno y litio y también del espectro continuo β , se me ha ocurrido una explosión desesperada para salvar "el principio de intercambio" y el principio de conservación de la energía. A saber, la eventualidad de que en los núcleos puedan existir partículas eléctricamente neutras, a las que llamaré "neutrinos" que tienen spin $1/2$ ". Hoy día sabemos que



El neutrino fué descubierto por C.-L. Cowan y F. Reines en 1956. Sabemos que el neutrino tiene spin $1/2$ y

$$m_{\nu_e} \leq 10 \text{ eV/c}^2 \quad , \quad E_{\nu_e} > 3 \times 10^8 \frac{m_{\nu_e}}{MeV} \text{ s.} \quad , \quad Le = 0 \quad (5)$$

$$Le = +1$$

Notan que la ecuación (4) conserva tanto la carga eléctrica como la carga leptónica electrónica, pues solo el electrón y el neutrino tienen $Le \neq 0$.

¿Por qué es tan difícil de observar? La dificultad de observar el neutrino se debe a que no tiene carga eléctrica solo tiene interacciones débiles. El proceso $\gamma + e^- \rightarrow \gamma + e^-$ tiene energía $E_p \ll m_e c^2$ tiene una sección eficaz

$$\sigma = \frac{8\pi}{3} \left(\frac{e}{m_e} \right)^2 \frac{\hbar^2}{c^2} = 0.665 244 8 (33) \times 10^{-24} \text{ cm}^2 \quad (6)$$

que es la llamada sección eficaz Thomson. La sección eficaz para el proceso $\bar{\nu}_e + e^- \rightarrow e^- + \bar{\nu}_e$ es

$$\sigma = \frac{4 G_F^2}{3\pi} \frac{(m_e c^2)^2 E^2}{(m_e c^2 + 2E)^3} [4E^2 + 6m_e c^2 E + 3m_e^2 c^4] \frac{1}{(hc)^4} \quad (7)$$

donde E es la energía del neutrino y G_F es la constante de Fermi que caracteriza la intensidad de las interacciones débiles y vale

$$G_F = 1.02684(2) \times 10^{-5} \frac{\hbar^3}{M_p^2 C} \quad (1)$$

donde M_p es la masa del protón. Si $E \gg m_e c^2$ entonces

$$\sigma \sim \frac{2 G_F^2 (m_e c^2) E}{3 \pi (E c)^4} = 5.74399(16) \times 10^{-42} \frac{E}{\text{GeV}} \text{ cm}^2 \quad (2)$$

que es válida para $E \approx 50 \text{ GeV}$ y que es muchos órdenes de magnitud menor que la sección eficaz Thomson.

El muón (μ) fue descubierto en la radiación cósmica, en 1936, por S.H. Neddermeyer y C.D. Anderson. Tiene spin $1/2$ y además

$$m_\mu = 105.65916(20) \text{ MeV/c}^2, \quad \tau_\mu = 2.19703(14) \times 10^{-6} \text{ s.} \quad (3)$$

$$\ell_\mu = -1, \quad \ell_\mu = +1$$

su principal modo de desintegración es

$$\mu^- \rightarrow e^- + \bar{\nu}_e + \nu_\mu \quad (4)$$

El neutrino muónico tiene spin $1/2$, carga eléctrica nula, larga leptónica muónica $L_\mu = +1$ y su masa es $m_\mu \approx 0.25 \text{ MeV/c}^2$. Solo estos dos parámetros tienen $L_\mu \neq 0$ y L_μ es aditivamente conservado en todos los procesos mediados en las interacciones débiles establecidas. La vida media del muón es (despreciando la masa del electrón y las correcciones radiativas)

$$\tau_\mu = 142 n^3 \frac{1}{G_F^2 m_\mu^5} \frac{\hbar^7}{C^4} = 2.187248(65) \times 10^{-6} \text{ s.} \quad (5)$$

En 1962 se probó experimentalmente que $\nu_\mu \neq \nu_e$.

En 1947, C.F. Powell dijo: "La frase "existe el muón" debió provocar una confusión en los cielos, pero el hombre era y es ignorante de qué es el chiste. ¿Para qué sirve al muón si no para ser la desintegración favorita del pion? El descubrimiento del electrón fué' inesperado, pero su uso como ingrediente de la perfumería atómica se reconoce inmediatamente."

El tauón (τ) fue descubierto, en 1975, por M.L. Perl. De nuevo es una partícula de spin $1/2$ y

$$m_Z = 1784.2 \text{ (3.2) MeV/c}^2, \quad \tau_Z = (3.3 \pm 0.4) \times 10^{-13} \text{ s}$$

$$\ell_{e^-} = -1$$

$$\ell_e = +1$$

(66)

Exactamente como en los casos anteriores existe un ν_e también de spin $1/2$, carga eléctrica nula y número leptónico tauónico $L_e = +1$, conservado en todas las interacciones bien establecidas y solo distinto de cero para el e y el ℓ_e . Además $m_e \leq 70 \text{ MeV/c}^2$. Se desintegra en muchísimos canales debido a su gran masa.

Tenemos pues tres familias de leptones (e, ν_e) , (μ, ν_μ) , (τ, ν_τ) todos de spin $1/2$ que solo tienen interacciones débiles y electromagnéticas, si están cargados.

¿Hay posibilidad de nuevas familias? De los resultados del estudio del Z^0 se ve que el número de familias con neutrinos ligeros N_ν es $N_\nu \leq 5$. Del modelo cosmológico standard $N_\nu \leq 4$. Además si existe otro lepton cargado su masa es $m \geq 41 \text{ GeV/c}^2$.

Quarks:

El neutrón y el protón son los dos constituyentes del núcleo atómico; ambos tienen spin $1/2$ y

$$M_p = 938.2796 \text{ (27) MeV/c}^2, \quad M_n = 939.5731 \text{ (27) MeV/c}^2$$

$$\tau_p \gtrsim 10^{30} \text{ años}$$

$$\tau_n = (89.8 \pm 1.6) \text{ s.}$$

$$\ell_p = +1$$

$$\ell_n = 0$$

Ambos tienen una carga báquica B número báquico $B = +1$, que es adicionalmente conservado en todas las interacciones bien establecidas. El protón se conoce desde principios de siglo y el neutrón fue descubierto por J. Chadwick en 1932. El antiprotón fue descubierto por Russe en 1955. Estos fueron los dos primeros hadrones conocidos. Los hadrones tienen interacciones fuertes, débiles y electromagnéticas, así como también gravitacionales.

En 1935, H. Yukawa, para poder explicar las interacciones fuertes que ligan los nucleones (neutrón y protón) en los núcleos, postula la existencia de un nuevo hadrón: el pion. Los piones son descubiertos en 1947, y sus propiedades son

$$M_{\pi^\pm} = 139.5685 \text{ (10) MeV/c}^2$$

$$M_{\pi^0} = 134.9642 \text{ (38) MeV/c}^2$$

$$\tau_{\pi^\pm} = 2.6030 \text{ (23)} \times 10^{-8} \text{ s.}$$

$$\tau_{\pi^0} = 0.87 \text{ (4)} \times 10^{-10} \text{ s.}$$

$$\Omega_{n\pm} = \pm 1 \quad , \quad \Omega_{n0} = 0$$

Todos los piones tienen spin nulo y $B=0$. El n^+ y n^- son partícula-antipartícula, mientras que el n^0 , para tener todas las cargas nulas, combina con su antipartícula.

A partir de este momento el número de hadrones aumenta sin cesar, los primeros desubieren en la radiación visible y después irán con los modernos aceleradores de partículas. Estos hadrones se les suele dar el nombre de resonancias si desaparecen las interacciones fuertes, lo cual sucede en la mayor parte de los casos. Los hadrones se clasifican en dos grandes familias:

i) Barios: que tienen spin semi-impar y $B=+1$

ii) Mesones: que tienen spin entero y $B=0$.

En 1964, M. Gell-Mann y Y. Zweig, independientemente, postulan que los hadrones estan constituidos por quarks. Su existencia queda fuera de toda duda en finales de la década de los sesenta y principios de los setenta gracias a las experimentaciones de colisiones profundamente inelásticas.

Hoy día aceptamos que hay tres familias de quarks

$$(u, d) \quad , \quad (c, s) \quad , \quad (t, b)$$

11

Todos tienen spin $1/2$ y $B=+1/3$. Se dice que existen 6 tipos distintos de quarks o más usualmente que hay quarks de seis "anomas" distintos: u (= up), d (= down), c (= charm), s (= strange), t (= top), b (= bottom). Ademas cada anoma de quark puede aparecer en tres estados posibles, que se les designa como estados de color: rojo, azul y verde y los antiquarks tienen los anticolores correspondientes: cróm, magenta y amarillo. Sus cargas son

$$\Omega_u = \Omega_c = \Omega_t = + \frac{2}{3} \quad , \quad \Omega_d = \Omega_s = \Omega_b = - \frac{1}{3}$$

12

Todos los hadrones son estados ligados de quarks. Los barios son estados ligados de tres quarks, uno de cada color y los mesones estados ligados de un quark de un color con el antiquark correspondiente.

$$p = (uud) \quad , \quad d = (ddu) \quad ,$$

$$n^+ = (u\bar{d}) \quad , \quad n^- = (\bar{d}u) \quad , \quad n^0 = \frac{1}{\sqrt{2}} (u\bar{u} + d\bar{d})$$

13

Interacciones entre quarks: La interacción entre dos quarks tiene importantes características:

- c) Libertad asintótica: A muy pequeñas distancias la interacción disipaure
- a) Los quarks están confinados.

La interacción entre dos quarks se puede pensar como si estuvieran unidos por una cinta de goma que no se pudiera romper. cuando los dos quarks están muy cercanos la cinta está flojada y los quarks se mueven libremente. La interacción trae al alejar un quark de otro.

cuando en 1964 se postuló la existencia de quarks todas las hadrones conocidos podían explicarse a partir de los quarks : u, d, s. S.L. Glashow, J. Iliopoulos y L. Maiani postularon, en 1970, para resolver ciertos problemas de la teoría electrodébil la existencia del quark c y en 1974, B Richter y S. Ting descubrieron la partícula J/ψ que es ($c\bar{c}$). Además el número de familias de quarks y leptones debió ser el mismo con lo cual al descomponer (τ, ν_τ) era de esperar una nueva familia de quarks (b, \bar{b}). En 1977, L.M. Lederman descubrió el Υ^{\prime} ($b\bar{b}$) y aún no hemos descubierto el t.

Dado a que los quarks están confinados no es trivial definir su masa. Esta es una función de la energía y a energías del orden de 1 GeV ésta son

$$m_u \approx 5 \text{ MeV/c}^2, \quad m_d \approx 8 \text{ MeV/c}^2, \quad m_s \approx 150 \text{ MeV/c}^2$$

(6)

$$m_c \approx 1350 \text{ MeV/c}^2, \quad m_b \approx 5300 \text{ MeV/c}^2, \quad m_t \gtrsim 80.000 \text{ MeV/c}^2$$

Las interacciones.

A fines del siglo XIX todos los fenómenos conocidos se podían explicar claramente en términos de dos interacciones: La gravitación y el electromagnetismo.

1) La gravitación

Fue Newton el que se dio cuenta que la misma fuerza que regía la caída de las manzanas era la que explicaba el movimiento de los planetas alrededor del sol y era la misma y sencilla que regía el movimiento de las estrellas, unificando así la Mecánica celeste con la terrestre. De acuerdo con Newton partículas de masas M_1 y M_2 se atraían con una fuerza direccional de un potencial

$$V(r) = - G \frac{M_1 M_2}{r}$$

(67)

dónde r es la distancia entre las dos partículas y G es la constante de la gravitación universal.

$$G = 6.6720 \text{ (41)} \times 10^{-8} \text{ cm}^3 \text{ g}^{-1} \text{ s}^{-2} \quad (7)$$

En lugar de G que tiene dimensiones se suele introducir la llamada constante de estructura fina gravitacional

$$\alpha_G \equiv \frac{GMc^2}{\hbar c} = 5.9042 \text{ (36)} \times 10^{-39} \quad (8)$$

que es adimensional.

Vemos que es extraordinariamente débil comparado con las otras interacciones, pero es extraordinariamente importante en el macroscópico pues

i) Su alcance es infinito $V(r) \propto 1/r$

ii) Actúa siempre.

La teoría clásica de Newton fue mejorada, en 1916, por Albert Einstein al formular la teoría de la relatividad general, que no es más que una teoría clásica del campo gravitatorio.

2) El electromagnetismo.

Desde la más remota antigüedad se conocía la existencia de fuerzas eléctricas y de fuerzas magnéticas. Fue en 1820 cuando Oersted descubrió que los corrientes eléctricas producen efectos magnéticos. Unos cuarenta años más tarde J.C. Maxwell unificaba ambas fuerzas en la teoría del electromagnetismo. La ley de Coulomb dice que si dos partículas de cargas Q_1 y Q_2 están a una distancia r se atraen si $Q_1 Q_2 < 0$ o se repelen si $Q_1 Q_2 > 0$ con una fuerza desribible del potencial

$$V(r) = + \frac{Q_1 Q_2}{r} \quad (9)$$

Si es e la carga del protón

$$e = 4.803242 \text{ (14)} \times 10^{-10} \text{ coul} \quad (10)$$

y su intensidad se puede medir mediante la constante de estructura fina

$$\alpha = \frac{e^2}{\hbar c} = 1 / 137.036 04 \text{ (11)} \quad (11)$$

Notemos que para dos protones la relación entre la fuerza gravitacional y la electrostática es

$$\alpha_G/\alpha = 8.0909 \text{ (44)} \times 10^{-32} \quad (12)$$

Cuando hoy fuimos electrostáticas podemos olvidar la gravedad. Estas fuerzas son de alcance infinito, pero debido a que existen partículas de ambos signos los cuerpos macroscópicos tienden a ser neutros y en el macrocosmos no juegan papel primordial. Estas interacciones electromagnéticas son las que ligan los electrones a los núcleos atómicos para formar los átomos, los átomos entre sí para formar moléculas y no es exagerado decir que son las responsables de toda la química y la biología.

Gracias al trabajo iniciado por Dirac en 1922 y culminado por S. Tomonaga (1946), J. Schwinger (1948) y Feynman (1949) distanmos de una teoría cuántica del campo electromagnético: la electrodinámica cuántica (Q.E.D.). En esta teoría la interacción entre dos electrones es debida al intercambio de fotones. El foton es una partícula elemental, de spin 1 (libridad ± 1) y con todas las cargas nulas por lo cual coincide con su antipartícula. Su masa es

$$m_\gamma \leq 3 \cdot 10^{-33} \text{ MeV/c}^2.$$

(7)

La Q.E.D. es la teoría más precisa de todo lo físico y describe la interacción de los leptones cargados mediante el intercambio de fotones.

De hecho, todas las interacciones son debidas al proceso de intercambio de partículas y el alcance de una interacción está relacionada con la masa de la partícula que es intercambiada. En efecto, considerándose dos partículas de masa M , en reposo, su energía es $E = Mc^2$. Para que tenga lugar la interacción una de ellas debe emitir una partícula de masa m que debe ser captada por la otra. Entre los instantes de la emisión y de la absorción la energía del sistema es mayor que $E' = Mc^2 + mc^2$, y por tanto se produce una violación de la ley de conservación de la energía que al menos es $\Delta E = E' - E = mc^2$. Ahora bien si ocurre con la mecánica cuántica, tal violación es finita a lo sumo durante un tiempo τ tal que $c\Delta E = \hbar$. La muy rápida que se propague la partícula la cota superior que puede recomendar es $\tau = c\epsilon$. Esta distancia es llamada el alcance de la interacción y vale

$$d = \frac{\hbar}{mc} = \frac{\hbar c}{mc^2} = 197 \cdot 328 \cdot 58 \text{ fm} \frac{\text{MeV}}{mc^2}$$

(8)

El alcance es infinito para $m=0$. El potencial correspondiente a la fuerza

$$V(r) \sim \frac{1}{r} e^{-r/d}$$

(9)

Newton es su libro "Opticks" que "Las atracciones co la gravidad, el magnetismo y la electricidad alcanzan distancias considerables, y por tanto han sido observadas fácilmente y pueden haber otras que actúen solo a distancias tan cortas que hasta ahora no han sido observadas". En 1896, con el descubrimiento de la radioactividad por Henri Becquerel empiezan una serie de experimentos que, en el transcurso de los años, permitirán establecer la existencia de dos nuevas fuerzas fundamentales de alcance extraordinariamente pequeño: las fuertes y las débiles.

3) Interacciones fuertes

Hoy día es fácil entender la necesidad de las interacciones fuertes. Consideremos, por ejemplo, una partícula α que está formada por $2p + 2n$. Las fuerzas gravitacionales atractivas son totalmente imparables de tener la repulsión coulombiana y, por tanto, la única forma de explicar lo gram energía de ligadura de este núcleo es suponer que los nucleones se atraen entre sí con una fuerza mucho mayor que la que causa la repulsión electrostática. El hecho de que estas fuerzas no tengan ninguna importancia en física atómica y molecular es debido a que su alcance es del orden de 1 fm. En 1935, H. Yukawa postuló que la fuerza era debida al intercambio de una partícula con una masa de unos 100 - 200 MeV. Este es el pion que fue descubierto en 1947. A grandes distancias el potencial es

$$V(r) = - \frac{g^2}{4\pi} \frac{e^{-\mu r}}{r} \quad r \gg 1 \text{ fm.}$$
(4)

$$\frac{g^2}{4\pi \hbar c} \approx 14.8 \quad \mu = \frac{mc^2}{\hbar c} \approx 0.706 \text{ fm}^{-1}$$

Sabemos que a pequeñas distancias $r \lesssim 0.5$ fm las fuerzas nucleares son altamente repulsivas y esto explica la solidez de las fuerzas nucleares.

En términos de los quarks la teoría de las interacciones fuertes fue formulada en los comienzos de la década de los setenta y se llama cuerdodinámica cuántica. La interacción fuerte entre los quarks se debió al intercambio de ocho gluones que son partículas sin maso, elementales, de spin 1 y con sola carga de color. La teoría explica la libertad asintótica y quizá el comportamiento, pero es suficientemente complicado para que aún no sepamos como a partir de esta calcular la masa del protón o la interacción entre nucleones, por ejemplo.

4) Las interacciones débiles.

En el año 1900 cuando claramente establecido que los rayos β , identificados dos años

antes entre los productos de las desintegraciones nucleares, estaban formados por electrones. Sin embargo aún dentro de transcurridos 44 años para que quedara probado que el espectro en los electrones emitidos era continuo. Y durante casi 50 años desde su descubrimiento la desintegración β de los núcleos fue la única manifestación de un nuevo tipo a fuerza: las interacciones débiles.

Entra Fermi, a finales de 1933, formuló la primera teoría cuántica de campo de las interacciones débiles, que entró a Nature y fue rechazada "por contener esas anomalías demostradas alejadas de la realidad para que puedan interessar al lector". La teoría de Fermi evolucionó con los años sin que se modificaran demasiado sus ingredientes básicos.

Los trabajos de S. L. Glashow (1961), S. Weinberg (1967) y A. Salam (1968) permitieron formular la teoría electrodábile. Esta teoría describe simultáneamente las interacciones electromagnéticas, dotadas al intercambio de fotones, y las débiles mediadas por los bosones W^\pm , Z^0 , particulares elementales de spin 1. Los éxitos de esta teoría han sido muchos y su confirmación experimental ha culminado con el descubrimiento, en el CERN, de los bosones vóticos que tienen las propiedades

$$M_W = (81.8 \pm 1.5) \text{ GeV}$$

$$\Gamma_W < 6.5 \text{ GeV}$$

(15)

$$M_Z = (92.6 \pm 1.7) \text{ GeV}$$

$$M_Z < 4.6 \text{ GeV}$$

en perfecto acuerdo con las predicciones trónicas.

En la teoría electrodábile existe una partícula escalar, el Higgs, que aún no ha sido descubierta.

GUTS: ¿Existe una teoría unificada de la teoría electrodábile y la Q.C.D.? Intentos en este camino fueron iniciados por J. C. Pati y A. Salam, en 1973, y H. Georgi y S. L. Glashow, en 1974. Existen muchos modelos para lograr esto, pero no tenemos datos para averiguar qué de los modelos es el adecuado. Todos ellos permiten la violación del número bánonumero y leptónico y permiten convertir el protón en una partícula instable. También estos modelos predicen la existencia de monopoles magnéticos. Sin embargo no hemos visto ni los monopoles ni la desintegración del protón.

Gravitación. En 1956, N. Niemen escribió: "Se ha dicho, con acierto, que un físico moderno es un trónico cuando los lunes, miércoles y viernes, un estudiante de la teoría relativista de la gravedad los martes, jueves y sábados, los domingos,

el físico se los pasa rezando a su Dios y pediéndole que alguien, proféticamente él, encuentre la comunicación entre estas dos teorías". Hoy día, han transcurrido 30 años, y continuamos sin disponer de una teoría cuántica de lo gravitacional.

1. La sección óptica para protones tales como $\bar{\nu} + p \rightarrow n + e^+$ es del orden de $\sigma \approx 10^{-38} \text{ cm}^2$ para experimentos con energía $E = 1 \text{ GeV}$. Calcular el recorrido libre medio de los antiprotones en un material de la densidad de la Tierra.

El recorrido libre medio es $\lambda = \frac{l}{m}$ donde m es el número de protones por unidad de volumen. La densidad de la Tierra es $\rho = 5.56 \text{ g cm}^{-3}$ y suponemos que hay igual número de neutrones y protones.

$$m = \frac{1}{2} 5.56 \frac{1}{1.672 \times 10^{-24}} = 1.66 \times 10^{24} \text{ cm}^{-3}$$

$$\lambda = 6 \times 10^{13} \text{ cm} = 6 \times 10^8 \text{ Km.}$$

2. El τ^- se desintegra en $(17.6 \pm 0.6)\%$ de los casos siguiendo el canal $\tau^- \rightarrow \mu^- + \bar{\nu}_\mu + \nu_\tau$. Si la anchura para este proceso es Γ análoga con el caso del muón

$$\Gamma(\tau^- \rightarrow \mu^- + \bar{\nu}_\mu + \nu_\tau) = \frac{G_F^2 m_\tau^5}{192 \pi^3} \frac{C^4}{h^6}$$

determinar su vida media.

Se tiene que si $B = 0.176$ (6) entonces

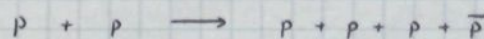
$$\frac{\Gamma(\tau^- \rightarrow \mu^- + \bar{\nu}_\mu + \nu_\tau)}{\Gamma(\tau^- \rightarrow \text{all})} = B$$

$$\tau = B \frac{h}{\Gamma(\tau^- \rightarrow \mu^- + \bar{\nu}_\mu + \nu_\tau)} = B \frac{192 \pi^3}{G_F^2 m_\tau^5} \frac{h^7}{C^4}$$

$$= B 1.5930 (64) \times 10^{-12} \text{ s} = \tau = 2.805 (96) \times 10^{-13} \text{ s.}$$

El valor experimental es $\tau_{\text{exp}} = (3.3 \pm 0.4) \times 10^{-13} \text{ s.}$

- 3.- La forma más económica de crear antiprotones es usando la reacción



Si el blanco se supone en reposo ¿Cuál es la energía mínima del bolo de protones incidente para que la reacción pueda tener lugar?

La cantidad $s = (p_1 + p_2)^2$ es un escalar y p_1 y p_2 son los momentos de los dos protones iniciales en cualquier sistema de referencia. Además $s = (p_1' + p_2' + p_3' + p_4')^2$ donde p_i' son los momentos finales. En el sistema C.M. el valor mínimo de este último cantidad es $s = (4M_p c^2)^2$ y en el sistema laboratorio $s = p_1'^2 + p_2'^2 + 2p_1 \cdot p_2 = 2M_p^2 c^4 + 2M_p^2 E_A$ y en tanto

36/001

$$2M_p^2 c^4 + 2M_p c^2 E_{\text{kin}} = 16 M_p^2 c^4$$

$$E_{\text{kin}} = 7 M_p c^2 = 6.58 \text{ GeV}$$

4. Un mesón K^0_S en reposo se desintegra en $n + n^-$. Hallar el momento de estos piones.

Ambos tienen momentos iguales y opuestos \vec{p} .

$$M_K c^2 = \sqrt{M_n^2 c^4 + c^2 p^2} + \sqrt{M_{n^-}^2 c^4 + c^2 p^2}$$

$$M_K c^2 = 2(M_n^2 c^4 + c^2 p^2) \quad 2c^2 p^2 = M_K^2 c^4 - 2M_n^2 c^4$$

$$c p = \sqrt{\frac{1}{2} (M_K c^2)^2 - (M_n c^2)^2}$$

$$M_K c^2 = 592.72(7) \text{ MeV}, \quad M_n c^2 = 139.5685(10) \text{ MeV} \Rightarrow p = 323.1 \text{ MeV}/c^2$$

5.

HISTORIA DEL UNIVERSO

Goethe "El Fausto": "Amigo mío, los tiempos pasados son para nosotros un libro con siete sellos"

1650. James Usher, arzobispo irlandés, calculó la edad de la Tierra a partir de la evidencia del Antiguo Testamento y llegó a la conclusión que fue creada a las 9 en punto de la mañana del 26 de octubre del año 4004 A.C.

1750 George Louis Leclerc, conde de Buffon, publicó su "Teoría de la Tierra". En ella explicó que calentó dos esferas de hierro al rojo vivo y del tiempo que tardaron en enfriarse dedujo que la Tierra tiene al menos 74 832 años.

1862. Lord Kelvin realizó experimentos fundados y arribó que la edad de la Tierra debía estar entre 2×10^7 y 4×10^8 años.

1887. Hoy día sabemos, gracias a los trabajos iniciados por Gavrilov en los años 1930 y basándose en la medida de abundantes relaciones de constantes isotópicas, que la corta tempestad se formó hace aproximadamente 4×10^9 años y que la Tierra es aún 10^9 años más vieja.

1917. A Einstein publica "Consideraciones cosmológicas sobre la teoría de la Relatividad General" que constituye el inicio de la cosmología moderna. Einstein intentó buscar una solución que describiera un universo estacionario, pues nadie dudaba entonces de esto, y al no lograrlo introdujo la famosa constante cosmológica, que describe una repulsión entre galaxias lejanas.

1929 Edwin Hubble encontró que las galaxias se alejan de nosotros con velocidades proporcionales a su distancia". Exactamente

$$d = \frac{c}{H_0} \frac{\Delta \lambda}{\lambda}, \quad \frac{\Delta \lambda}{\lambda} = \sqrt{\frac{1 + v/c}{1 - v/c}} - 1 \approx \frac{v}{c} + \frac{1}{2} \frac{v^2}{c^2} + \frac{1}{2} \frac{v^3}{c^3} \dots$$
(1)

$$H_0 = h_0 \text{ Km s}^{-1} \text{ Mpc}^{-1}$$

$$h_0 = 0.5 - 1.5$$

Primerº cosmológico: Aceptamos como punto de partida la validez del primerº cosmológico, es decir admitimos que en gran escala el universo es homogéneo e isotrópico. Experimentalmente se sabe que las variaciones de densidad de materia de su orden medio, a escalas de 10^3 Mpc, no exceden el 3% y son aun menores a escalas mayores.

Ecuaciones de Robertson - Walker: A partir del principio cosmológico se puede probar que el Universo tuvo un origen y que la geometría del espacio-tiempo viene totalmente caracterizada por una función $R(t)$ que nos mide la distancia entre dos puntos del Universo en el transcurso del tiempo y un parámetro k cuyo valor nos explica la estructura global del espacio-tiempo. El gas que forma el Universo viene caracterizado por la presión $p(t)$, la densidad $\rho(t)$ y una ecuación de estado $p = p(\rho)$. La función de Hubble y el parámetro de desaceleración vienen dados por

$$H(t) \equiv \frac{\dot{R}(t)}{R(t)} \quad (\text{Función de Hubble}) \quad (12)$$

$$q(t) \equiv -\frac{\ddot{R}(t) R(t)}{\dot{R}^2(t)} \quad (\text{Parámetro de desaceleración}) \quad (13)$$

Los valores en el momento actual suelen denotar por H_0 y q_0 . El valor conservado a q_0 es

$$q_0 \leq 2 \quad (13)$$

Ecuaciones de campo: Las ecuaciones de campo de la relatividad general permiten determinar $R(t)$ considerando k , que puede tomar los valores $k=0, \pm 1$.

Edad del universo: Si $q(t) \equiv 0$ entonces la edad del universo sería

$$\begin{aligned} T &= \frac{1}{H_0} = \frac{\text{Megaparsec}}{h_0 \text{ 50 Km}} \text{ s} = \frac{3.086 \times 10^{24} \text{ cm}}{h_0 \text{ } 5 \times 10^6 \text{ cm}} \text{ s} = \\ &= \frac{1}{h_0} 6.172 \times 10^{17} \text{ s} = 1.956 \times 10^{10} \frac{1}{h_0} \text{ años.} \end{aligned} \quad (14)$$

En realidad T es algo menor que este valor para $q_0 > 0$.

Valor de k : Comúnmente introducir una densidad crítica

$$\rho_c(t) = \frac{3 H^2(t)}{8 \pi G} \quad (15)$$

cuyo valor actual es

$$\rho_{c0} = \frac{3 H_0^2}{8 \pi G} = 4.696 \times 10^{-30} h_0^2 \text{ g cm}^{-3} \quad (16)$$

Indiquemos por ρ_0 la densidad actual del universo. Entonces

-) Si $\rho_0 > \rho_{c0} \Rightarrow k=+1$; el Universo es frío y después de la etapa de expansión inicial, seguirá otra de compresión que ocurrirá en colapso.

(i) Si $p_0 = p_{\infty} \Rightarrow k=0$, el universo es plano y se expandirá siempre

(ii) Si $p_0 < p_{\infty} \Rightarrow k=-1$, el universo es infinito y su expansión continuará indefinidamente.

Historia del Universo

Big Bang: En el instante inicial el universo era extraordinariamente denso y caliente.

Hasta que llegamos a una teoría cuántica de la gravitación no podremos saber todo de lo que sucedió para tiempos más tempranos que el tiempo en Planck.

$$t_p = \sqrt{\frac{G \hbar}{c^5}} = 5.3904 \text{ (17)} \times 10^{-44} \text{ s}^{-1} \quad (1)$$

$T \gg 1.5 \times 10^{12} \text{ K}$ ($k_B T \gg 130 \text{ MeV}$). Las densidades y temperaturas son tan altas que todas las partículas están presentes en equilibrio termodinámico y en mutua interacción. La presencia de muchas partículas interactuando fuertemente hace difícil saber el comportamiento de la materia en tales condiciones y esperaremos nuestro estudio a temperaturas algo más bajas.

$T = 10^{11} \text{ K}$ ($k_B T = 8.62 \text{ MeV}$) El universo es muy simple. El universo está formado, básicamente, por fotones, neutrinos, antineutrinos, electrones y positrones en equilibrio termodinámico. Suponiendo tasas generaciones de leptones la densidad medida por

$$\rho(T) = 4.52 \times 10^{-35} \text{ g cm}^{-3} (T/\text{K})^4 \quad (2)$$

que para $T = 10^{11} \text{ K}$ da $\rho \approx 4.52 \times 10^{-9} \text{ g cm}^{-3}$

En este universo también hay un pequeño número de nucleos: alrededor de 1 nucleo por cada 10^9 fotones. Prácticamente hay el mismo número de protones y de neutrones. La edad del universo es entonces

$$t = 1.10 \left(\frac{k}{T}\right)^2 \times 10^{20} \text{ s.} \quad (3)$$

es decir $t = 0.011 \text{ s.}$

$T = 3 \times 10^{10} \text{ K}$ ($k_B T = 2.585 \text{ MeV}$) Hasta la comprobación substancialmente, la densidad ha disminuido a $\rho = 3.66 \times 10^{-7} \text{ g cm}^{-3}$ y la edad es $t = 0.12 \text{ s.}$ Al ser el neutrón más pesado que el protón, de los nucleos existentes un 38% son neutrones y el resto protones.

$T = 10^{10} \text{ K}$ ($k_B T = 0.862 \text{ MeV}$) Ya han transcurrido 1.1 s y la densidad es $4.52 \times 10^5 \text{ g cm}^{-3}$

De los nucleos un 24.2 son neutrones y el resto protones. Los neutrinos empiezan a comportarse como partículas libres y dejan de estar en equilibrio térmico con los fotones y electrones y positrones. Muy poco después los pions empiezan a aniquilarse, calentando el gas de fotones. Como los neutrinos ya están desacoplados la temperatura permanecerá siempre menor que la de los fotones.

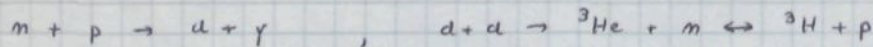
$$T \approx T_\gamma = \left(\frac{11}{4}\right)^{1/3} T_\nu \quad (4)$$

A partir de este momento

$$\rho(T) = 1.42 \times 10^{-35} (T/\text{K})^4 \text{ g cm}^{-3} \quad b = 1.78 \times 10^{20} \left(\frac{\text{K}}{T}\right)^2 \text{ s.} \quad (5)$$

$T = 10^9 \text{ K}$ ($k_B T = 0.0862 \text{ MeV}$), La edad del Universo es $t = 178 \text{ s}$ y su densidad $\rho = 14.2 \text{ g cm}^{-3}$

El Universo está, básicamente, formado por fotones a temperatura T y neutrones y antineutrinos a temperatura $(11/11)^{1/3} T = 0.7138 T$. Por cada 10^9 fotones hay un nucleón. De los nucleos un 13.7% son neutrones y el resto protones. Incluso a temperaturas superiores a esta, núcleos muy estables, como los de ${}^4\text{He}$ podrían existir en equilibrio térmico, pero esto no se pueden formar aun. La razón es que la expansión del Universo es suficientemente rápida para que la formación de un núcleo complejo deba producirse a gols de los nucleos por impactos de colisión a dos partículas tales como



(6)



y al ser el deutero muy poco estable no se pueden formar núcleos pesados. Sin embargo a $T = 8 \times 10^8 \text{ K}$ ($k_B T = 70 \text{ keV}$) el deutero ya puede producirse y como consecuencia empieza la nucleosíntesis. En la práctica la inmensa mayoría de n quedan ligados en forma de ${}^4\text{He}$ y la abundancia primordial de este elemento, en peso, es

$$0.23 \leq \gamma \leq 0.27. \quad (7)$$

A continuación el Universo continua expandiéndose y enfriándose. Esta formado por fotones y neutrinos. Por cada 10^9 fotones hay un nucleón. Los nucleos están formando helio e hidrógeno, y los electrones, en número igual al de protones, están libres.

$T = 4000 \text{ K}$ ($k_B T = 0.345 \text{ eV}$). Han transcurrido $t = 1.11 \times 10^{13} \text{ s} = 350.000 \text{ años}$. En este momento los electrones se unen a los nucleos y se forman, rápidamente, los átomos. Esto provoca una gran disminución de la opacidad del universo que se hace transparente a la radiación; la materia y la radiación se desacoplan, y esto permite que empiecen a formarse galaxias y estrellas.

En la actualidad el universo está formado

i) fotones: El gas de fotones que llena el universo tiene las características de un cuerpo negro a $T = 2.7 \text{ K}$, según descubrieron A.A. Penzias y R.W. Wilson, en 1965. De acuerdo con la teoría del cuerpo negro su densidad es

$$\rho_\gamma = 2 \times 4.20896 (60) \times 10^{-36} \frac{\text{g}}{\text{cm}^3} \left(\frac{T}{K} \right)^4 = 4.47 \times 10^{-34} \text{ g cm}^{-3} \quad (1)$$

$$m_\gamma = 2 \times 10.1432 (11) \text{ fotones cm}^{-3} \left(\frac{T}{K} \right)^3 = 3.99 \text{ fotones/cm}^3$$

ii) neutrinos. El gas de neutrinos que llena el universo tiene temperatura de $T_\nu = (4/11)^{1/3} T = 1.93 \text{ K}$, pero no conocemos ningún método para detectarlo. Suponiendo que hay dos tipos de neutrinos y sus correspondientes tipos de antineutrinos y que no tienen masa su densidad es

$$\rho_\nu = 6 \times \frac{7}{8} \times 4.20896 (60) \times 10^{-36} \frac{\text{g}}{\text{cm}^3} \left(\frac{T}{K} \right)^4 = 3.07 \times 10^{-34} \text{ g cm}^{-3} \quad (2)$$

$$m_\nu = 6 \times \frac{3}{4} \times 10.1432 (11) (v+\bar{v})/\text{cm}^3 \left(\frac{T}{K} \right)^3 = 3.28 \text{ neutrinos y antineutrinos/cm}^3$$

iii) Por cada 10^9 fotones hay un nucleón. La densidad de báculos observada en el universo es

$$\rho_{\text{B}} \approx 1.4 \times 10^{-31} h_0^2 \text{ g cm}^{-3} \quad (3)$$

con lo cual podemos afirmar que el universo actual está dominado por la materia, pues $\rho_{\text{B}} \gg \rho_\gamma$. Fijémonos que $\rho_{\text{B}} \approx 0.03 \text{ pc}$. Obviamente $\rho_0 > \rho_{\text{B}}$ pero del bien se sospecha que $\rho_0 \approx \text{pc}$ no sabemos qué tipo de partículas son las causantes de este material oscuro.